

NPA 17

ART

REEL NO.

1116

GENERAL SUBJECT FOLDER

- I. INFORMATION, PAPERS AND MISCELLANEOUS FROM FILES OF DR. BREKKE.
- II. PAPERS, NOTES FROM NUCLEAR PROCESS AND COAL HYDROGENATION.
- III. CONVERSATIONS AND REPORTS OF LUDVÍK PERNÍKEL WITH APOLLO
REPRESENT AND SOME ROMANIAN FILMS.
- IV. SPECIFICATIONS OF COAL OIL (VÄTTEN-OIL-SLAG).
- V. DRAWINGS FOR THE OFFSHORE TEST APPARATUS FOR VENÄL AND TANAH.
- VI. CHARTING CAPABILITY FOR THE MOONLIGHT-BAUM PLANT.
- VII. MISCELLANEOUS REPORTS AND MINUTES OF MEETINGS.
- VIII. REPORTS ON VARIOUS PROCESSES - MR. KRÜGER.
- IX. COAL OIL FROM REPORTS MADE BY THE NUCLEA PROCESS.
- X. PAPERS AND REPORTS: COMBUSTION IN MOTORS; VARIOUS ORGANIC
POLYMER; KEROSENE OR OTHER PETROLEUM FUELS; ALCOHOL
POLYMERIZATION; ETHYLENE OXIDE.
- XI. COAL PYROLYSIS AND XEROGENESIS.
- XII. REPORTS AND PAPERS ON VARIOUS HYDROGENATION TOPICS FROM FILES
OF DR. PODLUBNÝ (LEDVÍZKATEK).

FILE NO.

Source of Documents: Orlochaim Central I.O. Library

Folder Nos.:

- (I) 81/1-32 (II) 81/1-33 (III) 89/X-317
(IV) 89/1-31 (V) 89/1-39 (VI) 89/X-36
(VII) 81/111-330 (VIII) 825/111-310
(IX) 825/111-34 (X) 821/X-41
(XI) 821/111-44
(XII) Item 1-34, 81/111-01
35-37, 81/111-03
38-39, 81/111-06
39, 81/111-07
39-40, 81/111-011
40-42, 81/111-02

Filmed by:

JICA

Date:

INDEX

TRANSMISSION

1. 1940 - Synthesis and miscellanea from filter of
gasoline.
2. 1940 - Synthesis of hydrocarbons from gasoline.
October 1, 1940. 1 - 2
3. 1940 - Synthesis of aromatic hydrocarbons with benzene,
benzene + toluene, furfural + benzene.
Synthesis by filtration of naphthalene with ethyl
alcohol + benzene and their mutual mixtures.
November 1, 1940. 3 - 4
4. 1940 - Synthesis of aromatic hydrocarbons with benzene-
ethanol + benzene.
Synthesis of aromatized crack gases from
petroleum distillation oils, November 12, 1940. 5 - 14
5. 1940 - Synthesis of benzenebedarfe für die Deshydratisierung.
Requirements of benzene requirements for
dehydration. October 3, 1940. 15 - 19
6. 1940 - Benzene synthesis.
Synthesis of benzene. May 13, 1941. 20 - 22
7. 1940 - Benzene synthesis am 10.7.42.
Kontinuierliche Synthese. Stand der Schmiedehrweise.
Proceedings of the former meeting of July 10.
Synthesis of benzene synthesis. Status of benzene
synthesis of production. 23 - 25
8. 1940 - Benzene, Chloroform - Wasserstoff - Synthesen.
Hydrogenation. 1. Juli 1941.
Synthesis of carbon monoxide - hydrogen synthesis -
July 1, 1941. 26 - 30
9. 1940 - Synthesis mit H₂-CO₂-Gemischen unter DHD-Bedingungen.
Experiments with hydrogen - carbon dioxide mixtures
under DHD conditions. March 6, 1940. 31 - 43
10. 1940 - Kohlenwasserstoff-Synthese in Gegenwart
Metallkatalysator. Ausarbeiten der Fuhrchemie
1941.
Synthesis of hydrocarbon synthesis with iron
catalyst. June 15, 1941. 44 - 50
11. 1940 - Synthesis kontinuierliche Versuchs.
Synthesis; continuous experiments.
April 26, 1940. 51 - 52

TABLE II.

| | |
|---|-----------|
| 11. Untersuchung der Butandehydrierung. Concerning the selectivity of butane dehydrogenation. October 10, 1941. | 53 - 54 |
| 12. Butandehydrierung mit Gasumwälzung. Butane dehydrogenation with gas recirculation. October 10, 1941. | 55 - 61 |
| 13. Versuch über die Selektivität der Butandehydrierung. Concerning the selectivity of butane dehydrogenation. October 31, 1941. | 62 - 64 |
| 14. Selektivität der Butandehydrierung. Selectivity of the butane dehydrogenation. October 12, 1941. | 65 - 70 |
| 15. Dehydrierung von n-Butan. Dehydrogenation of n-butane. October 8, 1941. | 71 - 72 |
| 16. Durchführung n-Butandehydrierung mit Oppau-Katalysator. Dehydrogenation of n-butane with Oppau catalyst at normal pressure. September 13, 1941. | 73 - 77 |
| 17. Der aktuelle Stand der Dehydrierung von Propan, n-Butan und i-Butan. Present status of the dehydrogenation of propane, n-butane and i-butane. July 18, 1940. | 78 - 84 |
| 18. Versuche zur Butan-Isomerisierung. Experiments on butane isomerization. July 18, 1940. | 85 - 87 |
| 19. Octanethikin- und Isobutan-gehalt. Effect of different methods of operation on the total butane and iso-butane formation in the catalytic pressure hydrogenation. January 1, 1941. | 88 - 94 |
| 20. Isomerisierende Spaltung. Isomerizing splitting. December 20, 1940. | 95 - 107 |
| 21. Isomerisieren von n-Butan und n-Pentan. Isomerization of n-butane and n-pentane. | 108 - 115 |
| 22. Versuche zur Herstellung von "Triptan" und einigen anderen Isoparaffinen. Experiments on the preparation of Triptane and some other isoparaffins. Oct. 20, 1940. | 117 - 125 |

FRANK M. B.

22. Isoprenane 193: Isomerisierung, Isdehydrierung von
Butan und Propan, Alkylierung, Hochdruck,
Oxydation, Polymerisation.
Conference on Isomerization, Ishydrogenation
of butane and propane, alkylation, high pressure,
oxidation, polymerization. June 31-30,
1940. 126 - 147
23. Isomerisierung. Berichtung der K.W.-Kommission
in Leuna am 14. und 15. Dezember 1939.
Conference on Isomerization. December 14-15,
1939. 148 - 149
24. Versuche zur Herstellung olefinischer Mittelöle.
Experiments on the production of olefinic
middle oils. August 3, 1940. 150 - 154
25. 6404 - Benzinerzeugung und katalytisches Kracken.
Gasoline production and catalytic cracking
with 6404 catalyst. January 13, 1941. 155 - 156
26. Katalytisches Kracken über SiO₂-freie Katalysatoren.
Catalytic cracking over SiO₂-free catalysts.
April 10, 1941. 157
27. Bleicharder von Moersberg und Frossburg.
Bleaching earth from Moersberg and
Frossburg. December 21, 1940. 158
28. Das Verhalten von Krackbenzin bei der Hydrierung.
The behavior of crack gasoline in the
hydrogenation. October 21, 1940. 159 - 161
29. Diesel f. m. from Michael process and from coal
Hydrogenation.
30. Untersuchung der Anlagen für die Erzeugung von
100.000 t/Jahr flüssigen Produkten unter Berücksichtigung
der Polymerisation des Benzins zu
Dieselöl nach dem Syntheseweg (Michael).
(mit Abgasverarbeitung).
Investigation of plant cases for producing
100,000 tons per year liquid fuels (gasolines
being polymerized to diesel oil according to
the synthesis process of Michael - including
ethylene recovery). November 10, 1939. 162 - 164

FRANK NO. 1

1. Einheitsweise Herstellung der Produktionsmasse
aus Steinkohle (Stein- und beim I.G.-Verfahren
durch Wasserstoff).
1. Standard method of composition of products in the
coal production and in the I.G. process.
January 18, 1941.
- 167
2. Dieselölherstellung und Möglichkeiten.
Diesel oil production and possibilities.
2. Diesel oil production in coal hydrogenation
plants. June 5, 1941.
- 170 - 178
3. Dieselölherstellung in Steinkohle-Hydrieranlagen.
Diesel oil production in coal hydrogenation
plants. June 5, 1941.
- 176 - 178
4. Dampfturbinenöl für 200 000 Jato Auto-
mobilmotoren. Entwicklungslösungen Bi plus
Kettöl zur Produktion eines Dieselöls.
Development of a gas phase for 200,000 tons
per year oil from liquid phase gasoline
into a stable oil to gasoline plus Diesel oil.
January, 1941.
- 179 - 180
5. Die Frage der Herstellung von Spezial-Dieselölen
mit einem Siedepunkt und hoher Cetanzahl.
Concerning the production of special diesel
oils with low pour point and high cetane
number. April 7, 1941.
- 181 - 182
6. Eisenteile im Spezial-Dieselöl in Russland.
Crystalline crystals in special diesel oil
in Russia. March 31, 1942.
- 193
7. Correspondence and meetings of Luuna personnel with
oil refinery and some Russian firms.
7. Correspondence with Russian oil firms. Nov.-
Dec., 1940.
- 194 - 201
8. Conference with Apollo refinery April 16, 1941 on
current refining operations.
- 203 - 202
9. Addition of Oppanol to lubricating oil.
- 204 - 211

- 4 -

FRANK NO. 2

1. Korrespondenz und Konferenzen an einer Silizium-
Nisobutylketon für Flugzeug-Motor-Lubricating
öl zu entzünden zu produzieren aus Zistersdorfer petro-
leum durch Destillation.
1. Correspondence and conferences on a silicon
Nisobutylketone for airplane engine lubricating
oil to be used to produce from Zistersdorfer petrol-
leum through distillation.
- 213 - 243
2. Produktion von hoch-resistent steam-cylinder oil
für die German railroads.
2. Production of high-resistant steam-cylinder oil
for the German railroads.
- 244 - 249a
3. Labor in the Tschirn Sandfilter of the Edelmann
Comp. v. Esso.
3. Labor in the Tschirn sandfilter of the Edelmann
Comp. v. Esso.
- 250 - 253
7. Patent Anwendung auf ein Prozess des Dewaxing in
Zwei Stufen.
7. Patent application on a process of dewaxing in
two stages.
- 254 - 263
- Spezifikationen von Gun oil (Waffen-Oil-Spez.).
1. Besprechung am Ölrat am Reichs-Air Ministry July 9,
1941.
- 255 - 260
2. Preliminary specifications for Waffen-Oil-Spez.
August 15, 1941.
- 261 - 264
- Kontakt mit dem Dr. Oppenauer Verschleiss Pruef-
apparatur.
Contact with the Oppen test apparatus for wear and
friction.
- 265 - 268
7. Gusskatalysator für die Moosbierbaum plant.
- 269 - 270
- Mitteilungen, reports and minutes of meetings.
1. Conference on oil processes February 25, 1942.
- 271 - 274
2. Separation of propylene and propane mixtures.
- 275 - 278
3. Lecture of Dr. H. Pier at the meeting October 29,
1940. "Entwicklung der Methanol-Synthese und der
katalytischen Hochdruckhydrierung anschliessend
an der Ammoniaksynthese nach dem heutigen Stand."
"The recent development of the methanol
synthesis and the catalytic high pressure
hydrogenation following the ammonia synthesis." 277 - 279
4. Conference on various oil processes March 17, 1942.
- 280 - 282

- 6 -

FRAME NO. 5

Report on various processes - Dr. Klüber.

1. Aethan aus Ethan durch therm. Spaltung nach Dr. Klüber.
Ethan from ethane by thermal splitting according to Dr. Klüber. 382 - 385
2. Rechnungsunterlagen für die Herstellung von Polybuten-1 aus Propen nach dem in Op. 198/339 entwickelten Verfahren (thermische Polymerisation, Dr. Klüber).
Data for calculating the production of polymer butene-1 from propene by thermal polymerization. 386 - 390
3. Aethan aus Athan durch thermische Spaltung nach Dr. Klüber. (Anfahrt des Grossversuchsofens in Ma 135 x).
Ethan from ethane by thermal splitting according to Dr. Klüber. (Large scale experiment). 391 - 400
4. Herstellung geistiger Olefine durch thermische Spaltung von n-Bu., Gas in Rohrgehofer nach Dr. Klüber.
Production of gaseous olefines by thermal splitting of n-butane gas in a coil oven according to Dr. Klüber. 401 - 411
5. Acetylenentfernung aus Spaltgasen durch selektive Acetylenhydrierung nach dem Klüber-Verfahren.
(Anfahrt der Grossanlage Ma 135 x).
Removal of acetylene from cracking gases by selective hydrogenation of acetylene according to Klüber. (Large scale production). 412 - 416
6. Rechnungsunterlagen für die Herstellung von Polybuten-1 aus n-Butan nach dem in Op. 198/339 entwickelten Verfahren (thermische Polymerisation, Dr. Klüber).
Data for calculating the production of polymer gasoline from n-butane by thermal polymerization. 417 - 420
7. Acetylenentfernung aus den Spaltgasen der Spaltanlage Ma 333 (Wasserstoff-Vakuum-Verfahren) durch selektive Acetylenhydrierung nach dem Klüber-Verfahren.
Verarbeitung in Ma 135 x.
Removal of acetylene from the productgas of the splitting plant Ma 333 (oxygen vacuum process) by selective hydrogenation of acetylene according to Klüber. (Large scale experiment). 421 - 426

- 6 -

FRAME NO. 6

8. Acetylenentfernung mittels Kupferlaugewäsche nach Dr. Klüber. Daten aus Gas durch Hydrierung des Acetylenenriched gewonnenen Ethylenes.
Experiment in Ma 198 (April - Mai 1939).
Acetylene removal in the hydrogenated electric acetylene by treatment with cuprous solution.
Large scale experiment. 437 - 440
9. Acetylenentfernung: Olefine durch thermische Spaltung von Propen. Ergebnisse der im "Schling-Ofen" Dr. Klüber durchgeführten Versuche mit Propen gas Leime.
Production of gaseous olefines by thermal splitting of propene. Results of experiments with "Propene gas Leime" in Dr. Klüber's coil oven. 441 - 450
10. Olefinsreicherung durch Kupferlaugewäsche nach Dr. Klüber. Versuche mit wechselnden Gas- und Lösungsmittelmengen im Vakuumanlage.
Olefins enrichment by gas scrubbing with cuprous solution according to Klüber. Experiments with variable loads of gas and scrubbing fluid on the scrubbing plant. 451 - 460
11. 85-cell from styrene made by the Klüber process.
12. Aethylen aus Aethan durch thermische Spaltung nach Dr. Klüber. Grossversuch Ma 135 x. - Abtrennung von konzentriertem Acetylen durch Kupferlaugewäsche. - Versuch Ma 135 b/96 h.
Ethan from ethane by thermal splitting according to Klüber. Large scale experiment.
Separation of concentrated ethylenes by scrubbing with cuprous solution. Experiments. 461 - 466
13. Verwendbarkeit des nach dem Spalt- und Waschverfahren nach Dr. Klüber, Oppau, aus Aethan hergestellten Acetylen zur Herstellung von 85 - 81.
Suitability of the stylynes made from ethane by Klüber's process of splitting and scrubbing for producing 85-cell. 467 - 472
14. Mindestens, Letters and conference discussing the merits of a proposed Klüber stylyene plant for 85-cell production at Leuna. 473 - 479

- 7 -

INDEX

FRAGE NR.

1. Papers and reports.

1. Scheme for calculating combustion gas equilibria. 440 - 447
2. Die Genauigkeit der Luftüberschusszahl der Überdruckkurven im Abhängigkeit von den Bestimmungsfehlern.
The accuracy of the air excess number of the pressure curves as a function of the errors of measurement. 450 - 459
3. Einige Wünsche der Kraftstoffhersteller an den Flugmotor.
Some wishes of producers of motor fuels concerning the aero engines. 460 - 469
4. Vortrag von Prof. Joest - Leipzig in Karlsruhe am 9.5.40. Der Verbrennungsverlauf im Motor.
Lecture by Prof. Joest - Leipzig in Karlsruhe 9 May 1940. Combustion process in the motor. 470 - 513
5. Reaktionsversuche. (Bericht von Herrn Dipl. Ing. E. Grader). Hydr. Nr 870.
Determination of recoil forces caused by the discharge of gases or liquids from broken high pressure lines. 514 - 524
6. Ammonium- und Methanol-Gleichgewicht.
Ammonia- and methanol equilibrium. 525 - 534
7. Berücksichtigung der Zustandsgleichung beim Methanolgleichgewicht.
Consideration of equation of state in the methanol equilibrium. 535 - 544
8. Verbindungen aus gekracktem Erdöl.
Compounds from cracked petroleum. 545 - 553
9. Verbindungen in den leichten Fraktionen des Steinkohlenöls.
Compounds in light fractions of coal tar. 554 - 562
10. Gleichgewichte der Kohledehydrogenierung.
Equilibrium of coal dehydrogenation. 563 - 569

TEMO NO.:

1. Die Zustandsgleichungen reeller Gase und deren Anwendung zur Berechnung kalorischer Daten z.B. des Joule-Thomson-Effektes von Wasserstoff.
Equation of state of real gases and their use
for calculation of calorific data such as the
Joule-Thomson-effects on hydrogen. 569 - 570
2. Dihydratisierende Polymerisation von Alkoholen bzw. Alkohol und Olafin.
Dihydrating polymerization of alcohols or
alcohol and olefin. 571 - 572
3. Hydroxylid.
Hydronium oxide. 573 - 575
4. Kohlepetrography and Hydrogenation.
Erprobung hydrierfähiger Kohlen (Dr. Erich Stach).
Suitability of coal for hydrogenation. 586 - 589
5. Stellungnahme zum Schriftsatz Drs. Dr. E. Stach.
Remarks to the paper of Drs. Dr. E. Stach. 594 - 595
6. Hydrierversuche mit Kohlen verschiedener petrographischer Zusammensetzung in Drehautoklaven.
Hydrogenation tests with coal of various
petrographic compositions in the rotating
autoclave. 596 - 598
7. Untersuchung, Trennung und Hydrierung der Kohle-
gefügebestandteile (Lit.-Angaben) mit Nachtrag.
Investigation, separation and hydrogenation of the
structural components of coal (Lit. review) with
supplement. 599 - 605
8. Über das Verhalten der Gefügebestandteile von
Steinkohle bei der Extraktion, Hydrierung, Verkar-
kung, Verschwelung und Oxydation.
The behaviour of the structural components
of a bituminous coal in extraction, hydrogen-
ation, coking, low temperature carbonization
and oxidation. 606 - 612
9. Protokoll über den Besuch Prof. Stach am 29.9.41
mit zusammenfassenden Bericht über die Besprechung.
Protocol on the visit by Prof. Stach at
Ludwigshafen on 29 September 1941 and summary
of the conference. 614 - 619

EXAM. NO. 1.

Report and report on various hydrogenation topics
from files of Dr. Bergius (Ludwigshafen).
Some other material from this collection will also
be found in Box No. LF-27, frames 1 - 373
and 401 - 450.

High-pressure ovens:

1. Versuche von Bergius in liegenden Ofen.
Experiments by Bergius in horizontal ovens. 620 - 626
2. Krüppelung in der Schlaufe.
Hydrogenation in coil oven. 627 - 628
3. Bau von Spülrohrverheizern mit horizontalen Rohren.
Construction of preheaters with horizontal pipes. 629 - 634
4. Gasspeisung mittels Glasfritte.
Gas dispersion by fritted glass. 635 - 636
5. Liegende Ofen.
Horizontal ovens. 637 - 648a
6. Versuche im liegenden Ofen und Reaktionsschlangen.
Experiments in horizontal and coil ovens. 649 - 652
7. Über Erfahrungen mit Schaumplatten.
On experiences with porous foam plates. 653 - 656
8. über den Einfluss von Dichteveränderungen
strömender Medien mit horizontaler Bewegungs-
komponente auf den Verlauf der Strömung.
On the effect of varying density of flow-
ing media with horizontal movement com-
ponents on the course of the flow. 657 - 657a

Theoretical:

9. Leichnungen und Zeichnungen über Gener-
ation von Gas und Brei; Zersetzung des Brei-
es in zwei Ströme mit verschiedener und mit
gleicher Konzentration.
Drawings and figures on generation of gas
and paste, and decomposition of paste in
two streams with equal and different
concentrations. 658

ERAMEX 1952.

| | | |
|----|--|-----|
| 1 | Über die Korrelation von Zusammensetzung zwischen Linsenöl und Wasserstoffgehalt von Linsenöl. | 689 |
| 2 | Über die Korrelation von Viskositätsindex und Wasserstoffgehalt von Linsenöl. | 690 |
| 3 | Über die Korrelation von Viskositätsindex und Wasserstoffgehalt von Linsenöl. | 691 |
| 4 | Über die Korrelation von Viskositätsindex und Wasserstoffgehalt von Linsenöl. | 692 |
| 5 | Über die Korrelation von Viskositätsindex und Wasserstoffgehalt von Linsenöl. | 693 |
| 6 | Über die Korrelation von Viskositätsindex und Wasserstoffgehalt von Linsenöl. | 694 |
| 7 | Über die Korrelation von Viskositätsindex und Wasserstoffgehalt von Linsenöl. | 695 |
| 8 | Über die Korrelation von Viskositätsindex und Wasserstoffgehalt von Linsenöl. | 696 |
| 9 | Über die Korrelation von Viskositätsindex und Wasserstoffgehalt von Linsenöl. | 697 |
| 10 | Über die Korrelation von Viskositätsindex und Wasserstoffgehalt von Linsenöl. | 698 |
| 11 | Über die Korrelation von Viskositätsindex und Wasserstoffgehalt von Linsenöl. | 699 |
| 12 | Über die Korrelation von Viskositätsindex und Wasserstoffgehalt von Linsenöl. | 700 |
| 13 | Über die Korrelation von Viskositätsindex und Wasserstoffgehalt von Linsenöl. | 701 |
| 14 | Über die Korrelation von Viskositätsindex und Wasserstoffgehalt von Linsenöl. | 702 |
| 15 | Über die Korrelation von Viskositätsindex und Wasserstoffgehalt von Linsenöl. | 703 |
| 16 | Über die Korrelation von Viskositätsindex und Wasserstoffgehalt von Linsenöl. | 704 |
| 17 | Über die Korrelation von Viskositätsindex und Wasserstoffgehalt von Linsenöl. | 705 |
| 18 | Über die Korrelation von Viskositätsindex und Wasserstoffgehalt von Linsenöl. | 706 |
| 19 | Über die Korrelation von Viskositätsindex und Wasserstoffgehalt von Linsenöl. | 707 |
| 20 | Über die Korrelation von Viskositätsindex und Wasserstoffgehalt von Linsenöl. | 708 |
| 21 | Über die Korrelation von Viskositätsindex und Wasserstoffgehalt von Linsenöl. | 709 |
| 22 | Über die Korrelation von Viskositätsindex und Wasserstoffgehalt von Linsenöl. | 710 |
| 23 | Über die Korrelation von Viskositätsindex und Wasserstoffgehalt von Linsenöl. | 711 |

THANK YOU.

16. Die Bildung von Kohle aus
organischen Stoffen (Schwefel-Parsale) in
Abhängigkeit von der Temperatur

17. Die Bildung des leicht oxy-
dierbaren Schwefel-Parsale in
Abhängigkeit von der Temperatur

712 - 715

18. Ein Beitrag zur Entwicklung der
Kohleforschung in den Jahren 1942-1945.
Von Dr. H. Riedel, Dr. K. Bauderff, Wien

19. Ein Beitrag zur Entwicklung der
Kohleforschung in den Jahren 1942-1945.
Von Dr. H. Riedel, Dr. K. Bauderff, Dr. G. Schmid und Dr. W. Schmid, Darmstadt.

716 - 718

20. Ein Beitrag zur Entwicklung der
Kohleforschung in den Jahren 1942-1945.
Von Dr. H. Riedel, Dr. K. Bauderff, Dr. G. Schmid und Dr. W. Schmid, Darmstadt.

21. Ein Beitrag zur Entwicklung der
Kohleforschung in den Jahren 1942-1945.
Von Dr. H. Riedel, Dr. K. Bauderff, Dr. G. Schmid und Dr. W. Schmid, Darmstadt.

719 - 723

22. Ein Beitrag zur Entwicklung der
Kohleforschung in den Jahren 1942-1945.
Von Dr. H. Riedel, Dr. K. Bauderff, Dr. G. Schmid und Dr. W. Schmid, Darmstadt.

724 - 727

23. Ein Beitrag zur Entwicklung der
Kohleforschung in den Jahren 1942-1945.
Von Dr. H. Riedel, Dr. K. Bauderff, Dr. G. Schmid und Dr. W. Schmid, Darmstadt.

728 - 737

24. Ein Beitrag zur Entwicklung der
Kohleforschung in den Jahren 1942-1945.
Von Dr. H. Riedel, Dr. K. Bauderff, Dr. G. Schmid und Dr. W. Schmid, Darmstadt.

738 - 761

25. Ein Beitrag zur Entwicklung der
Kohleforschung in den Jahren 1942-1945.

26. Die Bildung von Kaviar in Kohlenofen.
Von Dr. H. Riedel, Dr. K. Bauderff, Dr. G. Schmid und Dr. W. Schmid, Darmstadt.

762 - 763

27. Die Bildung von Kaviar.
Von Dr. H. Riedel, Dr. K. Bauderff, Dr. G. Schmid und Dr. W. Schmid, Darmstadt.

764

28. Die Bildung von Kaviar.
Von Dr. H. Riedel, Dr. K. Bauderff, Dr. G. Schmid und Dr. W. Schmid, Darmstadt.

765 - 767

FRANKEN

11. 11. 1953 - 12. 1953
Feststoffanalysen und
Schwefelgehaltsanalyse von
verschiedenen Kohlearten.
Solid fuel analyses
and sulfur content analysis.
758 ~ 763
12. 1953 - 1. 1954
Untersuchungen über die
Zersetzung und Verarbeitung
von Steinkohle.
Investigations on the
decomposition and utilization of
bituminous coal.
764 ~ 800
13. 1953 - 1. 1954
Untersuchungen über den Einfluss des
Sulfidgehaltes auf die Hydrierung von
Steinkohle im Kreiselpreß-
apparatur, insbesondere auf
die Zersetzung, particularly on the
hydrogenation of "Sulfiphen"
and the decomposition of Upper-Silesian
bituminous coal in rotary autoclaves.
801 ~ 867
14. 1953 - 1. 1954
Untersuchungen über das Sulfidproblem von Dr.
H. H. Brügel, Institut für
Kohle- und Braunkohle-
Forschung, Berlin, mit
Sodium sulfide
als Reaktionspartner in
flüssiger Phase.
868 ~ 872
15. 1953 - 1. 1954
Untersuchungen über Ammoniumchlorid bei Ammon-
iumchlorid-Katalyse bei Steinkohle.
Investigations on experiments with ammonium
chloride catalyst for bituminous coal
in rotary autoclaves.
873 ~ 876
16. 1953 - 1. 1954
Untersuchungen über Ammoniumchlorid bei Sankt-Vener Kohle.
(Untersuchungen im Kreiselpreßapparatur bei 300 atm Druck)
Investigations for ammonium chloride in
rotary autoclave experiments in rotary
autoclaves at 300 atmospheres.
877 ~ 879
17. 1953 - 1. 1954
Untersuchungen über die Anwendung von chlorierten und
oxydierten Steinkohlen in Autoklaven.
Hydrogenation experiments with
chlorinated and oxidized bituminous
coal in autoclaves.
880 ~ 885
18. 1953 - 1. 1954
Untersuchungen über Ammoniumchlorid bei der
Hydrierung von Kohle.
Investigations of substitutes for ammonium
chloride in the hydrogenation of coal.
886 ~ 888

THANE 106.

37. Hydrierversuche mit einem zinshaltigen
Präparat des Metallwerks Kaiser A.G., Berlin
1000 g Eisenkontakt.
Hydrogenation experiments in rotary auto-
mated with a tin-bearing fly ash obtained
from Kaiser A.G., Berlin. 809 - 810
38. Versuch über Verarbeitung von Schleicher Kohle
(Koksöl-Kohle) mit Eisenkontakten und Ölzer.
Hydrogenation Schleicher coal (Koksöl coal)
with iron catalysts and oilizer. 811 - 812
39. Versuch mit Oberpfälzer Kreide in 10
Liter-Ofen mit Eisen-Titan-Kontakten.
Experiments with Upper-Pfälzian chalk in
a 10-liter oven with iron-titanium
catalysts. 814 - 816

tar Hydrogenation:

40. Zur Verarbeitung von Steinkohlenasern auf
Kreidööl.
Hydrogenating the hydrogenation of bituminous
coal tar to fuel oil. 817 - 821
41. Versuch mit Steinkohlenasern in 10 Ltr.-Ofen.
Experiments with coal tar in the 10 liter
oven. 822 - 823
42. Zur Verarbeitung einer Steinkohlenasermischung
mit molybdänfreien Kontaktan.
Hydrogenation of a coal tar mixture with
molybdenum-free catalysts. 824 - 826
43. Dampfphase-Kontakte für die Teerverarbeitung.
Versuche in 10 ltr.-Ofen.
Liquid phase catalysts for tar hydrogen-
ation. Experiments in 10 ltr.-ovens. 827 - 829
44. Zur Verarbeitung von Pech.
Hydrogenation of pitch. 830 - 832
45. Verkürziger Bericht über Hydrierversuche mit
B.R. Pech aus Chaco Marcköhl.
Preliminary report about hydrogenation
experiments with brown coal tar from
"Chaco" peat coal. 833 - 836
46. Verkürziger Bericht über Hydrierversuche mit
langzeitheiztar aus Chaco-Marköhl.
Preliminary report about hydrogenation
experiments with long low temperature tar
from "Chaco" peat coal. 837 - 838

FRANKEN.

47. Versuchsmöde Hydrierung nach Keiselfahrweise
mit verschiedenen Schmelzeeren aus Charsit-
Minerale.
Comparative hydrogenation to fuel oil of
various low temperature tars from "Charsit"
and coal. 923 - 924
48. Versuche in 1 Ltr.-Ofen mit Schwefel als
Flüssigkeitskatalysat.
Hydrogenation in the 1 liter oven with
sulfur as liquid phase catalyst. 927 - 931
49. Herstellung von Möhler Tar bei 200 atm.
in 10 Ltr.-Ofen.
Hydrogenation of Möhler Tar at 200 atm.
in the 10 liter oven. 932 - 947
50. Hydrogenversuche mit Bröker Tar (P 1397
original) im Drehrohrzylinder.
Hydrogenation experiments with Bröker Tar
(P 1397 original) in the rotary auto-
cylinder. 948 - 952

TITLE PAGE

I. Alkalization, synthesis and miscellaneous from
files of Dr. Eman.

TITLE PAGE

1. Titel Verfahren.
2. Patent process for refining shale oil
3. Oilline. April 14, 1943.

Print No. 1 - 2

B
1
1
1
1
1
Nachrichtenversuche
Bil 550.

l'Witt u.
J.Witt &
gruppe 6.

16 April 1932 12/32

Betr. Rostin-Verfahren

Von der Betriebischen Steinöl AG in Kivisli ist im Jahr 1931 (Schweden) aus estnischem Schiefer an Dr. Rostin für Raffinationsversuche gestellt worden. Dr. Dr. von Karpe von der Betriebischen Steinöl AG war bei den Versuchen die in einer Versuchsanlage in der Umgebung Berlins (Mariendorf?) ausgeführt wurden, zugegen. Zweck der Versuche war es, vor allen Dingen den unangenehmen Geruch des Brennschieferbenzins zu entfernen (Desodorierung). Darüber hinaus sollte der Schwefelgehalt möglichst unter die Grenze von 0,4 % gebracht werden, die bei der Raffination mit Schwefelkohle unter wirtschaftlich tragbaren Bedingungen technisch erreicht wird. Dr. Rostin versprach sich von seinem Verfahren, da es schonender sei als die H. SO-Raffination, noch eine Steigerung der Ausbeute und Verbesserung der Ölqualität.

Das Rostinverfahren besteht darin, dass Benzins- oder Benzelämpfe drucklos bei Temperaturen von etwa 300-360° über Eisenrohr Leitungsschale Minette geleitet werden. Als Trägergas verwendete Dr. Rostin Wasserstoff nach neueren Patenten ein Gemisch von Generatorgas und Wasserdampf. Die Regenerierung des Katalysators geschieht durch "Rosten" und anschließende Reduktion.

Die Versuche in Berlin wurden bei drei verschiedenen Temperaturen durchgeführt und zwar bei ca. 290, 320 und 360°. Bei 290° war die Raffinationswirkung ungünstig. Bei 360° waren die Verluste sehr hoch. Bei 320° wurde ein gut raffiniertes Benzin in einer Ausbeute von ca. 90 % erhalten. Der unangenehme, für Schieferbenzin typische Geruch war fast vollständig verschwunden. Der Bromatengehalt des Benzins war verglichen mit H. SO-raffiniertem von etwa 1 % auf ca. 0,5 % angestiegen, der Gehalt an Naphtalen + Paraffinen dagegen entsprechend gesunken. Der Gehalt an Olefinen hat nur sehr unverheilich abgenommen. Die Tests (Glasschale, Kupferschale, Kupferstreifen, Hartortest) waren gut. Der Schwefelgehalt betrug etwa 0,4 %. Je eine Probe des nach Rostin raffinierten und von der Betriebischen Steinöl AG Betriebstechnisch (H. SO-Raffination) hergestellten Benzinens wurde an die DVL zur Oktanzahlbestimmung geschickt. Die DVL fand in beiden Proben praktisch gleiche Oktanzahlen von ca. 65 - 66 nach Motor-Methode und ca. 71 - 72 nach Researchmethode.

Das Kontaktvolumen der Rostin'schen Versuchsanapparatur betrug ca. 30-35 Liter, der Durchsatz 300 g/Stunde. Der Versuch dauerte insgesamt etwa 11 Stunden.

Weitere Versuche wurden im Laboratorium der Betriebischen Steinöl AG ausgeführt. Elektrisch beheizte Ofen von ca. 120-140 cm Kontaktumfang, Durchsatz 10-60 g/cm/Stunde. Die Versuche werden ausgeführt ohne Trägergas, mit Wasserstoff, H. 2 00, CO + Wasserdampf und mit Schwefelgas. Untersucht wurde ein Temperaturbereich von ca. 260-370°. Entsprechend neueren Patenten von Dr. Rostin wurden auch Versuche mit gestaffelten Temperaturen durchgeführt.

1.) Sämtliche in dieser Aktennotiz angegebenen Zahlen sind aus dem Gedächtnis niedergeschrieben und sind nicht absolut zuverlässig.

KW/KW

Ausblick.

Es findet gleichzeitig Entschwefelung und selektive Krackung statt. (Akkumulation von Loks am Kontakt, Vorhandensein von "nasser" wasserstoffhaltigem Ethan in der Vergasung). Vor allen Dingen findet selektiver Abspaltung von Seitenketten von aromatischen Kohlenwasserstoffen statt. Die Aktivität des Kontaktes ist zu Beginn der Periode sehr hoch, sinkt jedoch sehr bald ab. Die Desodorierung geht scheinbar mit der Spaltung parallel. Die Menge des nur aufgekatalysierten Benzines beträgt pro Periode weniger als 25 % bezogen auf Katalysatorgewicht. Nach je 2-4 Stunden Arbeitszeit musste der Katalysator regeneriert werden (können mit anschließenden Kurzzeiten neurommt regeneriert werden). Die Verluste betrugen bei 300° etwa 10-15 %. Durch drückende Schwefelung des Kontaktes wurde die Katalytische Leistung heruntergesetzt, wodurch auch die Gesamtverluste der Rohölmenge zurückgingen. Die entschwefelnde Wirkung war viel anhaltender. Es konnte über eine längere Periode ein Benzin mit unter 0,4 % Schwefel erhalten werden, das jedoch noch einer Hochraffination bedurfte. Stelle von Wasserstoff oder Wassergas kann mit gleichem Gehalt, etwa 10 % betragen. Völlig wasserstoffärmeres oder ultraschwefeliges Schwebegas sind ungeeignet.

Zusammenfassend kann aufgrund der damaligen Versuche gesagt werden, dass das nach Rostin behandelte Benzin im Vergleich mit nur wasserstoffiertem Benzin eine gewisse Geruchsverbesserung und etwa etwas geringeren S-Gehalt hat. Die Klopfwerte der nach den beschriebenen Raffinierten Benzine scheinen sich nicht wesentlich zu unterscheiden.

ges. Iaujuk

~~EXTRA PAGE~~

2. Abwasserfiltrationsversuche mit Essigester,
Acetolvan und deren Furfural-Gemisch.
Experiments on filtration of sludge with ethyl
acetate, mesolvane and their furfural mix-
tures. March 28, 1942.

Frame Nos. 3 - 4

B

1. Hauptversuch

A IV 7

26. 3. 1942, Lat/P.

3

1. Versuch

Abschlamfiltrationsversuch mit Essigester, Neosolvan und darem Furfural-Gemisch

Es wurde beobachtet, daß Essigester und besonders ein Gemisch aus Essigester und Furfural (1:1) hervorragende Eigenschaften zur Behandlung des Abschlammes aus Kammer 804 vom 19.3.41 besitzen. Die Filtrationszeiten liegen sehr günstig, die Öl ausbeuten betragen über 90% und die Oelqualität sind trocken und kleinkörnig - pulverig.

Da Essigester des Preises wegen für technische Zwecke nicht in Frage kommt, wurde ein billiges handelsübliches Gemisch von Ethyl-Methyl-Butyl-Lestat (Neosolvan), das in der Hauptversuche aus Essigester bestanden, in den Kreis der Abschlamfiltrationsversuchs einbezogen. Die Ergebnisse waren fast ebenso günstig wie mit reinem Essigester. Dafür wurde in erster Linie eine gute Filtrationszeit, die bei Anwendung von 33,3 g Abschlamm nicht über 1 Minute betragen sollte; dabei sollte die Öl ausbeute im Filtrat nicht unter 80% sinken und der Rückstand im Filtrat nicht weniger als 80% betragen; ebenso sollte der Rückstand pulverig-körnig und trocken sein. Diesen Bedingungen entsprach das Lösungsgemische von 1:1. Starkere Verdunnungen waren selbstverständlich günstiger in der Filtrationszeit, die Analysewerte jedoch nicht im selben Verhältnis besser. Untersucht wurden Essigester + Furfural-, Neosolvan-, Neosolvan + Furfural- (1:1) und Neosolvan + Mittelöl-Gemische. Die Gemische wirkten 1 Stunde bei 80° auf das Abschlamm ein, darauf wurde, wie üblich, filtriert. Die Mittelöl enthaltenden Gemische zeigten zwar gute Analysewerte, hatten aber zu langen Filtrationszeiten, um für spätere technische Zwecke in Frage zu kommen. Hierfür erwiesen sich in jeder Beziehung besonders günstig folgende Abschlam-Lösungsmittelgemische:

- | | |
|-----|--------------------------|
| 1.) | Abschlam-Neosolvan 1 : 1 |
| 2.) | " " " Furfural 1 : 1 : 1 |
| 3.) | " " " 1 : 0,5 : 0,5 " |
- Die Filtrationszeiten betrugen für 1.) 42 Sekunden
2.) 45 "
3.) 60 "

Die Öl ausbeuten im Filtrat, das praktisch fettfrei war, waren für

- | | |
|-----|---------|
| 1.) | 102,6 % |
| 2.) | 90,2 " |
| 3.) | 82,2 " |

Bei dem folgendes berücksichtigt werden: Das sogenannte Benzollösliche 40% Abschlamm, auf das alle angegeben Werte bezogen wurden, ist 74,1% Neosolvan und aus dem Abschlamm 82,8% das 1:1-Gemisch Neosolvan-Furfural-Lestat dagegen nur 60%. Unter diesen Verhältnissen sind die Öl ausbeuten unter 1.) und 3.) besonders günstig. Für eine genaue Filtration wäre es selbstverständlich nötig, die für die einzelnen Lösungsmittel gültigen Zahlen zu Grunde zu legen. In folgenden Bericht wurde der Übersichtlichkeit halber darauf verzichtet.

Die Asphaltwerte betrugen für 1.) 77,1 %
2.) 102,7 "
3.) 101,3 "

Im Lösungsmittelfreien Rückstand wurden folgende Werte erhalten:

- 2 -

4

| Proben | 1. | 2. | 3. | % |
|---------|----|----|----|---|
| Asphalt | 25 | 6 | 5 | * |
| | 73 | 7 | 6 | * |
| | 73 | 6 | 5 | * |
| Öl | 11 | 3 | 2 | * |
| | 14 | 6 | 5 | * |
| | 6 | 3 | 2 | * |
| Asphalt | 7 | 7 | 6 | * |
| | 13 | 4 | 3 | * |
| | 4 | 5 | 4 | * |

Bereits wert ist, daß bei der höheren Abschlamm-Konzentration bei 10% die Öl- und Asphaltwerte geringer sind als bei der niedrigeren von 5%.

Die angegebenen Lösungsmittel sind demnach geeignet für einen größeren Versuch.

Auswertung und Schlüssefolgerung:

Es wird gezeigt, daß ein Abschlamm gut und unter günstigen Bedingungen zur Filtration gebracht werden kann, wenn er mit Neosolvane-Turfurol-1:1-Mischung verdünnt wird. Das Verdünnungsverhältnis Abschlamm zu Lösungsmittel beträgt 1:1. Die Filtrationszeiten liegen unter 1 Minute, die Öl- und Asphaltwerte liegen bei 90%, der Rückstand ist pulvrig-körnig und trocken und enthält nur wenig Öl (bis ca. 10%). Die Versuche sollen unter Zugrundelegen genauer Werte einer Bilanzierung für explosive Versuche unterzogen werden.

gez. Lenné

* Leonhardt

TITLE PAGE

3. Gewinnung von ungesättigten Krackgasen aus wasser-
stoffreichen Mittelölen.

Production of unsaturated crack gases from
hydrogen-rich middle oils, November 13, 1941.

Frame Nos. 8 - 14

(3)

5

13. 11. 1941. No/Pt.

A III 5

Bestimmung von ungesättigten Koks-gasen aus Wasserkohle-
entzündlichen Mittelölen.)

Zusammenfassung.

In einem Leicht-Ofen wurden einige orientierende drucklose Versuche mit verschiedenen Kontaktarten durchgeführt mit dem Ziele, ungesättigte Gase mit hohem mittleren C zu erzeugen. Dabei ergaben sich einige charakteristische Unterschiede der verwendeten Kontaktarten. In der folgenden Tabelle sind die wichtigsten Werte der mit den geprüften Kontaktarten erhaltenen Ergebnisse bezogen auf eine Brennkammer von 10 l ungesättigte gasförmige Kohlenwasserstoffe auf Anzündmaterial einander gegenübergestellt.

Tabelle.

| Kontakt | Kein Kat. | C ₂ O | MgO | akt. Tonerde | Terrana gepillt | Terrana stranggepreßt |
|---|-----------|------------------|------|--------------|-----------------|-----------------------|
| <u>EIN 10% AKTIVITÄT Rohrline auf Anzill.</u> | | | | | | |
| Temp. °C | 605 | 605 | 550 | 545 | 570 | 540 |
| Ges. % gesätt. Gase | -- | 6,9 | 7,0 | 5,1 | 11,6 | 7,8 |
| " " Benzin -180° | 25 | 21 | 17 | 21 | 21 | 21 |
| " " N'öl >180° | 55,8 | 57,1 | 63,6 | 50 | 53,8 | |
| " " Koks | 2 | 4 | 2,5 | 6,5 | 7 | |
| Mittl. C der ungesättigten Gase | (3,0) | 2,1 | 2,8 | 3,2 | 2,9 | 3,1 |
| gesättigten Gase | 1,4 | 1,2 | 1,5 | 1,3 | 1,9 | 2,0 |
| A.P. Benzin -180° | | 13 | 18 | 22 | 20 | 30 |
| " N'öl 180° | | 30 | 36 | 37 | 49 | 59 |

Dannach sind bei 10 % Umsatz hinsichtlich Aktivität MgO , aktive Tonerde und stranggepreßte Terrana etwa gleichwertig. Bei kleineren Umsätzen als 10 % ist stranggepreßte Terrana bei größerem z. Tonerde am aktivsten (vgl. Anlage 3). Aktive Tonerde zeichnet sich vor den übrigen Kontaktten vor allem durch ein höheres mittleres C der ungesättigten gasförmigen Kohlenwasserstoffe und ein Minimum an unerwünschten Nebenprodukten (gesättigte gasförmige Kohlenwasserstoffe + Koks) aus. Ein Nachteil dieses Kontaktes besteht in der geringen Produktion an Benzin -160°C und, falls eine Rückführung des B-Mittelöls erwünscht ist¹⁾, in dem tiefen Anilinpunkt des B-Mittelöls.

Bei weiterer Verfolgung des Problems wäre vor allem der Einfluß der Zykluslänge zu prüfen. Es ist anzunehmen, daß bei kürzeren Zyklen vor allem mit Terrana günstigere Ergebnisse erreicht werden. An Kontaktten erscheinen vor allen z. Tonerde + Zusätze und Terrana + Zusätze erfolgversprechend.

In einem 1-Ltr.-Ofen wurden einige orientierende Versuche zur Klärung der Frage durchgeführt, welche Kontaktte sich für die Erzeugung von ungesättigten Gasen, insbesondere Propylen und Butylenen, durch drucklose Krückung von wasserstofffreien Mittelölen besonders eignen. Die Versuche wurden bei einem Durchsatz von 0,5 kg/Ltr. x Std. und drei verschiedenen Temperaturen (500, 550 und 600°C) in der Weise durchgeführt, daß jeweils eine halbe Stunde nach Beginn des Versuches eine Gasanalyse eine Stunde lang angehängt und danach der Ofen auf Regeneration mit N_2 und Luft umgestellt wurden.

Die Versuchsergebnisse sind in den Anlagen 1 und 2 enthalten. Die wichtigsten Werte sind in den Kurvenblättern 1 und 2 im Abhängigkeit von der Temperatur graphisch aufgetragen.

1) wenn z.B. keine Druckhydrierungsanlagen zur Weiterverarbeitung vorhanden sind.

Es ergeben sich zunächst folgende allgemeine Gesetzmäßigkeiten:

Mit steigender Temperatur nimmt vor allen die Ausbeute an Gas + Koks zu, während die Benzinkmenge im allgemeinen nur wenig ansteigt. Lediglich beim K 1105 (MgO) und K 1104 (MgO) ist eine stärkere Zunahme der Benzinkonnte - 180% festzustellen.

Die Anilinpunkte des anfallenden Benzins und Mittelöls fallen mit steigender Temperatur stark ab. Bei K 1104 (MgO) und K 6922 (n-Tonerde) beträgt dieser Abfall bei einer Temperaturerhöhung von 100°C etwa 50 Punkte.

Der Prozentgehalt (gewichtsmäßig) des anfallenden Gases an Ungesättigten ist praktisch temperaturunabhängig. Eine Ausnahme hiervon macht HF-behandeltes Terrana bei der der Prozentgehalt des gebildeten Gases an Ungesättigten bei einer Temperatursteigerung von 500°C auf 550°C von 50 auf 20 % abfällt. Das mittlere C der ungesättigten Kohlenwasserstoffe zeigt keine eindeutige Temperaturabhängigkeit. Während eine Temperaturerhöhung beim thermischen Krooken und bei Verwendung von MgO eine Erhöhung des mittleren C der ungesättigten Kohlenwasserstoffe zur Folge hat, nimmt es bei Verwendung von C₆₀ und Terrana mit steigender Temperatur etwas ab und hat bei Verwendung von aktiver Tonerde ein Maximum bei etwa 500°C.

Um die Kontakte hinsichtlich ihrer Eignung für die Herstellung von ungesättigten gasförmigen Kohlenwasserstoffen genauer beurteilen zu können, sind in Anlage 3 für die Erzeugung von 5, 10 und 15 Gew.% ungesättigter gasförmiger Kohlenwasserstoffe bezogen auf Ausgangsmaterial die hierfür benötigten Temperaturen, ferner die anfallenden Mengen an Benzin, Mittelöl, Koks und gesättigten Kohlenwasserstoffen sowie einige Eigenschaften der erzeugten Produkte aus den Versuchsdaten berechnet. In Kurvenblatt 3 sind für die Erzeugung von 10% ungesättigten gasförmigen Kohlenwasserstoffen die wichtigsten Werte graphisch aufgetragen.

Demnach ergeben sich folgende Unterschiede der geprüften Kontakte:

Unterhalb 550°C ist strudgesprengte Terrana in Bezug auf Aktivität der beste Kontakt. Gepillte Terrana benötigt im

Vergleich hierzu eine um ca. 30° höhere Temperatur. Oberhalb 550°C sind a. Tonerde und MgO am aktivsten. Bei Verwendung von CaO ist die gleiche Temperatur erforderlich wie beim thermischen Kracken.

Das größte mittlere C der ungesättigten gasförmigen Kohlenwasserstoffe wird bei Verwendung von a. Tonerde erhalten: Bei Erzeugung von 10 % ungesättigter Kohlenwasserstoffe beträgt es 3,2 gegenüber 2,1 - 3,1 bei den übrigen Kontakten.

Die kleinste Menge unerwünschter Nebenprodukte (gesättigte gasförmige Kohlenwasserstoffe und Koks) wird ebenfalls bei Verwendung von aktiver Tonerde erhalten. Bei Erzeugung von 10 % ungesättigter gasförmiger Kohlenwasserstoffe z.B. ist die Menge an gesättigtem Gas + Koks bei a. Tonerde 0,6 % gegenüber 0,9 bis 16,1 % bei den übrigen Kontaktarten. Allerdings ist das mittlere C der gesättigten gasförmigen Kohlenwasserstoffe bei a. Tonerde am kleinsten, d.h. im Gase sind weniger Propan und Butan enthalten als dies bei den übrigen Kontaktarten der Fall ist.

Die Ausbeute an Benzin - 100°C ist bei a. Tonerde am kleinsten, bei CaO am größten: (17 % gegenüber 25 % bei 10 % Umsatz zu ungesättigten gasförmigen Kohlenwasserstoffen).

Auch hinsichtlich der Qualität des erzeugten Benzins und Mittelöls bestehen einige charakteristische Unterschiede. Bei 10 % Umsatz zu ungesättigten gasförmigen Kohlenwasserstoffen sind die Anilinpunkte von Benzin und Mittelöl bei MgO 18 und 36, bei a. Tonerde 22 und 37, bei gepillter Terrana 20 und 49 und stranggepresster Terrana 30 und 59. Nur die B-Mittelöle der beiden letzten Kontaktarten dürften für eine Rückführung in Frage kommen. Die B-Mittelöle der übrigen Kontaktarten dagegen könnten als geeignete Ausgangsmaterialien für die Benzinierung bei 250 atm verwendet werden.

Gemeinsam mit

Dr. Donath
" Reits
" Meier.

3 Tabellen,
3 Kurvenblätter.

| Ausgangsstoff: 21200 Ethanol 98 - 325 K - 22.2 H | | | | | | | | | | |
|---|---|---|---|---|--|--|--|--|--|--|
| Kontakt | ohne Kontakt | Z-1150 | Z-1100 | Z-1050 | Z-1000 | Z-950 | Z-900 | Z-850 | Z-800 | |
| Temperatur °C Durchl. EK/T/Hg: Vernehedauer Std. Datum 1941 | 505 0,5 0,5 1,5 6,6 5-6. | 953 0,5 1,5 1,5 7,6 | 869 0,5 1,5 1,5 10,6 | 790 0,5 1,5 1,5 11,6 | 722 0,5 1,5 1,5 11,6 | 595 0,5 1,5 1,5 18,6 | 520 0,5 1,5 1,5 18,6 | 392 0,5 1,5 1,5 20,6 | | |
| Inhaltsstoffe auf 1.0 | | | | | | | | | | |
| Abstreifer Incl. Gesamt Ges. O ₂ -C ₁ Nichts Dibenzalacet | 97,2 2,1 0,7 105 | 90,5 9,0 0,7 100 | — — — — | 92,8 6,4 0,8 104 | 81,6 16,7 1,7 94,3 | 85,1 23,2 0,0 32 | 80,0 22,2 1,7 104 | 78,7 20,9 0,4 95,5 | | |
| Abstreifer, S1000-Gew./200° A-P. - 180° S1000-Gew. S1000-Gew. 00 | 0,810 0,688 0,72 66,63 | 0,803 0,808 0,808 0,808 | 0,812 0,810 0,810 0,810 | 0,814 0,810 0,810 0,810 | 0,822 0,823 0,823 0,823 | 0,838 0,84 0,84 0,84 | 0,846 0,85 0,85 0,85 | 0,866 0,87 0,87 0,87 | 0,888 0,89 0,89 0,89 | |
| | | | | | | | | | | |
| A-P. - 180° S1000-Gew. S1000-Gew. 00 | 177 — — 150 — 180 — 200 — 300 — 330/99 | 71 68 155 — 6,0 16,5 24,0 35,0 85,0 80,0 330/98 | 71 68 12,5 — 23,0 30,0 35,0 35,0 82 86 330/98 | 71 68 12 20 6,5 42 54 68 80 86 97,5 | 26,5 56 46 — 5 12 20 20 54 52 68 86 91 97,5 | 71 70 66 — 5 11,5 17 17 52 52 68 77 87,0 97,5 | 45,5 55 55 — 5 22,5 35 35 52 52 68 77 87,0 97,5 | 44,5 55 66 70 70 70 70 70 70 70 74 80 80 80 97,5 | 35,5 46 55 55 55 55 55 55 55 55 60 74 80 80 97,5 | 3,6 8,6 18,5 18,5 18,5 18,5 18,5 18,5 18,5 18,5 18,5 18,5 18,5 18,5 18,5 18,5 |
| Total CH ₄ (O ₂ -C ₁) | | | | | | | | | | |
| Gew. % E ₂ Gesamt: HV Mittel: C Gesamt: HV Mittel: C | 0,62 47,5 2,4 51,9 7,2 | 0,02 37,2 1,51 62,7 2,6 | 0,4 40,3 1,46 59,3 2,0 | — — — — — | 1,0 40,0 2,27 55,8 2,2 | 1,0 40,0 2,27 55,8 2,2 | 1,0 40,0 2,27 55,8 2,2 | 1,0 40,0 2,27 55,8 2,2 | 4,5 39,4 1,52 50,6 2,8 | |

Anlage 2

Ausgangsmaterial: P 1203 Ni+181 180 - 330° v. 5.8.41

| Kontakt | X 6108 | X 6108 | 8475 = 6108 | Wangen- rechteck | 6109 |
|--|--|--|--|--|--|
| Temperatur °C Durchsatz kg/1 x Std. Versuchsdauer Std. Datum 1941 | 500 0,5 1,5 2,9 | 550 0,5 1,5 2,9 | 500 0,5 1,5 2,9 | 550 0,5 1,5 2,9 | 550 0,5 1,5 2,9 |
| Ausbeute % auf B.P. % Abtrenner % Gas % Kohle Durchsatz | 83,7 12,0 3,5 101 | 79,4 16,3 4,3 100 | 85,0 85,0 9,6 95 | 72,8 19,0 8,2 106 | 87,9 9,8 8,3 102 |
| Ausgangs- Material | 0,812 0,798 172,7 37/50,5 | 0,808 0,808 53 171 | 0,844 0,800 58 14,5 | 0,806 0,800 52 14,5 | 0,796 0,810 58 14 |
| Spez. Gew. / 20° Anilinpunkt -180° Siedepunkt °C | 1,150 1,180 1,200 1,250 1,300 1,350 | 1,150 1,180 1,200 1,250 1,300 1,350 | 1,150 1,180 1,200 1,250 1,300 1,350 | 1,150 1,180 1,200 1,250 1,300 1,350 | 1,150 1,180 1,200 1,250 1,300 1,350 |
| Endpunkt Zersetzung | 158/98,5 346/97 | 342/98 342/96,5 | 342/96,5 342/96,5 | 342/96,5 342/96,5 | 342/96,5 342/96,5 |
| Gas % | 2,1 56,3 32,0 25,5 2,36 47,6 | 2,6 47,7 45,7 42,0 2,1 10,7 | 2,2 48,4 47,4 29,0 2,7 2,6 | 2,3 42,0 42,0 10,0 2,91 5,7 | 2,3 48,4 48,4 28,0 30,4 2,57 |
| Gas % Gas, % B.P. | 8,0 11,2 22,4 31,1 | 8,5 13,2 28,0 31,8 | 7,6 9,8 12,5 2,67 | 7,6 18,2 25,5 3,08 | 7,6 9,0 22,2 2,6 |
| Gas % Benz., % C | 1,2 0,5 0,4 0,4 | 1,2 0,5 0,4 0,4 | 1,2 0,5 0,4 0,4 | 1,2 0,5 0,4 0,4 | 1,2 0,5 0,4 0,4 |

10

11

| MIO | aktive Tornade | | | | | Sicherung | | |
|------|----------------|------|------|------|------|-----------|-----|-------|
| | 10 | 15 | 5 | 10 | 15 | 5 | 10 | 1 |
| 521 | 550 | 576 | 515 | 545 | 573 | 495 | 570 | (5) |
| 212 | 2,8 | 2,9 | 2,9 | 3,2 | 3,0 | 3,1 | 2,7 | (2) |
| 13 | 1,5 | 1,5 | 1,4 | 1,3 | 1,3 | 2,4 | 1,9 | (1,6) |
| 16 | 13 | 4 | 38 | 22 | 6 | 38 | 20 | (6) |
| 6 | 36 | 19 | 55 | 37 | 16 | 58 | 49 | (10) |
| 4 | 7,0 | 10,4 | 2,8 | 6,1 | 10,3 | 6,4 | 21, | |
| 14 | 21 | 22 | 12,5 | 17 | 25,5 | 24 | 21 | 26 |
| 75,2 | 57,1 | 45,3 | 78,3 | 63,6 | 50,0 | 60,8 | 50 | |
| 1 | 4 | 6 | 1 | 25 | 8 | 6 | | |

Zurück

Vorwärts

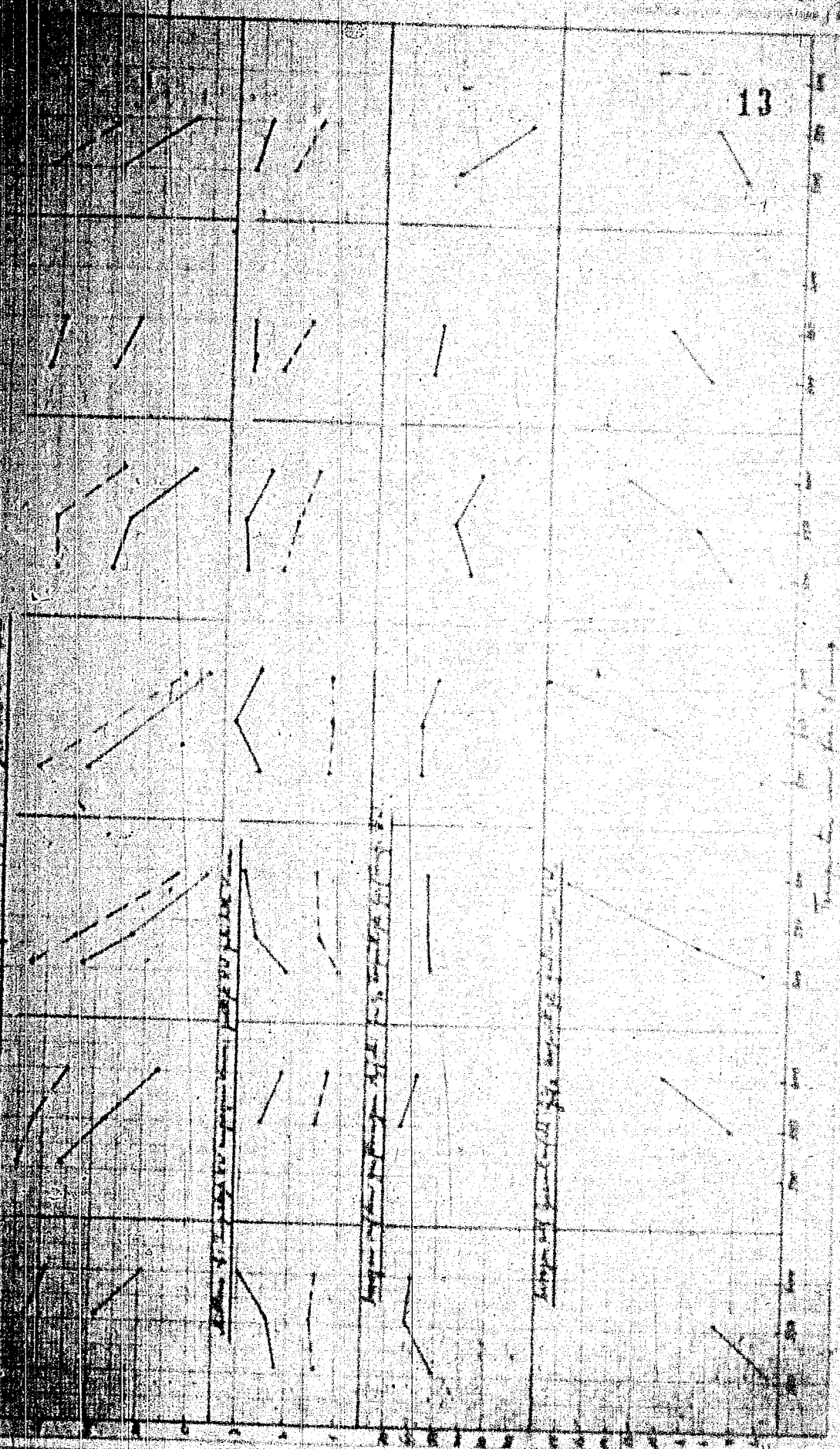
Links

Rechts

Hoch

Tief

13



| | | |
|--|--|--|
| | | |
| | | |
| | | |
| | | |
| | | |

B-114

Ap. 11

Ap. 12

Ap. 13

Ap. 14

Ap. 15

Ap. 16

Ap. 17

Ap. 18

Ap. 19

Ap. 20

Ap. 21

Ap. 22

Ap. 23

Ap. 24

Ap. 25

B-115

Ap. 26

Ap. 27

Ap. 28

Ap. 29

Ap. 30

TITLE PAGE

4. Schätzung des Tonerdebedarfs für die Dehydrierung.
 Estimate of aluminum oxide requirements for
 dehydrogenation. October 3, 1941.

Franz Bos. 15 - 19

Deutschland 15

Hochofenversuche
Luftgas

3. October 1941

Schätzung des Tonerdebedarfs für die
Dehydrierung.

Der neu Hermann-Göring-Plan sieht nach dem heutigen Stand die Errichtung von 8 Anlagen zur Herstellung von Alkylen vor. Diese Anlagen sollen zeitlich in der unten wieder angegebenen Reihenfolge errichtet werden. 2 dieser Anlagen werden umgestellt von der Iso-Octen-Erzeugung auf die Alkylen-Erzeugung. Diese Anlagen werden Ende dieses Jahres bzw. Anfang nächsten Jahres bereits im Betrieb sein. Es handelt sich um Leuna, Scholven und Pöhlitz.

Neuanlagen werden erstellt in
 Böhmen,
 Wesseling,
 Brüx,
 Blechhammer und
 Magdeburg.

| Anlage | Ferma | Produktion Anlage in t/jah | zudehy- drierende Normal- Alkylen-Menge Gut an- menge in t/jah | produkte Anlage in t/jah |
|-------------|-----------|----------------------------------|---|--------------------------------|
| Leuna | 1. 11. 42 | 49 000 | 27 000 | 22 000 |
| Scholven | 1. 3. 43 | 75 000 | 45 100 | 36 000 |
| Pöhlitz | 1. 2. 43 | 55 000 | 30 300 | 24 000 |
| Böhmen | 1. 2. 43 | 41 000 | 16 500 | 14 000 |
| Wesseling | 1. 3. 43 | 25 000 | 16 000 | 13 400 |
| Brüx | 1. 3. 43 | 53 000 | 31 500 | 26 300 |
| Blechhammer | 1. 4. 43 | 40 000 | 23 000 | 19 700 |
| Magdeburg | 1. 4. 43 | 20 000 | 11 700 | 9 800 |

Für die Füllung eines Dehydratoren werden einzeln
 400 eingeschränkten Regenerationsofens 11 cm Kontakt benötigt.
 Das Schüttgewicht des Kontaktes beträgt ca. 0,9. Ein Ofen

| | | | | |
|-------------|-----------|--------|--------|--------|
| Leuna | 1. 11. 42 | 49 000 | 87 000 | 22 000 |
| Scholven | 1. 3. 43 | 78 000 | 45 100 | 30 000 |
| Pöhlitz | 1. 2. 43 | 58 000 | 28 300 | 24 000 |
| Böhlen | 1. 2. 43 | 41 000 | 16 300 | 14 000 |
| Wesseling | 1. 3. 43 | 26 000 | 16 000 | 13 000 |
| Brix | 1. 3. 43 | 55 000 | 51 500 | 26 500 |
| Blechhammer | 1. 4. 43 | 40 000 | 23 500 | 19 700 |
| Magdeburg | 1. 4. 43 | 20 000 | 11 700 | 9 600 |

Für die Füllung eines Dehydriergefäßes werden mindestens 1,5 m³ des angehörigen Regenerationsofens 11 abm Kontakt benötigt. Das Schüttgewicht des Kontaktes beträgt ca. 0,9. Ein Ofen

9/17

- 2 -

16

leistet je Stunde 800 kg Normalbitumen entsprechend 940 kg Normalkoks je Stunde. Die Lebensdauer des Kontaktes lässt sich sehr schwer beurteilen, da bisher keine Erfahrungen im Großbetrieb darüber vorliegen. Leuna schätzt diese Lebensdauer auf etwa 500 Stunden. Nach neueren Mitteilungen von Herrn Dr. Langbeinrich ist es durchaus möglich, dass der Kontaktubruck größer ist und die Lebensdauer auf 1000 Stunden, wenn man vorsichtig rechnen will, vorliegt. Für die nachfolgende Verteilung des Tonerdesbedarfs wurden 800 Stunden eingesetzt. Die Lebensdauer des Kontaktes bezieht sich auf den Inhalt des eigentlichen Reaktionsofens. Die insgesamt im Holzlauf befindliche Kontaktmenge von 11 cbm teilt sich nämlich in 4,6 cbm in Regenerationsöfen und 1,5 cbm in Reaktionsöfen auf. Aus diesen Zahlen kann sich der laufende Verbrauch berechnen.

Bei der Errichtung der Neuanlagen ist vorgesehen, zunächst nur die unbedingt erforderlichen Betriebsöfen aufzustellen und die Reserveöfen erst später, wenn alle Anlagen in Betrieb sind, nachzuliefern. Das gilt mit Ausnahme von Leuna und Scholven, die ihre Dehydrireranlage einschl. der Reserveöfen fertiggestellt haben.

Es ist vorgesehen, für den ersten Kontaktetablierungszeitraum in der Reihe zu beliefern, das zunächst die Füllung der Betriebsöfen geliefert wird einschl. ihrer Reserveöfen von 50%; später wird dann die Füllung für die Reserveöfen geliefert.

| Anlage | Dehydriergefäß Betriebs- öfen | Dehydriergefäß Reserve- öfen | Kreter, Kinsky Daalander an. kost./to verbrauch je Jahr (plus Reserve- haltung) | |
|------------------------|-------------------------------------|------------------------------------|--|-----|
| Leuna | 5 | 2 | 10 + 20 | 76 |
| Scholven | 6 | 2 | 30 + 20 | 160 |
| Pöhlitz | 4 | 2 | 40 + 20 | 91 |
| Böhlen | 3 | 2 | 30 + 20 | 62 |
| Wesseling | 2 | 2 | 20 + 20 | 40 |
| Brix | 4 | 2 | 40 + 20 | 90 |
| Blechhammer | 3 | 2 | 30 + 20 | 61 |
| Magdeburg | 2 | 1 | 20 + 10 | 54 |
| <u>Für Reserve RDA</u> | | | 280 + 150 | 725 |
| | | | | 145 |

Die jetzt im Betrieb befindlichen Iso-Octananzüge besitzen für die Dehydrierung des Iso-Butans einen Dehydratorkontakt, der aus nicht aktiver, also kauflicher Tonerde hergestellt und zu Kugeln verformt ist. Für die Dehydrierung des Normal-Butans wird jedoch ein aktiverer Kontakt benötigt, mit dem ein bedeutend höherer Umsatz und auch eine höhere Aktivität erreicht wird. Dieser Kontakt, der in 2 Kleinversuchen erprobt wurde, bereite jedoch bei der Herstellung noch außerordentliche Schwierigkeiten. Insbesondere ist bisher die Verformung zu kleinen Kugeln, die im Großbetrieb später geringen Abrieb haben, nicht gelungen. Es ist ein Mittelweg versucht worden mit einer Mischung aus aktiver Tonerde und kauflicher Tonerde, der auch zu kleinen festen Kugeln führte, aber natürlich auch in der Aktivität entsprechend schlecht liegen wird. Weiterhin hat man versucht, durch Feinzerkleinerung der aktivierte Tonerde in Kolloid-Mühlen feiner zu machen und dabei auch feste Kugeln erhalten. Jedoch ist die Anwendung so zahlreicher Mühlen für eine Kontaktherstellung außerordentlich kostspielig und auch zeitlich ungünstig möglich.

Nachstehend wurde ein Plan für den Kontaktbedarf aufgestellt für die Jahre 1942 und 1943, unterteilt nach den einzelnen Monaten. Hierin ist sowohl der laufende Kontaktverbrauch wie auch der Bedarf für den ersten Einsatz niedergegeben.

| | 10 | 11 | 12 | 1 | 2 | 3 | 4 | 5 | 6 | 7 | 8 | 9 | 10 |
|----|------|------|------|------|-------|-------|------|------|------|-------|------|-------|------|
| | 6,4 | - | - | - | - | - | - | - | - | - | - | - | - |
| 0 | 10,0 | 10,0 | 10,0 | - | - | - | - | - | - | - | - | - | - |
| | 5,6 | 5,6 | 5,6 | 5,6 | - | - | - | - | - | - | - | - | - |
| 22 | 15,6 | 15,6 | 15,6 | 5,6 | - | - | - | - | - | - | - | - | - |
| | 6,4 | 6,4 | 6,4 | 6,4 | 6,4 | 6,4 | 6,4 | 6,4 | 6,4 | 6,4 | 6,4 | 6,4 | 6,4 |
| | - | - | - | 10,7 | 10,7 | 10,7 | 10,7 | 10,7 | 10,7 | 10,7 | 10,7 | 10,7 | 10,7 |
| | - | - | - | - | 6,7 | 6,7 | 6,7 | 6,7 | 6,7 | 6,7 | 6,7 | 6,7 | 6,7 |
| | - | - | - | - | 3,5 | 3,5 | 3,5 | 3,5 | 3,5 | 3,5 | 3,5 | 3,5 | 3,5 |
| | - | - | - | - | - | 3,9 | 3,9 | 3,9 | 3,9 | 3,9 | 3,9 | 3,9 | 3,9 |
| | - | - | - | - | - | 7,5 | 7,5 | 7,5 | 7,5 | 7,5 | 7,5 | 7,5 | 7,5 |
| | - | - | - | - | - | - | 5,7 | 5,7 | 5,7 | 5,7 | 5,7 | 5,7 | 5,7 |
| | - | - | - | - | - | - | 2,0 | 2,0 | 2,0 | 2,0 | 2,0 | 2,0 | 2,0 |
| 22 | 21 | 22 | 22 | 22,7 | 22,3 | 22,7 | 47,0 | 47,2 | 47,2 | 47,2 | 47,2 | 47,2 | 47,2 |
| | - | - | - | - | - | - | - | - | - | - | - | - | - |
| | - | - | - | 45 | - | - | - | - | - | 70 | - | - | - |
| | - | - | - | - | 30 | - | - | - | - | - | 20 | - | - |
| | - | - | - | - | 60 | - | - | - | - | - | 20 | - | - |
| | - | - | - | - | - | 45 | - | - | - | - | 20 | - | - |
| | - | - | - | - | - | 30 | - | - | - | - | 10 | - | - |
| 22 | 21 | 22 | 22 | 67,7 | 117,3 | 103,7 | 47,2 | 67,2 | 67,2 | 117,3 | 47,2 | 117,3 | 47,2 |

- 5 -

Diesem Bedarf steht eine Kapazität der Kontaktfabrik in Merseburg von 80 mto gegenüber. Man erkennt, daß im Jahre 1942 der Bedarf etwa der Hälfte der Kapazität der Kontaktfabrik entspricht, im Jahre 1943 im ersten Halbjahr hingegen übersteigt der Bedarf die Kapazität, um dann im 2. Halbjahr wieder auf ca. 80 to herabzusinken. Dieses ist der laufende Verbrauch, nachdem alle Anlagen ihre erste Füllung erhalten haben. Der laufende Verbrauch ist von der gleichen Größe wie die Kapazität der Kontaktfabrik Merseburg.

Wie bereits geschildert, liegt in der Schätzung des laufenden Verbrauchs eine große Unsicherheit, zumal z.B. die Leistung dieser statt der angenommenen 500 Stunden tatsächlich nur 300 Stunden beträgt, würde sich der Verbrauch um maximal 50% erhöhen. Aus diesem Grunde schlägt Herr Dr. Langheimrich vor, eine weitere Kontaktfabrik für die Erzeugung des Butadienhydrikkontaktes zu errichten. Bei der Bedeutung der großen Menge der Alkylat-Anlagen hält er es für richtiger, wenn diese neue Kontaktfabrik aus wirtschaftlichen Gründen an einem anderen Ort als Leuna erstellt wird. Zu der Frage, ob diese Kontaktfabrik in Anschluß an die Tonerdafabrik in Lu-Op., Bau 800 und in Anschluß an die Kontaktfabrik in Pölitz vorgenommen wird, liegt eine schriftliche Äußerung von Ludwigshafen am Ammoniakwerk Merseburg vom 20. August vor, in der darauf hingewiesen wird, daß die Tonerdafabrikation in den bestehenden Fabriken durch einfache Erweiterung nicht vorgenommen werden kann, sondern hierfür eine vollkommen neue Kontaktfabrik gebaut werden muß.

Zur Prüfung dieser Fragen soll am Mittwoch, den 6. Oktober in Leuna nochmals eine Besprechung stattfinden.

Herr Dr. Spörer

TITLE PAGE

5. Schema Alkylat-Anlage.
Scheme of alkylate plant, May 12, 1941.

Frame Nos. 20 - 22

5
Hochdruckversuche
Le 558

20

Rückfassung

Schematische Zeichnung

Die Kohlenwasserstoffe werden im Kondensator 1 und im Kühler 2 und Normal-Butan getrennt dem Vorratsbehälter 3 zugeführt. Das Normalbutan wird dem Vorratsbehälter 3 zugeführt, durch einen Dampfer 2 vergast und über ein Ventil von einem Kondensator 4 aus dem Ofen 4 ausgeführt, in dem ein über einem Elektroheizstab 5 erhitztes austretende Gasgemisch wird in einem Kühler 6 abgekühlt. Von diesem wird das Ganggas durch den Kondensator 7 abgeführt und unter 10 at komprimiert. Im Kondensator 8 wird das Ganggas anschliessend einem Rohrbehälter 9 zugeführt. Der flüssige Anteil wird in der Gläsche 10 abgetrennt und unter 10 at gewaschen. Im Kühler 11 und das Ganggas in Gasometer 12 gesammelt. Die Flüssigkeit 12 wird über den Kühler 12 dem Kühler 13 zugeleitet und hier abgeführt. Das vom Öl im Füsscher 14 nicht abgesetzte Gas wird dem Zähler 15 zugeleitet und steht für die Anwendung des Gasometers für andere Zwecke zur Verfügung. Das im Rohrbehälter 9 entstehende Flüssiggas wird in der Stabilisierungsleitung 16 dem niedrigsiedenden Kohlenwasserstoffen zugeführt und weiter dem Gasometer 13 zugeleitet oder nach Bedarf dem Kühler 14 gegeben. Die im Sumpf der Kolonne 14 entstehenden Kohlenwasserstoffe gelangen in fülligen Zustand durch den Zufluss zum der Zwischenbehälter 18 und dann durch einen mit einem bestimmten Verhältnis mit Isobutyl-¹³C Butan durch eine Butantrocknung 17 zugeleitet. Vom dem eigentlichen Kondensator 1 werden noch weitere Kreislaufprodukte abgeführt, die durch einen über ein Wärmeaustauscher-Synten 19 zu den Kondensatoren 20 und einem Teil des Produktes verdampft sind. Das bei der Verdampfung anfallenden Gase gelangen in einen Dampfer 21 und hier zur Abführung, wobei die Butangase ausgesetzt werden kann. Diese werden in einem Neutralisierte 22 neutralisiert und durch einen Kompressor 23 und Kühler 24 wieder verdampft. Die restlichen Produkte werden wie oben erwähnt in den Kondensatoren 20 abgeführt. Die im Waschturm 24 anfallenden Flüssigkeiten werden dem Behälter 25 getrennt. Verschiedene Produkte können abgeführt während die restlichen hochsiedende Produkte abgeführt werden.

Inbehälter 20 vorhandenes flüssiges Alkylierungsprodukt mit Gegenwart von konzentrierter Schwefelsäure wird in ein Gemisch zu dem Rohöl 21, in dem die konzentrierte Säure in den Kreislauf zurückgeführt wird. Der aus der Säure enthaltene Säureanteil wird durch eine Kette 22 abgetrennt. Das im Behälter 22 abgeschiedene Gemisch aus Säure und Alkylist gelangt über den Kette 23 wieder in den Kreislauf und die Reste Säure zu entfernen. Diese Säure wird aus dem Behälter 20 verdunstet. Die resultierende Mischung verbleibt im Behälter 21, während das Alkylierungsprodukt ausfallende Anteile durch einen Abzweig aus dem Kreislauf abgeführt wird, wobei es weiterhin durch den stark verdünnten Säureanteil des Kreislaufs neutralisiert wird.

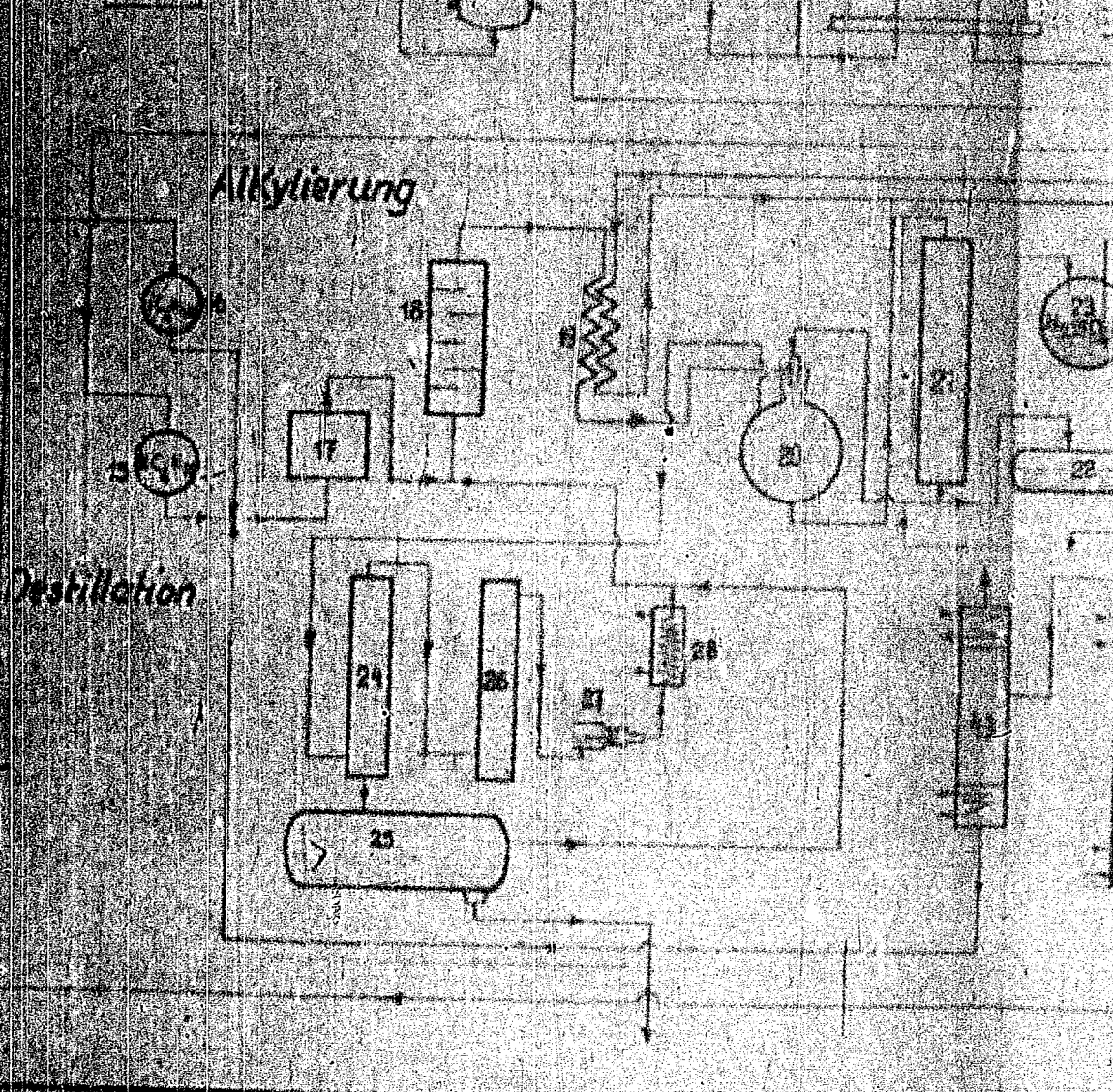
Wiederholte Anwendung dieses Prozesses führt zu einer verschließenden Ausbildung eines Alkylisten, insbesondere wenn die Säure ausgeschöpft ist, in dem die Säure aus dem Behälter 20

ausgezogen wird, um im Behälter 24 aufgenommen zu werden.

Während nunmehr die Säure aus dem Behälter 24 in den Behälter 34, des Scheidebehälters 35, zu fließen beginnt, wird das Produkt aus einer Pumpe 37 in die Säureleitung 38 eingespeist. Hierbei wird das eigentliche Alkylierungsprodukt abgeführt. Kopfprodukt ist 39.

Die in derabilisierungsfähige Produkte werden in die Butanrezykklone 42, wo die Säure abgetrennt geht nach 1, wo als Kopfprodukt abgeführt wird. Schließend wird das gereinigte Butan wieder in den Kreislauf zurückgeführt.

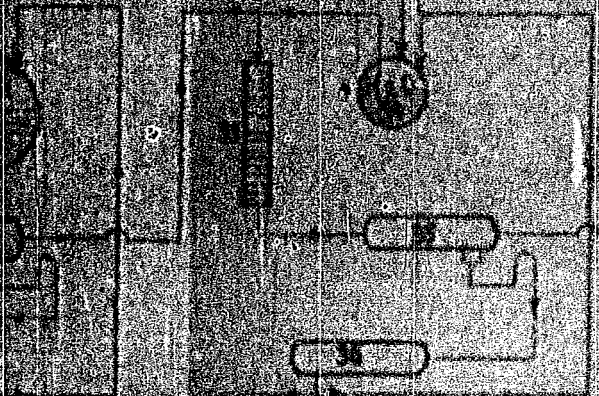
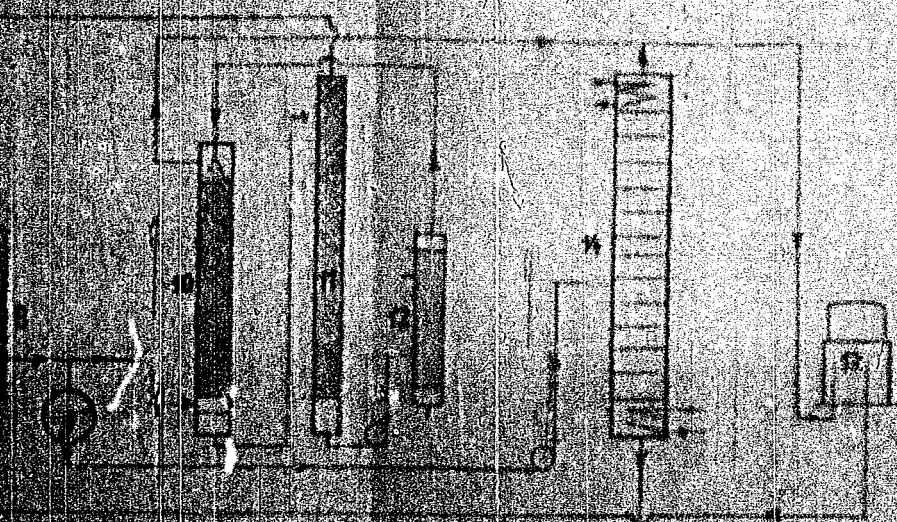
Schema einer Alkylieranlage



25

Anlage

22



RSK 6059

TITLE PAGE

6. Referat für die Spartenalirung am 16.7.42.
Kohlenwasserstoffsynthese. Stand der Schaufahrweise.
Report for the "Sparte" meeting of July 16,
1942. Hydrocarbon synthesis. Status of foam
method of production.

Frame Nos. 23 - 26

12. 7. 1942. K/PT.

26/IV/44

Wiss. Bericht über die Reaktionszeitung am 16.7.42

Wasserstoffsynthese.

Wand der Schaufelkugelzelle.

Bei den letzten Antrittssitzungen mitgeteilt, wurde in den folgenden Sitzungen auf Grund der neueren chemischen Erkenntnisse der Wasserstoffsynthese aus Wassergas eine neue Reaktion und eine neue Schaufelkugelzelle entwickelt. Sie ist eine Dampfreaktionszelle und hat das Merkmal, daß das Gas in feinster Verteilung eingewirkt und der Kontakt in höchst aktiver Form verläuft.

Die hauptsächlichsten Vorteile einer solchen Zelle sind:

- 1.) Die Temperatursteigerung ist sehr gering.
- 2.) Die Apparatur ist von großer Einfachheit.
- 3.) Der notwendige periodische Kontaktwechsel kann ohne Betriebsunterbrechung durchgeführt werden.
- 4.) Herstellung und Regeneration ist einfach und billig.

(Es folgt jetzt eine kurze Erklärung der Apparatur an Hand eines Skizzenblattes.)

Man kann die Versuche im Kleinen gesetzt haben, daß keine präzisen Abmessungen zu erwarten waren, werden nachstehendermaßen angegeben: 50 Liter, 100 ltr. und 1,5 cm. Ein Ofen

mit Vorwärme steht vor der Fertigstellung.

Die Versuche haben folgendes gezeigt:

Die Schwierigkeiten bestehen nicht. Wohl mußte anfangs die Verwendung eines unvollständigen Dampfes dadurch Schwierigkeiten, welche durch die Verwendung eines vollständigen Dampfes vermieden werden können, um die Entfernung einer geringen Menge Spülöl, welche während des Prozesses entsteht, zu verhindern, eine eigene Vorrichtung zu errichten wird. Daß es diesen Mangel endgültig beseitigt hat, kann man an den neuen ausgebauten Zentrifugalpumpen leicht feststellen.

Die abgesonderten verbleiben sich beim Fahren der Dampf. Wenn er ab, kann wieder nachgeföhrt werden oder man setzt auf den Motor.

Als Reduktionsmaterial eignet sich durch vorsichtige Verwendung von Eisenoxydeisen, Eisenrot aus Eisenmarken oder Eisenrohren. Nach der Reduktion ist eine Reinverarbeitung über 60% erreicht, bei entsprechenden von 1-3% zu erwarten. Die Regeneration

MV/44

Die Reaktion dauert viele Monate, vielleicht auch ein Jahr und kann nicht unterdrückt werden. Es wird in einer Kammertrockenkammer über Kontaktöfen ausgeführt.

Wegen Vergrößerung entsteht, so lässt sich das Gas wieder im Kreislauf in den Ofen zurückführen und ein Bruttos von 93 % und mehr erzielen.

Bei einem Ofen, das bei etwa 70 %iger Bruttos in den Ofen verlassen hat, nicht folgendermaßen aus:

Durchmessertabelle:

| der Frischgasen | Badgasen |
|-----------------|----------|
| 0,8 | 30,4 |
| 0,0 | 3,0 |
| 42,5 | 31,1 |
| 55,6 | 27,8 |
| 1,0 | 3,7 |
| 2,1 | 4,0 . |

Die Tabelle zeigt nicht mit Sicherheitführung geführten Versuch mit Rüttelvibrationschalter von zwei Minuten mit Rüttelvibrationsdauer von zwei Minuten. Ein Bruttos von 90 % ist erreicht worden. Das Produkt ist jedoch, auf Grund der Rüttelvibrationszeit nicht ganz vollständig, herangezogenen.

Die Reaktion wurde bisher 130 Tage geführt. Bereit Unterbrechungen und Abreinigungen der Kontaktöfen, kleine Verbesserungen waren gemacht worden. Bei diesen Verbesserungen wurden Schaufelkämme aus Eisen, Schaufelkämme aus Stahl und Synthesestahlproduktionen benutzt, die für Eisen. Es werden bei 2500 kg Rohstoff pro Ltr. Kontaktöfen 0,35 kg Produkt pro Ltr. Kontaktöfen und 0,45 kg Rohstoff pro Ltr. Kontaktöfen von 0,5 erhält. Es werden sich die Kontaktöfen erneut lassen, wenn es dort gegebenenfalls zu starkem Angriff und dann noch besser nebeneinander abstimmen kann. Die Kontaktöfen verhalten sich mit einem Kontaktöfen gut.

Kontaktöfentabelle:

In der folgenden Tabelle sind die Grenzen angegeben, die sich bei einem 50 %igen Bruttos aus einem Gasgemisch $\text{CO} : \text{H}_2 = 5 : 4$ bei 2500 kg Rohstoff ergeben lassen. Berücksichtigt ist berücksichtigt, daß nach dem Reaktionen von Rohstoff in das Produkt fügt der theoretischen Bruttos von 100 % eine solche von 21,2 % pro Ltr. Reingas ergibt.

Vermischung (CH_4 , C_2H_6)

5 % (10 g)

Ververtbare Produkte:

(Die werden = 100 gesetzt)

| | | |
|---|------|--------|
| Gasol (C_3 , C_4 , 80 % ungesättigt) | 10 % | (10 g) |
| Alkohole in Produktwasser | | |
| (C_2 machen C_3 und C_4) | 4 % | (9 g) |
| Benzin bis 200° | 42 % | (76 g) |
| Mittelöl 200-350° | 26 % | (46 g) |
| Paraffin 350° | 17 % | (31 g) |

(Dichtbild: Fließschema).

Olefingehalt.

Der Olefingehalt fällt von den niedrigniedenden zu den höher-niedrenden Anteilen. Während er beim Gasol noch 80 % beträgt, hat er beim Benzin den Wert von 75 - 70 % und beim Mittelöl von 60-55 %. Der Anteil der Alkohole schwankt und liegt bei Benzин und Mittelöl etwa bei 10 %, der der Aldehyde und Ketone etwa bei 5 %.

4

Verarbeitung auf Alkohole.

Im Falle ihres hohen Olefingehaltes lassen sich die Produkte gut nach dem Krossoverfahren in Alkohol umwandeln. So lassen sich aus der Benzinfraction 90 - 100° mit 62 % Ausbeute C_6 - und C_7 -Alkohole, aus der Fraktion 100-150 mit gleich guter Ausbeute C_8 - C_{11} -Alkohole herstellen. Aussehen werden in beiden Fällen 20 % höheres Alkohol vor etwa C_{12} erhalten. Die Alkohole C_6 bis C_{11} sind auf ihre Verwendungsfähigkeit im Lackfaktor geprüft und als gut befunden worden. Die Verdünnung der Alkohole C_6 bis C_{11} mit Adipinsäure ergab Ritter mit einem Siedepunkt von -40°.

Es ist zweckmäßig, das Benzin vor der Oxidation einer Behandlung über Wasser bei 250 - 300° zu unterwerfen, um den Sauerstoff zu entfernen. Das nach der Oxidation verbleibende Restbenzin ergibt mit den nicht verwandten Benzinfractionen zusammen ein Benzin von einer O.Z. (Oxyd.) von rd. 50.

Auch das Mittelöl lässt sich oxideren, sofern man es nicht verzerrt, es anderen Verwendungen zuzuführen.

Mittelölverarbeitung.

Das Mittelöl lässt sich als Dieselöl mit einer Octanzahl von 60 - 70 direkt verwenden.

Aufgrund seines hohen Olefingehaltes lassen sich außerdem daraus verschiedene Herlei Produkte herstellen.

Als Aluminiumchlorid lassen sich durch Kondensation Zetinerle in einer Ausbeute von 35-40 % gewinnen, die sich bei einer V.I. von 65 als leichte Komponente für Flugmotorenöl verwenden lassen. Der Zet bestätigt aus 10-15 % Heißöl und rd. 50 % Diesello; von einer Octanzahl von 60-70.

roh Verbinden mit Luft lassen sich mit 100%iger Gewichtsstufe zu Rohöl gewinnen, die geprüft und als voll brauchbar befunden wurden.

roh direkt Sulfieren mit Schwefelsäure lassen sich in einem Arbeiten mit 40 % zu Sulfonaten (Waschmitteln) verarbeiten, wobei roh die Zusammensetzung von Schwefelsäure einer Gewichtsanteile von 50 % im Endprodukt entspricht. Der Rest ist ein Dieselöl von über 50 - 70. Es kann aber auch mit Benzol zu Igepal KA umgesetzt werden.

Nach dem Hoppo-Verfahren lassen sich daraus vorläufig 40 % Paraffine gewinnen. Die Arbeiten sind noch im Fließ.

Paraffinverarbeitung.

Das Paraffin lässt sich leicht in einer Ausbeute von 70 % thermisch zu Kerosin mit 70 % Olefinen krüppeln. Daneben fallen hier 10 % Benzin und 10 % Gas und Verlust an. In dieser Form lässt sich das Kerosinmittel zu den gleichen Verwendungszwecken wie das Originalmittel verwenden.

Soll das Paraffin zur Oxydation benutzt werden, so empfiehlt sich eine vorherige Hydrierung, um ein sauerstoff- und oleinfreies Produkt zu erhalten. Das Paraffin wird dabei rein weiß und etwas höher schmelzend. Es lässt sich dann wie das Fischerparaffin verwenden.

(Machbild der Tabelle der Produktverarbeitung).

gen. Michael

TITLE PAGE

7. Besprechung über Kohlenoxyd - Wasserstoff- Synthesen.
Berlin, Länderbank, 1.Juli 1941.
Conference on carbonoxide - hydrogen syntheses -
July 1, 1941.

Frame Nos. 27 - 39

Hochdruckversuch
Nr 558

(1)

B

27

1/27 July 1941

Synthese

/ Besprechung über

Kohlenoxyd - Wasserstoff - Synthesen

Berlin - Länderbank, 1.Juli 1941

190291

Teilnehmerliste

Dir Dr. Bütfisch
Dir Dr. Müller-Curandi
Dir Dr. Pier
Dr Langheinrich A W P
Dr Heintzeler Rechtsabt Lu
Dr J Mock Patentabteilung Lu
Dr Rheinfeldar Patentabteilung Lu
Dir Dr v Staden Letzlin Werke
Dr Braus.
Dr Henning
Dr Wenzel
Dr v Lom
Dr Wietzel Oppau
Dr Schenermann Oppau
Dr Duftschmid Oppau
Dr R Beckm Hochdruckverzicke Lu
Dr Mühner.
Dr W J Mock
Dr Michael
Dr Peters.

BEGRIFFLICHÜBERKohlenoxyd-Karbenolit - SynthesenSachbearbeiterbericht

Die Sachbearbeiter Dr. Michael Dr. Hoffmann, Dr. Schwermann und Dr. Wenzel berichteten über den Stand ihrer Arbeiten:

I. Gaskreislauf und SchaufelfahrtweiseDr. Michael Ludwigshafen

Ursprünglich hatten die Autoren das Ziel, Reaktionsgase aus Eisenkontakte heraustrennen. Eisenkontakte, die Temperaturen über 300°C erfordern können in Bührenöfen nicht zuführen werden. Im Gebiet von 300-350°C besteht immer die Gefahr der Verdampfung.

Es wurde das Gasturbillverfahren entwickelt, bei dem man ein viel kleinerer Kühlfluss als beim Bührenofen auskommt, weil die Reaktionswärme durch einen Abhitzekessel ausserhalb des Reaktionsraumes abgeführt wird, bei dem mit einem Temperaturgefälle bis zu 50° gearbeitet werden kann, während im Bührenofen nur 10-15° Grade zulässig sind. Bei Reaktionsleistungsländerungen von 10-15% werden im flüssigen Anfall 2/3 die 3/4 Wasser verdunstet. Nach der Sauerstoffentfernung mit Tonerde sinkt der Wassergehalt von 64 bis 85% enthalt viel Ölfarne und ist nach einer kleinen Raffination und Zusatz von γ -Naphthal als Sterilisator langsamständig und in den Teeten eingefüllt. In den Anfällen besteht aus Dieselöl, es enthält etwa 1-2% Sauerstoff und kann die

Cetzen-Zahl 60 - 70. Außerdem wird 1 % Paraffin erhalten. Neben flüssigen Produkten beim Gasumwälzverfahren (entferntes Gas (etwa 30 % des Gesamtauffalls) enthält viel Acrylen, Propylene und Butylen).

Bei Versuchen in einem 80 bis 100 Liter-Kesselstank, der sonst zufriedenstellend lief, stellte sich heraus, dass beim Übergang von den relativ engen Umladeleitungen in den weiten Kontaktraum leicht entzündende Gaszirkebildung auftritt, wenn dieser Übergang mit einer Richtungsänderung des Gasweges einhergeht. Bei Neukonstruktionen wäre diesem Zustand Rechnung zu tragen.

Für das Gasumwälzverfahren werden sehr freie Alkoholkontakte verwendet. Fällungskontakte haben eine ungünstigere Zersetzungswirkung nicht bewirkt.

Als das Problem der Mittelölherstellung auftrat, wurde zur Schaufahrweise Übergangsgelenk eines Glührohrs aus Carbonyl Eisen als Kontakt, der in Öl nachverschlossen wird, wird bei 140-250° mit guter Leistung ein besseres Mittelöl erhalten als beim Gasumwälzverfahren. Es wird auf möglichst oleinfreies Produkt gearbeitet. Das Dieselöl hat Cetzenzahl 60-70.

Die Schaufahrweise hat den Vorteil, nur geringe Verzögerung zu geben. Sie beträgt 3 - 8 % je nach Reaktionstemperatur vor oder über 18 - 20 % beim Gasumwälzverfahren.

Das Verfahren kann im Röhrofen ausgeführt werden, wobei die Stopfbuchsen Schwierigkeiten im Kauf nehmen und technisch einfacher ist es, mit einer Schaufelplatte zu arbeiten, wobei durch einen zusätzlichen Ölkreislauf ein Abkühlen des Kontaktrohrs sicher verhindert wird. Der abgerahmte Reaktionsraum liegende Teil des Ölkreislaufs kann zur Wärmeleitung und beim Anfang des Aufheizens benutzt werden.

Bei der Schaufahrweise wurden z.B. erhalten:

30 Teile Benzol, 30 Teile Mittelöl und 40 Teile Paraffin, das zu 70 % zu Mittelöl aufgespalten werden kann. Der Rest erhält bei etwas verdunkerten Bedingungen: 60 % Benzol, 30 % bis 350° und 10 % hochsiedende. Das bei 310° gewonnene Benzol hat eine Research 90.

Für das Gasumwälzverfahren sind folgende Zahlen kennzeichnend:

Reaktionstemperatur 325°
Leistung 0,8 kg Prod./Liter Katal./Tag
Umsatz 91,5 % in zwei Stufen

Ausbeute Gesamtprodukt je kg/M³ Idenol 160 g
davon sind 70 % = 112 g flüssig, davon 7 % Alkohole, flüssig

15 % Benzol 100 g

48 % Benzol ltv

50 % = 48 g gasförmig davon 6 % Alkohol

9 % + trocken

3 % Propan

1,5 % Butyl

2 % Äther

10 %

Vom O₂ sind 60-65 % iso. Ein schließliche Polymerisation beträgt die Ausbeute 142 g statt 112 g. Die 18 % Sölin können durch Tonerde-RM fixierte saurefreie Polymerisationsmasse getrennt werden. Die Ausbeute geht dabei von 48 auf 46 zurück.

Für die Schaufahrweise wird mit einer Reihe von folgenden Zahlen genannt:

Reaktionstemperatur 240 - 250°
Leistung 0,8 kg/liter Rohrausvol./Tag
Umsatz 90 % (in 3 Stufen)

Ausbeute kg/M³ Idenol 170 g flüssig und feste Produkte
Davon sind 4-5 % Alkohole im Produktanteil.

Der Überschuss besteht aus:

30 % aus Benzol

30 % Mittelöl

40 % Paraffin

Hierzu kommen noch:

4 % Gasol

3 % Vergaseröl

30 % aus Benzin
 30 % Mittelöl
 40 % Paraffin
 Hierzu kommen noch:
 1 % Anisol
 3 % Vierstoffe

32

Wird mit der Schaufelfrösche-Methode gearbeitet, so ist, um eine hohe O₁₈-Z. zu erreichen, eine Reaktionstemperatur von 210° oder etwas tiefer erforderlich. Die Ausbeute ist dann 160 g.

Über die Untersuchung von Produkten, die v. Sünzel mit eigener und Leuna-Kontakten hergestellt hat und die im Verhältnis auf Alkoholgehalt unterteilt wurden, gibt Dr. Michael folgende Zahlen:

| | Schaufelfrösche Dampfphase | Oerlikon-Synal Dampfphase |
|--|-------------------------------|--|
| Reakt.-Temp. | 250° | 195° |
| Kontakt | Michael Klein-Synal-Kontakt | Arbeitsgr. I - Kontakt in Le reduziert |
| Alkohole | maxima bei 160° | ca. 16 % in einer Fraktion |
| in der Schau- mittel-Faktion | nicht über 12 % | 26 bis 29 % |
| O ₈ bis O ₁₈ | | |
| Olefine in O ₈ bis O ₁₈ | 60 - 65 % | 40 - 50 % |

Es gilt als Regel, daß die Summe von Alkoholen plus Olefinen etwa konstant ist.

Dr. Sünzel teilt mit, daß Leuna neuerdings vor der Öl- und Chemie ein Produkt erhalten hat, aus 80 % Olefine in der O₈ bis O₁₈ - Fraktion aufgearbeitet.

Dr. Michael berichtet noch kurz über Versuche mit dem Merseburg Synal-Kontakt nach der Schaufelfrösche-Methode bei 20 at und 210°. So wurden mit Leistung O 15 ein Produkt mit folgenden Eigenschaften erhalten:

| in Fraktion | 220 - 250° | 250 - 300° | 300 - 350° |
|-------------|------------|------------|------------|
| Alkohole | 23 % | 24 % | 15 % |
| Olefine | 35 % | 30 % | 27 % |

III. Ölkreislaufverfahren

IV. Dautschmidt, Oppau,

Im den Jahren 1927 bis 1928 hat Dr. Linck Riesengeschmalkontakte entwickelt. Beim Arbeiten in der Gasphase unter hohem Druck erhaben sich damals Schwierigkeiten durch C-Abscheidung.

1934 wurden Versuche in flüssiger Phase aufgenommen und das Ölkreislaufverfahren entwickelt, bei dem Öl und Gas im Glasrohr über fest angeordnetem Kontakt geleitet wurde. Besonders ist die Arbeit in keiner Phasen, die durch Rückförderung relativ leicht niedriger Ölanteile gewährleistet wird. Es wurde zunächst bei 100 at später bei Mitteldruck in 2 Stufen gearbeitet.

Bei 240° am Ofeneingang und 290°C am Ofenausgang waren bei 50 % Umsatz in einer Stufe über beide Stufen je Normal m³ (ca. 150 g Primärprodukt (flüssig + Gasol) folgender Zusammensetzung erhalten:

40 % Primärbenzin O.Z. 62 - 68, O.Z. + 0,1 Blei 85
2 % Sauerstoffgehalt, entfernter durch Wasserwäsche

20 % Mittelöl Octanzahl 78
20 % Hartparaffin Schmelzpunkt 95°
15 % Gasol (ohne O₂) mit 85 % Olefinen
5 % Alkohole mit 25 % Methanol
50 % Ethanol
25 % höheren Alkoholen, A aldehyd, Aceton etc

Die Leistung ist 30 g/Ltr. Kat./Std. = 0,76 Ltr. Kat./Tag

Mit steigendem Druck - es wurden Versuche bei 25, 100, 150 und 180 at ausgeführt - nimmt der Sauerstoffgehalt der Produkte zu, bei 180 at erhält man aber sehr viel leichtsiedende und nur sehr wenig höhere Alkohole.

Um das Verfahren auf Alkoholproduktion umzustellen, ist es erforderlich, mit kleinem Umsatz und mit wasserstoffreichem Synthesegas zu arbeiten.

- Bei einem CO/H_2 -Verhältnis 1 : 1, 180 at und 280 - 290° wurden bei 28 - 30 % Umsatz im Gesamtflußanfall 46,5 % Alkohole erhalten und zwar 9,5 % Methanol
21 % Ethanol
10 % Propanol
6,5 % C₄ bis C₁₁ - Alkohole
2,5 % C₁₂ bis C₂₀ - Alkohole.

Die 33,5 % Kohlenwasserstoffe enthielten

- 26,5 % Benzol
3,5 % Mittelöl
3,5 % über 300°.

Von den 18 % Fettsäuren waren

- 11 % wasserlöslich
8 % C₄ bis C₁₁
8 % C₁₂ bis C₂₀.

Die Alkohole im Anfall verschwinden

- a) bei hohem Umsatz
b) bei C-Abscheidung am Kontakt.

III. Paraffinsynthese

Dr. Schaeffermann, Ammoniaklaboratorium, Oppau.

Es wurde mit der Ruhr-Chemie-Apparatur gestreift- und Kobalt-Kontakte entwickelt, die hohe Paraffinsiebungsraten geben, worüber schon früher berichtet worden ist.

Das CO/H_2 -Verhältnis war dabei 1 : 2, der Druck 12 atu.

Später wurden Eisenfüllungskontakte entwickelt, die schon unter 230° arbeiten. Z.B. sind schon Eisenkontakte vorhanden, die bereits bei 195° arbeiten.

Bei einer Stufe werden 70 - 75 g Produkt je kg Eisen aus erhalten bestehend aus:

- 10 % Paraffin
15 % Mittelöl
15 % Benzol mit 3-5 % Alkoholen und 8-10% Ungesättigten.

Die berechnete Ausbeute (auf 100 % Umsatz) beträgt 130 bis 140 g je Nm^3 .

Bei 260° werden mit einem Eisenschmelzkontakt 70 - 80 % Olefine erhalten, von denen 15 - 20 % für die Oxyreaktion geeignet sind. Sie enthalten 90 - 95 % gerade Ketten. Aus den höheren Paraffinen können durch Krecken 70 % Mittelöl erhalten werden.

IV. Paraffin- und Synth-Synthese

Dy. Penzel, Merseburg.

Im Jahre 1938 wurde angestrebt, das Katalysie-Verfahren zu verbessern. Die Kalkulationen zeigten aber, dass das Verfahren immer teuer sein wird.

Man ging deshalb dazu über, auf Spezialprodukte hinzuarbeiten.

1.) Hartparaffin.

Es wurde ein Kobalt-, Aluminiumoxyd-, Minkowd-Kontakt entwickelt, der bei 180 - 185° und 10 atm im Rohrrofen in einer Stufe 140 g Produkt je Nm^3 -Synthesegas lieferte, das 70 % Hartparaffin vom Schmelzpunkt 95°C enthielt.

2.) Alkohole:

Bei Eisenschmelzkontakten (Ammoniakkontakt) wurden im Katalyseofen Produkte erhalten, die in den einzelnen Praktiken im Durchschnitt enthielten:

| | %, Alkohole | %, Olefine |
|------------|-------------|------------|
| 100 - 200° | 60 | 38 - 20 |
| - 380° | 65 | 30 - 20 |
| - 440° | 32 | 35 - 40 |

Der Anfall muss entstautert werden, um in der Destillation Esterbildung zu vermeiden.

Die Geradkettigkeit der Alkohole und Olefine beträgt 80-85 %.

Für die Anlage in Auschwitz bietet das Verfahren den Vorteil leichter Umstellbarkeit von der Benzin + Dieselbefahrweise im Krieg auf die Alkohol (Synol) - Fahrweise im Friedenszeitalter.

Im einzelnen ergeben sich für die beiden Fahrweisen folgende Zahlen:

| | Bi + Diesel | Alkohol (Synol) |
|---|-------------|-----------------|
| | 3 Stufen | 4 Stufen |
| CO ₂ -Absorption | 2 mal | 3 mal |
| Gas-Leistung | 1 : 200 | 1 : 100 |
| Leistung t/fl. Prod./m ³ /Tg. | 0,92 | 0,88 |
| Temperatur °C | 220 - 245 | 170 - 220 |
| g fl. Prod. je m ³ Idealgas | 140 | 160 |
| g Gasöl je m ³ Idealgas | 14 | 16 |
| g Gesamt/m ³ Idealgas | 154 | 176 |
| g Idealausbeute über Methanbilanz errechnet | 161 | 170 |
| g Vergasung von ang. Gas | 8 | |
| Produktzusammensetzung | % Alkohole | % Alkohole |
| bis 200 | 64 - 40 | 5 - 10 |
| 200 bis 300 | 18 - 30 | 3 - 8 |
| 300 bis 400 | 6 - 15 | 2 - 5 |
| über 400 | 12 - 15 | 2 - 4 |

Das Verfahren kann im Ruhrohre-Methanolyse-Plattenofen, der großtechnisch erprobt und gut bewährt ist, eingesetzt werden. Man hat den Vorteil des ruhenden Kontaktes und einer helleren bewegten Teile an der Apparatur.

Der Schmelzkontakt ist leicht herzustellen, sehr hart und unveränderlich und kann durch Umschmelzen leicht repariert werden.

Die Plattenöfen erlauben jederzeit auch eine Umstellung auf andere Kontaktarten z.B. die Oppauer oder Dierseburzer Kontaktarten Paraffin- bzw. Hartparaffinherstellung.

Um hohe Alkoholausbeuten zu erzielen ist wesentlich,

- 1) niedre Temperatur und vorheriges Umschmelzen der Kontaktarten mit Wasserstoff.

- 2) kleiner Umsatz (die Alkohole werden bei höherer Temperatur wieder zerstört).

- 3) kurze Kontaktberührungszeit. (Die Alkohole werden über Eisenkontakt verbraucht. Man wird daher technisch nicht über 2 Kontaktsschichten gehen.)

Die CO₂-Wäsche zwischen den einzelnen Stufen wird mit Triglycerin ausgeführt, wobei der CO₂-Gehalt des Gases von 1% auf 3% zurückgeht. Aus der ausgewaschenen Kohleinsammlung wird weiter mit A-Kohle noch leichtfließende Produktanteile abgetrennt.

Abschließend wies Dr. Michael noch auf Differenzen hin, die sich aus den verschiedenen Alkoholbestimmungen ergeben und einen direkten Vergleich der verschiedenen Verfahren ermöglichen.

Die Alkoholgehalte der brennbaren Produkte mit Synol-Kontakt nach der Braumethode erreichen 70 - 80 % der Alkoholgehalte der in Kauna im Röhrenofen hergestellten Produkte, wenn die Analyse nach der gleichen Methode erfolgt.

Dr. Fenzel wies darauf hin, dass die Alkohole sich bei der Destillation vernebeln und darauf die Differenzen verschwinden können.

Dr. Michael hält eine Zersetzung der Alkohole bei der Destillation seiner Produkte für unwahrscheinlich, weil die Destillation bei 2 mm Vakuum erfolgt ist. Die Ursachen der unterschiedlichen Bestimmungen sollen in den nächsten Tagen geklärt werden.

Ahnlichend wurde noch die Patentlage ~~und~~ und besprochen.

Nach Beendigung der Besprechungen wurden auf Anregung von Herrn Dr. Pier gemeinsam mit den Schiebearbeitern in einer Tabelle (siehe Anlage) die Ergebnisse der verschiedenen Verfahren zum Vergleich nebeneinandergestellt.

Um einen richtigen Vergleich zu ermöglichen, erfordert dieses Zahlenmaterial aber noch verschiedener Erklärungen und Korrekturen.

Die Tabelle wird deshalb den Schiebearbeitern zur Bearbeitung zugeliefert.

In Merseburg ist jetzt eine Synthese-Anlage für 1 Tonne/Ta vorhanden. Eine größere Versuchsanlage für 10 t/Jato ist dort geplant. Herr Dr. Bütfisch regt an, in Merseburg auch einen Gasumwälzofen bzw. Scheunplattenofen (Michael) aufzustellen, um unter Mitarbeit von Dr. Michael dort Parallelversuche mit dem Merseburger Verfahren anstellen zu können.

Herr Dr. Pier wendet dagegen ein, daß er eine Einzentrierung der wenigen Arbeitskräfte, die in Lü für die Synthese-Versuchsanlage zur Verfügung stehem, auf diese Anlage für richtig hält und regt eine Aussprache in Leuna über die geplante Vorstanlage an, an der auch die Insanierer teilnehmen sollten.

1. Tabelle.

-
- 1) Herr Dr. Michael hat schon einige Korrekturen angebracht.

Hochdruckversuche
zu 558

39

Hochdruckversuche Ludwigshafen

Michael

| Fahrweise | Benzin | Synol | Dieselöl | Benzin | Synol |
|--|---|---------|--|-----------------|----------------------------|
| Druck | 20 atm | 20 atm | 20 atm | 20 atm | 20 atm |
| CO : H ₂ | 1 : 1,2 | 1 : 0, | 1 : 0,5 | 1 : 0,6 | 1 : 0,7 |
| Temperatur °C | 325 | 195 | 40-290 | 300-310 | 210 |
| Verfahren | Gasumwälzung | | | Schäumverfahren | |
| Kontakt | Eisensinter-Synol- kontakt 3-5 mm | | Riesenoxydronkakt re- duziert und gewöhlt 1-2 mm | | Synolische- keit, teil- |
| Anzahl der Stufen | 2 | 4 | 3 | 3 | 2 |
| O ₂ -Wäsche | 1 x | 3 x | 2 x | 2 x | 3 x |
| % Umsatz | 91-92 | 90 | ca. 90 | ca. 90 | 90 |
| Primärprodukt je 1 m ³ CO + H ₂ | | | | | |
| % Flüssig | 112 | 160 | 170 | 170 | 165 |
| % C ₃ O ₄ (> Olefine) | 35 (80%) | 15 | 5 | 5 | 5 |
| % C ₂ (> Olefine) | 13 | | | | |
| % C ₁ | 35 | 100 | 100 | 100 | 100 |
| Gasol + flüssig ber. | | | | | |
| Flüssig-Produkt bis 200° (Alkohole) 78 (30%) | | | | | |
| % 200-300° | | | 20 | | |
| % 300-350° | | 20 | | | |
| % 350-400° | | | | 30 | |
| % Über 400° | 2 | | | | |
| Leistung kg/Liter-Raum/Tag | 0,8 | 0,5 | 0,2 | 0,1 | 0,15 |
| Gas-Durchsatz Gas/m ³ Kat./Std. | 1 : 250 | 1 : 120 | 1 : 100 | 1 : 70 | 1 : 60 |

4. Juli 1941

M 1/2

| | Oppau | Merschburg | Angewandte O. |
|------|---|---|---|
| | Duftschmidt | Wenzel | Winkelmann |
| 1701 | KW-Synthese Alkohol 8y Bi+Diesel 1 Syncol | Paraffin + Olefin | |
| 1702 | 25 atu 100 atu 19-25 atu 19-25 atu 12 atu 12 atu | | |
| 07 | 1 : 0,82 1 : 0,82 1 : 0,72 1 : 0,72 1 : 2 1 : 2 | | |
| | 240-290 235-280 220-245 190-220 195-215 240 | | |
| | Ölkreislauf | Oxidation | Oxidation |
| | Eisen-schmelz-kontakt Eisen-schmelz-kontakt Eisen-schmelz-kontakt | Blasenabsatzkontakt Eisen-Pfeilkreislauf Eisen-Pfeilkreislauf | Eisen-Pfeilkreislauf Eisen-Pfeilkreislauf |
| 4 | 2 3-4 | 3 | 4 |
| 5 | keine | 2 bis 3 x | 2 x |
| 90 | 87 ca. 90 | 90 bis 95 | 90 bis 95 ca. 100 (1 Stufe) 60 (2 Stufen) |
| 105 | 125 ca. 140 | 140 | 160 |
| 12 | 22 ca. 50 (0,5%) | 14 (75%) | 16 (75%) |
| 6 | | - | ca. 4 (100%) |
| | | | ca. 10 ca. 15 |
| | | 181 g | 190 g ca. 170 g ca. 170 |
| 52 | 19 (8%) 7-(ca. 45%) | 64-40(5-10%) 11 (34%) | 15 (-) 30 (3-10%) |
| 12 | (ca. 2-1%) 7-(ca. 45%) | 10-30 (2-8%) | 18 (56%) 15 (13-18%) 30 (0,5-1%) |
| 2 | 29 | { 6-15 (2-5%) 15 (50-60%) | 70 (45%) 35 (0,5-1%) 10-15 (2-5%) |
| | | 12-35 (2-5%) 23 (37%) | 45-460 (2-5%) |
| 015 | 0,72 | ca. 0,5 | 0,92 0,64 0,35-0,45 0,7 |
| 1110 | | 1 : 250 | 1 : 250 1 : 100 1 : 100 1 : 400 |

TITLE PAGE

8. Versuche mit H₂-CO₂-Gemischen unter DHD-Bedingungen.
Experiments with hydrogen - carbon dioxide mixtures under DHD conditions. March 6, 1942.

Trans No. 40 - 48.

40

Wasserstoffversuchs
ID 150

6. März 1942. Nr/ff.

Hypothese.

Versuche mit H₂-CO₂-Gemischen unter DHD-Bedingungen.

Zusammenfassung:

In einem 1000 cm-Ofen mit eingesetztem DHD-Kontakt wurden Versuche mit einem Gemisch von 95 % H₂ und 5 % CO₂ bei einem Druck von 25 atm durchgeführt. Die Einspritzung von 6719/6434-Schwerbenzin erfolgte einmal zu dem CO₂-H₂-Gemisch, dann aber auch erst nach Umstellung auf 10g-freien Wasserstoff. Bei einer Temperatur von 510°C und einer Gasmenge von 500 Ltr./Ltr. Std. werden im Mittel 26,5 % des durchgesetzten CO₂ zu CO und 56,4 % zu CH₄ reduziert. Eine merkliche Schädigung der Dehydrieraktivität ist nur während des Fahrens mit dem H₂-CO₂-Gemisch vorhanden; nach erfolgter Umstellung auf H₂ besitzt der Kontakt seine ursprüngliche Aktivität.

Aus diesen Ergebnissen lassen sich einige Folgerungen hinsichtlich der Verbesserung der Umstellszeit von Regeneration auf Betrieb in technischen DHD-Anlagen (DHD-Hinheitssämmern) ziehen. Wird bei der Umstellung nicht wie bisher üblich das Regenerationsgas vollständig, sondern nur auf etwa 10 atm entspannt und die Kammer darauf sofort mit H₂ wieder hochgedrückt, so setzt sich das CO₂ unter den gegebenen Bedingungen verhältnismäßig rasch und praktisch vollständig zu CH₄ um. Der H₂-Verbrauch beträgt ca. 400 cbm/Std.; die dabei freiwerdende Wärmemenge 400 x 400 = 160 000 kcal. Wird das H₂ auf alle 5 Öfen gleichmäßig verteilt und Kaltgas den letzten 4 Öfen eingesetzt, so kann die Reduktion des CO₂ in ca. 1/2 Stunde durchgeführt werden. Es ist zu überlegen, ob es nicht zweckmäßig ist, wenigstens einen Teil des CO₂ vor dem Hochdrücken der Kammer durch Einspritzung einer wässrigen Na₂CO₃-Lösung zu entfernen. Bei einer Einspritzung von 3 cbm Lösung/Std. kann das gesamte CO₂ in ca. 3 Stunden ausgewaschen werden.

1000

Zweck der Versuche.

In den technischen DWD-Anlagen nahm bisher die Umstellung von Regeneration auf Betrieb verhältnismäßig viel Zeit in Anspruch: Entspannung des Regenerationsgases auf 1 atm bei gleichzeitig Abstellen des Kreislaufes; zweimaliges Hochdrücken auf 10 atm und Wiederentspannen der Kammer mit H₂ zur Entfernung des CO₂- und geringen O₂-Gehaltes; unter Druckstellen der Kammer mit gestapelten Überschussgas, soweit vorhanden, und mit Wasserstoff auf einen Betriebsdruck von ca. 35 atm entsprechend einem H₂-Partialdruck von 25 atm; Anfahren des Kreislaufes und Verfahren der Temperatur von Vorheizer und Ofen, was wegen des geringen Gesamtdruckes und der entsprechend geringen Kreislaufgasmenge viel Zeit beanspruchte. Eine erhebliche Zeitsparnis könnte nun dadurch erreicht werden, daß man, ohne den Kreislauf abzustellen, die Kammer nur auf etwa 10 atm entspannt und sofort mit dem gestapelten Kreislaufgas und Wasserstoff auf einen Druck von ca. 45 atm entsprechend einem H₂-Partialdruck von 25 atm hochdrückte. Währenddessen könnten zumindest die Vorheizer und die Ofeneingänge auf die gewünschte Temperatur gebracht werden. Da im Regenerationsgas neben einem geringen O₂-Gehalt etwa 15 % CO₂ vorhanden sind, hätte man nach der Umstellung ein Gas mit einem CO₂-Partialdruck von etwa 1,5 atm. Die Ofeneingangstemperaturen betragen etwa 500-510°C.

Durch Kleinversuche sollte festgestellt werden, ob unter diesen Bedingungen am Kontakt eine Reaktion des CO₂ mit H₂ zu CO, CH₄ und H₂O stattfindet und ob, falls dies der Fall ist, die Reaktionsprodukte, vor allem der Wasserdampf, einen schädlichen Einfluß auf die Dehydrierung haben.

Ausführung der Versuche.

Die Versuche wurden in 1000 cm³-Ofen mit H₂ bzw. einem Gemisch von 95 % H₂ und 5 % CO₂ durchgeführt. Als Kontakt wurde ein Dehydrierkontakt mittlerer Aktivität auf Tonerde 8500 (K 7935 Fas 1-1A/1B-17) und als Einspritzvapunkt 6719/5434-Schwerbenzin aus estnischem Schieferöl verwendet. Einige Versuche liefen bei einem Druck von 25 atm, einer Temperatur von 510°C, einer Gasmenge von 500 Ltr./Ltr.-Std. und, sofern nötig, Einspritzung gefahren wurde,

bei einem Durchsatz von 0,5 kg/ltr.xStd. In Einzelnen wurden folgende 7 Versuche durchgeführt:

Versuch 1 und 2 unter normalen DHD-Bedingungen (8 Std.-Zyklen) mit Hg als geraden Durchgang; Versuch 3 mit einem Gemisch von 95 % Hg und 5 % CO₂; 4 Stunden ohne Einspritzung, die nächsten 8 Stunden mit Einspritzung; Versuch 4 unter normalen DHD-Bedingungen; Versuch 5 und 6 4 Stunden ohne Einspritzung mit dem H₂-CO₂-Gemisch, Umstellung auf Hg und 8 Stunden Einspritzung mit Hg; Versuch 7 unter normalen DHD-Bedingungen; bei den mit dem H₂-CO₂-Gemisch durchgeführten Versuchen wurden an Ofenein- und ausgang, bei den übrigen Versuchen nur am Ofenausgang Gasanalysen vorgenommen.

Ergebniszahlen:

Die gemessenen Versuchsergebnisse sind in Anlage 1 und 2 zusammengestellt. Im Anlage 2 ist für die 4-stündigen Versuchsperioden, während denen nur das H₂-CO₂-Gemisch über den Kontakt strömt, aus den Gasanalysen am Ofenein- und ausgang berechnet, wieviel Vol.-% des eingesetzten CO₂ zu CO und CH₄ reduziert wurde. Im Mittel ergeben sich etwa folgende Werte 1),

| | |
|---|--------|
| Von eingesetzten CO ₂ % unverändert: | 17,1 |
| % zu CO | : 26,5 |
| % zu CH ₄ | : 56,4 |

Auch bei dem DHD-Versuch mit dem H₂-CO₂-Gemisch anstelle von Hg als Gas wurde der größte Teil des CO₂ zu CO und CH₄ umgesetzt.

Im Kurvenblatt 1 sind zur Beurteilung einer evtl. eingetretene Kontaktbeschädigung von sämtlichen Versuchen mit Einspritzung Kontakttemperaturen, Ausbeute an O₂-freiem Abtrenner sowie % gebildete Anteile ~ 100° in Abhängigkeit vom Aromatengehalt des Anfallproduktes aufgetragen. Eine außerhalb der Versuchsstreuungen liegende Minderung der Dekontaktaktivität ist nur bei dem Versuch festzustellen, der statt mit Wasserstoff mit dem H₂-CO₂-Gemisch durchgeführt wurde. Im Vergleich zu den übrigen

1) Bei den Mittelbildung ist das Ergebnis vom 7.1. nicht berücksichtigt worden, da die Analyse 10 % Luft enthieilt.

J.

Versuchen wird auf dem gleichen Aromatengehalt bezogen eine um etwa 13°C höhere Reaktionstemperatur benötigt. Intervallmäßig liegen auch Ausbeute und Spaltung bezogen auf den Aromatengehalt der Anfallprodukte bei diesem Versuch ungünstiger, wenn auch eine quantitative Aussage wegen der großen Streuungen der unter gleichen Bedingungen geführten Versuche nicht möglich ist.

Einfluss der Verzweigung auf die DHD-Minheitskammer:

Auf Grund der vorhandenen Versuchsunterlagen kann nur eine粗ke Abschätzung gegeben werden. Es ist beabsichtigt, zunächst gummierter Versuche im 40 ltr.-Ofen mit Kreislauf durchzuführen.

Die Gleichgewichtskonstante der Reaktion $\text{CO}_2 + \text{H}_2 \rightleftharpoons \text{CO} + \text{H}_2\text{O}$ $K_p = \frac{\text{P}_{\text{CO}} \cdot \text{P}_{\text{H}_2\text{O}}}{\text{P}_{\text{CO}_2} \cdot \text{P}_{\text{H}_2}}$ ist bei 510°C 0,22, während die Gleichge-

wichtskonstante der Reaktion $\text{CO}_2 + 4 \text{H}_2 \rightleftharpoons \text{CH}_4 + \text{H}_2\text{O}$

$K_p = \frac{\text{P}_{\text{CH}_4} \cdot \text{P}_{\text{H}_2\text{O}}^4}{\text{P}_{\text{CO}_2} \cdot \text{P}_{\text{H}_2}^4}$ bei der gleichen Temperatur etwa 10 beträgt.

Unter den bei den Kleinversuchen eingeschalteten Bedingungen ist am Ofenausgang ein P_{CO_2} -Partialdruck von 0,21 atm, ein P_{CO} -Partialdruck von 0,33 atm, ein P_{CH_4} -Partialdruck von 0,71 atm, ein $\text{P}_{\text{H}_2\text{O}}$ -Partialdruck von 1,75 atm und ein H_2 -Partialdruck von ca. 21 atm vorhanden. Hiermit ergibt sich für $\text{P}_{\text{CO}} \cdot \text{P}_{\text{H}_2\text{O}}$ ein

$$\text{P}_{\text{CO}_2} \cdot \text{P}_{\text{H}_2}$$

ein Wert von 0,13, während $K_p = 0,22$ ist, für $\text{P}_{\text{CH}_4} \cdot \text{P}_{\text{H}_2\text{O}}$ dagegen $\text{P}_{\text{CO}_2} \cdot \text{P}_{\text{H}_2}$

ein stark von der Gleichgewichtskonstante abweichender Wert. Darauf folgt, dass die Hydrierung des CO_2 zu CO rascher verläuft als die des CO zu CH_4 . Wird zu einem CO_2 -haltigen Inertgas H_2 hinzugegeben, so wird sich zunächst das CO_2 in der Hauptreaktion zu CO umsetzen und erst bei H_2 -Überschuss zu CH_4 weiterhydriert. Die untere Grenze der Geschwindigkeit, mit der der Wasserstoff verbraucht wird, lässt sich pro Reaktionsschritt aus der Geschwindigkeit abschätzen, mit der bei den Kleinversuchen das CO_2 zu CH_4 umgesetzt wurde: Pro Ltr. Katalysator und Stunde wurden $\frac{14 \cdot 4}{100} \cdot \frac{5}{100} = 500 = 14$ Ltr. CO_2 zu CH_4 umgesetzt; dem entspricht ein H_2 -Verbrauch von 56 Ltr./Ltr.Kat.

und Stunde. Die Wärmetönung pro cbm H_2 -Verbrauch ist für die beiden konkurrierenden Reaktionen annähernd gleich und zwar 400 kcal/cbm H_2 .

Die DHD-Minheitskammer für 100 000 l/h Hochleistungsbenzin besteht aus zwei DHD-Ofen von je 7,6 und 3 DHD-Ofen von je 9,6 cbm Reaktionsraum. Bei 50 atm Abstreifendruck ist die maximale Kreislaufgasmenge ca. 24 500 cbm/std., bei 10 atm daher ca. 5 000 cbm/std. Das Regenerationsgas beträgt pro atm ca. 60% cbm. Bei 10 atm Druck sind mithin im Regenerationsgas $\frac{15}{100} \cdot 60 = 11$ % cbm CO_2 enthalten.

Zur vollständigen Hydrierung zu CH_4 werden $4 \cdot 99 = 396$ cbm H_2 benötigt. Nach den obigen Abschätzungen werden bei einer Temperatur von 510°C ca. $36 \cdot 40,0 = 1440$ cbm H_2 pro Stunde eingesetzt. Das gesamte im Regenerationsgas bei 10 atm vorhandene CO_2 könnte dagegen in ca. 10 Min. zu CH_4 hydriert werden. Dabei ist jedoch die Beherrschung der Wärmetönung noch nicht berücksichtigt. Die gesamte freiwerdende Wärme menge beträgt $396 \cdot 400 = 158400$ kcal. Die höchste noch zulässige Temperatur im Reaktionsraum ist 580°C. Wir führen die Rechnung für folgende 2 Fälle durch:

a) Keine Kaltgassuführung, H_2 -Einführung an einer Stelle.

b) Aufteilung der H_2 -Einführung auf alle 5 DHD-Ofen: ca. 79 cbm H_2 /Ofen. Einführung von je 310 cbm Kaltgas zu Eingang der 4 letzten DHD-Ofen.

Fall a) Die gesamte Wärme menge, die vom Kreislaufgas und eingeführten Wasserstoff pro Stunde aufgenommen werden kann, beträgt: $5000 \cdot 50 \cdot 0,34 = 89000$ kcal. Die Reduktionsdauer ist mithin $\frac{158400}{89000} =$ ca. 1 Stunde 50 Minuten.

Fall b) Die Kaltgasmengen sind so gewählt, dass das Kreislaufgas zu Eingang der 4 letzten DHD-Ofen jeweils von 580°C auf etwa 510°C heruntergekühlt wird. Das Kreislaufgas und Wasserstoff im Ofen 1 beträgt ca. 1870 cbm/std., inlusive die Wärme Kapazität bei 50°C Temperaturdifferenz $3.870 \cdot 50 \cdot 0,34 = 65000$ kcal/std. Die Reduktionsdauer ist mithin $\frac{158400}{65000} =$ ca. 1/2 Stunde. Die Reduktionsdauer kann noch weiter verringert werden, wenn die Reaktion

Die Anfangstemperaturen sind so gewählt, daß das Kreislaufgas am Ringgang der 4 letzten DND-Ofen jeweils von 360° auf etwa 510° heruntergekühlt wird. Das Kreislaufgas und Wasserstoff im Ofen 1 beträgt ca. 3800 cbm/Stdt. inclus. die Wärmekapazität bei 500° Temperaturdifferenz
 $3\cdot830 \cdot 50 \cdot 0,34 = 45\,000$ kcal/Stdt. Die Reduktionsdauer ist mitin $\frac{112\,400}{45\,000} =$ ca. 1/2 Stunde. Die Reduktionsdauer kann noch weiter verringert werden, wenn die Rektlin

- 6 -

45

bereits bei Temperaturen unter 510° eine hinreichend große Geschwindigkeit besitzt. Hierüber sollen weitere Kleinversuche Aufschluß geben.

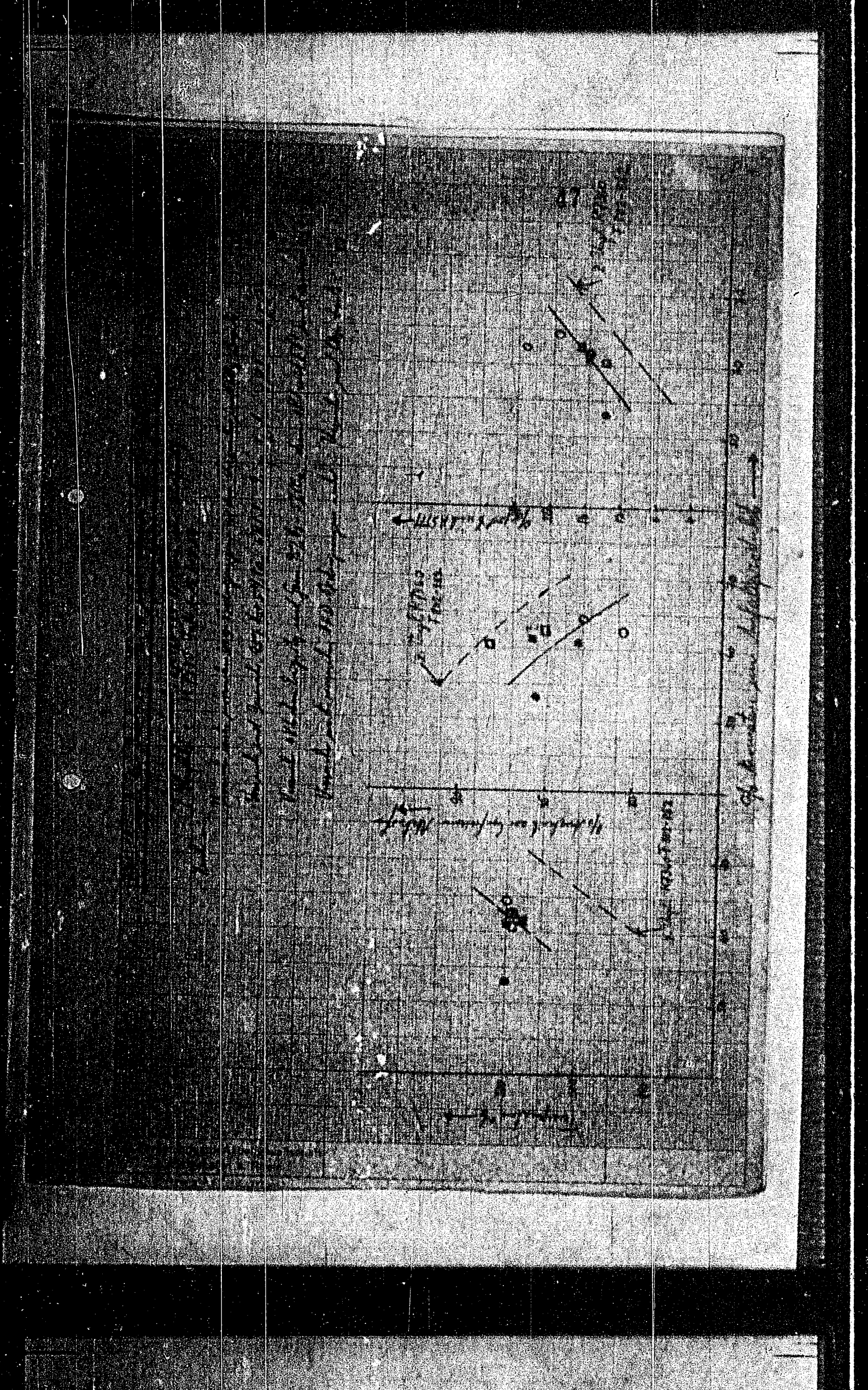
Eine verminderde Dehydrieraktivität des Kontaktes nach erfolgtem Umsatz ist nach den vorliegenden Kleinversuchen nicht zu erwarten.

Eine Möglichkeit, die durch die Verunreinigung der Reduktion der CO₂ bedingten Schwierigkeiten zu umgehen, besteht darin, das CO₂ aus dem Regenerationsgas auszuwaschen.

Die Löslichkeit von CO₂ in H₂O beträgt bei 200° 0,7 ltr./Ltr. H₂O und atm. Bei einem CO₂-Partialdruck von 1,5 atm und einer H₂O-Einspritzung von 3 cbm/Stdt. werden within 3 cbm CO₂ pro Stunde gleich 3 % der gesamten CO₂-Menge ausgewaschen. Eine erheblich raschere Entfernung des CO₂ wird erreicht, wenn anstelle des H₂O eine wässrige Lösung von Na₂CO₃ gewonnen wird. Die Löslichkeit des Na₂CO₃ in H₂O beträgt rund 100 g Na₂CO₃/ltr. Sind solche Lösung entsteht durch Aufnahme von CO₂ aus einer Lösung mit 63 g Na₂CO₃/ltr. bzw. 27,5 g Na/ltr. Bei 90 % Na₂CO₃-Bildung nimmt diese Lösung auf 23 g Na 24 · 0,8 = 0,5 = 9,6 ltr. CO₂ auf, oder bei 3 cbm Einspritzung/Stdt. 33 cbm CO₂. Da 99 cbm CO₂ vorhanden sind, wären da. 3 Stunden erforderlich, um das gesamte CO₂ zu entfernen.

Gemeinsam mit
Dr. Reitz
" Meier

ges. Kommissionär
" Donath



Analysen des verwendeten H_2-CO_2 -Gemisches vor und nach dem Ofen.

| Zeit | 5.1. 17 mit 10h | 5.1. 21 mit 3h | 7.1. 11 mit 14h | 8.1. 11 mit 14h |
|--|--------------------|----------------------|--------------------|--------------------|
| Metall. Verlust | keine | 500 g P 1517 >90% | keine | keine |
| | Ringg. Ausgg. | Ringg. Ausgg. | Ringg. Ausgg. | Ringg. Ausgg. |
| CO_2 | 5,0 | 0,6 | 4,4 | 0,6 |
| CH_4 | 0,0 | 0,0 | 0,0 | 0,0 |
| H_2 | 90,36 | 89,48 | 91,84 | 91,32 |
| CO | 0,16 | 1,44 | 0,16 | 0,2 |
| Braschung | 0,0 | 0,0 | 0,0 | 0,0 |
| KW | 1,04 | 4,80 | 0,76 | 0,76 |
| Hg | 3,44 | 3,68 | 3,84 | 2,56 |
| Durchs. berechnet 1) | | | | |
| Total (O ₂ unver- | 15,6 | | 16,0 | 16,6 |
| + " (O ₂ → CO ₂) | 22,0 | | 7,0 | 31,0 |
| + " (O ₂ → CH ₄) (+ Hg durch KW) | 62,4 | | 77,0 | 50,4 |
| | | | | |
| Analysen | | | | |
| Analysen am An- | | | | |
| fang berechnet | | | | |
| Analysen am An- | | | | |
| fang berechnet | | | | |
| CO_2 | 0,90 | | 0,9 | 1,04 |
| CH_4 | 0,0 | | 0,0 | 0,0 |
| H_2 | 88,95 | | 89,7 | 90,30 |
| CO | 1,46 | | 0,67 | 1,90 |
| Braschung | 0,0 | | 0,0 | 0,12 |
| KW | 4,81 | | 5,70 | 3,55 |
| Hg | 3,48 | | 3,0 | 3,21 |

1) basieren auf eingesetztes CO_2 2) $2\text{CO}_2 + \text{H}_2 = \text{CO} + \text{H}_2\text{O}$ 3) $2\text{CO}_2 + 4\text{H}_2 = \text{CH}_4 + 2\text{H}_2\text{O}$ 4) unter Bezugnahme des CO_2 -Umaettes zu CO und CH_4

5) In der Analyse waren 10% Luft enthalten. Die Werte, vor allem der Hg-Gehalt sind daher unsicher.

TITLE PAGE

9. Betrifft: Kohlenwasserstoff-Synthese in Gegenwart
von Eisenkatalysatoren. Schreiben der Ruhrchemie
vom 13.6.41.

Memorandum on hydrocarbons synthesis with iron
catalysts. June 13, 1941.

Frame Nos. 49 - 50

49

Hochdruckversuche
Lu 568

24. Juni 1941 Re/KI

A III 6

100.11.1941

Betrifft: Kohlenwasserstoff-Synthese in Gegenwart von
Eisenkatalysatoren. Schreiben der Ruhrchemie
vom 13.6.41.

Im Laufe der Besprechungen vom 24. Oktober bis 30. November
1940 (Vgl. Bericht Meisenheimer-Peters) wurde einleitend von den
Herren der Ruhrchemie folgendes berichtet:

Eisenkatalysatoren sind zwar in ihrer Aktivität weitgehend
gesteigert worden, sie sind aber für die technische Durch-
führung der Kohlenwasserstoff-Synthese verlassen worden, weil
die Kobaltkatalysatoren noch wesentlich aktiver sind und weil
Eisenkatalysatoren einen größeren Kohlenstoff-Verbrauch haben.

Über die Zusammensetzung der Produkte bei der drucklosen
Synthese wurden für typische Eisenkatalysatoren im Vergleich
zu Kobalt folgende Zahlen genannt.

| | <u>Niessen</u> | <u>Kobalt</u> |
|--|-----------------------------|------------------------|
| Temperatur 0°W CO/N ₂ | 210 - 240 8 : 1 | 185 - 198 1 : 8 |
| Siedebeginn x - 100° - 200° - 250° | 85 85 80 95 | 85 89 62 89 |
| Produkt bei 200° Sp.G. Olefine Säure mg KOH/g | 0,665 42 0,1 | 0,693 35 < 0,005 |
| x CO ₂ /Nm ³ x CH ₄ /Nm ³ x Cl Prod./Nm ³ x CO ₂ /Nm ³ | 24 42 90 - 95 viel | 12 32 120 3 |

Diese Ausbeutezahlen sollen sich auf den großtechnischen Betrieb beziehen. Im Labor sollen sie größer sein.

Bei den Besichtigungen im Oberhausen-Kalten (an denen von den Hochdruckversuchen Dr. Hübner und Peters teilgenommen haben) wurden neben der Grossapparatur verschiedene halbtechnische Apparaturen gezeigt. Es wurde aber damals von Seiten der Ruhrchemie in keinem Falle besonders darauf hingewiesen, daß die betreffenden halbtechnischen Versuchöfen speziell für die Synthese in Gegenwart von Eisenkatalysatoren verwendet werden. Auch im Labor, sind keine speziellen Eisenkontaktversuche gezeigt worden.

(An der Besprechung, in Lu 10 am 28.10.1958 vorm., in der die oben angeführten Zahlen genannt wurden, haben von Hochdruckversuche teilgenommen: Dr. Pier, Hübner, Peters).

ges. Peters

TITLE PAGE

10. Oxo-Reaktion; kontinuierliche Versuche.
Oxo reactions; continuous experiments.
April 25, 1940.

Frames Nos. 51 - 52

Heckdruckversuche
DW/Lu 554.

25. April 1940/Pt.

51

Oxo-Reaktion; kontinuierliche Versuche.

Aldehyd Synthese

Zusammenfassung:

Mit Fischer-Katalysator trat bei Mittelöl aus CO + H₂

(Dr. Michael) bei 110° und 200 atm in massigem Umfang Aldehydbildung ein. ZnCr- und CuCr-Katalysator gaben bei 200 atm keine Aldehydbildung. Bei 600 atm trat mit CuCr-Katalysator bei 235-270° die Oxo-Reaktion wieder ein. Die Versuche wurden abgebrochen.

Versuchsergebnisse:

Kontinuierliche Versuche wurden in Ofen mit 170 cm Katalysator durchgeführt. Die Ofen waren mit Kupfer ausgekleidet, das CO-H₂-Gemisch (ca. 1 : 1) wurde vor dem Zusammentritt mit dem Öl über aktive Kohle zur Herausnahme von Fe-Carbonyl geleitet. Als Ausgangsmaterial wurde Mittelöl aus der CO-H₂-Synthese von Dr. Michael vom 15.3.40 von 700-330° und später die Fraktion 200-220 bzw. 220-240°¹⁾ verwendet. Das Öl besteht nach Angabe von Dr. Michael zu 80% aus Olefinen.

Es wurden folgende Katalysatoren verwendet:

- 1) Fischer-Kontakt (Kührchemie)
- 2) ZnCr (617)
- 3) CuCr (1341).

¹⁾ Diese Fraktion hatte spez. Gew. 0,806/15°, D.B. 173°, 3% - 190°, 4% - 200°, 18% - 220°, 40% - 230°, 67% - 240°, 85% - 245°, 90% - 250°, 94% - 260°, E.P. 270°/98%.

- 2 -

52

Es wurde Durchs. 0,5 kg/Ltr. und Stde. und 2000 ltr. Gas je kg Öl verwendet dabei folgende Ergebnisse erhalten. Die Untersuchung der Produkte wurde von Dr. Christmann durchgeführt.

1) Fischer-Kontakt.

Bei 110° und 200 atm Druck positive Aldehydreaktion, das spez. Gewicht stieg von 0,814 auf 0,824 an. Die Festigkeit des Kontaktes reichte nicht aus, er wurde in kurzer Zeit aus dem Ofen gespült.

2) ZnCr-Kontakt (617).

Bei Temperaturen von 110-340° keine Aldehydbildung, obwohl der Kontakt von 340° an bis 375° Methanol gab.

3) Cu-Cr-Kontakt (1341)

Bei 110-235° und 200 atm keine Aldehydbildung, positive Aldehydreaktion trat erst bei 235-270° und 600 atm CO + H₂ bei der Fraktion 220-240° auf (spez. Gew. 0,806 auf 0,820 angestiegen).

Gemeinsam mit

Dr. Göttinger

Dr. Konnenmoscher

Genz. Donath.

TITLE PAGE

II. Zur Selektivität der Butandehydrierung.
Concerning the selectivity of butane dehydrogenation. November 5, 1941.

Print No. 53 - 54

Schdruckversuch
Lu 950

5. November 1941 Bo/II

Butandehydrierung / Zur Selektivität der Butandehydrierung

53

Bemerkungen zu einer Notiz der Herren Dr. Fröhnerz und
v. Kuffling vom 31.10.1941 Nr. 19458 i mit Bemerkungen
zu Zusammensetzung von Dr. Donath vom 12.10.41 19368 i.

Das in obiger Notiz vom 3.10.41 beschriebene Verfahren zur
Bestimmung der mittleren Abweichung darf in dieser Weise nur dann
angewendet werden, wenn die einzelnen für die Mittelung ver-
wendeten Werte gleiches Gewicht haben. Das ist wohl allgemein
bekannt, das die in kontinuierlichen Versuchen in längeren wahren
Betriebsperioden erhaltenen Werte umso günstiger liegen, je
geringer die Schwankungen innerhalb dieser Betriebsperiode sind.
Bei neuen, noch in der Durchbildung der Apparatur begriffenen
Arbeitsweise wie z.B. auch bei der Butandehydrierung mit Staub-
kontakt sind diese Schwankungen, die durch Unregelmäßigkeiten im
Kontaktaufbau, Kontaktverteilung u.dgl. mehr bedingt sein können,
besonders groß. Es war daher berechtigt, schlecht liegende Ver-
suchswerte auszuscheiden und aus der Tatsache, daß (Vergl. Zu-
sammensetzung vom 12.10.1941) "die berechneten Werte für die
Selektivität bei festem Katalysator über den gefundenen, während
sie bei staubförmigem Kontakt zum Teil auch darunter liegen",
also nur bei Staubkontakt Wert für die Selektivität erhalten
wurden, die über den berechneten liegen, bei festem Kontakt da-
gegen nicht, die Schlussfolgerung zu ziehen, daß dies (Vergl.
Zusammensetzung vom 12.10.41) "für eine innere Überlegenheit
des feinverteilten Kontaktes" spricht.

Die gleiche Folgerung ergibt sich auch, wenn man nur
die Werte betrachtet, bei denen ein technisch interessanter
Umsatz d.h. über etwa 25% erzielt wurde. Die gefundene Selek-
tivität liegt dann bei Staubkontakt im Mittel nur um 0,7%, bei
festem Katalysator aber im Mittel 7% unter der berechneten.

177

- 2 -

Erwähnt sei hier nur nochmals, daß in der Zusammenstellung vom 31.10.41 Seite 1 in der letzten Zeile ein Fehler bei der Berechnung der mittleren Abweichung unterlaufen ist. Der letzte Addend muß nämlich 2,8 und nicht 1,8 heißen; dadurch erhöht sich die mittlere Abweichung bei festem Katalysator von 5,6 auf 6,0 und die auf Seite 2, Zeile 8 - 11 in Klammern angegebene Folgerung wird hinfällig.

Für die jetzt in der Durchführung begrifflichen Versuche zur Butandehydrierung wäre es sehr förderlich, wenn die theoretischen Unterlagen der Zusammenstellung des Unterseitenhefts vom 12.10.41 genauer geprüft würden, damit der eigentliche Zweck dieser Zusammenstellung, nämlich die Kontrolle der Versuche zur Butandehydrierung mit Staubkontakt, noch exakter erfüllt werden könnte.

Ges. Donath

DATA PAGE

12. Butandehydrierung mit Gasumwälzung.
Butane dehydrogenation with gas recirculation.
October 19, 1941.

Frame No. 68 - 61

ButandehydrierungButandehydrierung mit Gasumwälzung.Zusammenfassung.

Vorversuche haben gezeigt, daß die Butandehydrierung mit Gaskreislauf (nur Bevölkerung der Reaktionswärme) möglich ist. Zur genauen Festlegung von Umsatz und Selektivität wird eine 1 Ltr.-Apparatur mit heißem Kreislauf gebaut. Die Berechnungen hierfür auf Grund der Leistung des verwendeten Gefäßes und Modellversuche über den Widerstand von Kontaktsschichten werden durchgeführt.

Auf Grund hiervon wird gezeigt, daß ein derartiges Verfahren mit den heutigen technischen Mitteln technisch durchführbar sein muß, wobei die Hintereinanderschaltung von mehreren (4) Kontaktgefäßen zweckmäßig sein dürfte.

Die der Berechnung über den Druckabfall in Kontaktsschichten zu Grunde liegenden Modellversuche bedürfen noch der Nachprüfung im größeren Maßstab.

Vorversuche in einem 100 cm-Ofen mit Umpumpen von ca. 1 cbm/St. mit Hilfe von Kolbenpumpen ergaben etwas niedrigere Umsatz und Selektivität als ohne Umpumpen wie folgende Tabelle zeigt:

| | | |
|---------------------|------|----|
| (601 v. 2./3.10.41) | | |
| Kontakt | 8417 | |
| Temperatur °C | 550 | |
| Ltr. Butan/Stde | 25 | |
| Ltr. umgepumpt/Stde | 10.0 | 0 |
| % Butan-Umsatz | 30,5 | 29 |
| % Selektivität | 73 | 63 |

Da bei diesen Versuchen infolge zu großen Widerständes der Apparatur beim Umpumpen höhere Druck notwendig ist, außerdem die Wasserstoffbilanz nicht zum Stimmen gebracht werden konnte, sollen Versuche mit Umpumpung des heißen Gases durchgeführt werden. Hierfür steht eine für 600 atm Druck gebaute Apparatur mit eingegebautem Motor und Kreislauf zur Verfügung, die entsprechend ausgebaut wird.

Das dort eingegebaut Gefäß hat nach Messungen der Betriebskontrolle mit Luft die in Abb. 1 wiedergegebene Leistung und Charakteristik. Um die Form und Größe des Kontaktrohres richtig bemessen zu können, wurden mit Kontaktteilchen verschiedener Form und Größe in einem Rohr von 6 cm Ø und 50 cm Kontaktsschichtlänge in Abb. 2 wiedergegebene Widerstandsmessungen ebenfalls mit Luft durchgeführt 1).

Für das gewählte Kontaktrohr von 150 mm Ø und 60 cm Länge (~ 1 Ltr. Kontakt) ergibt sich bei 10 cbm Gesdurchm. und 2/4 bzw. 3/4 cm Kontaktkörnung eine Druckdifferenz von 8 bzw. 5 atm Wassersäule. Selbst bei einer gewissen Staubbildung und Steigerung des Widerstandes während des Betriebes dürfte damit eine ausreichende Strömung gesichert sein.

Für die Anwendung des Verfahrens im großen ergeben sich die folgenden Werte. Bei einer Wärmetechnung von 500 W/kg entstandenen Butylens ergibt sich bei 40 % Butanumsatz eine Wärmetechnung von $500 \cdot 0,4 = 200$ W/kg bzw. ~ 500 W/cbm durchgesetzten Butans. Betrachtet man 30° Temperatur-Abfall im Kontaktbett als zulässig und nimmt man die spez. Wärme der Reaktionsprodukte mit 0,6 W/kg an, so müssen $\frac{200}{0,6 \cdot 30} = 28$ kg je cbm Umluft mit dem Butan umgepumpt werden. Setzt man ein daß das Volum sich bei 10 % Umsättigung auf das 1,4-fache erhöht, so sind je cbm eingesetztes Butan $\frac{28 \cdot 1,4}{0,6 \cdot 30} = 16$ cbm bei Zimmertemperatur bzw. bei 350° etwa 45 664? cbm umzupumpen.

1) Es kann angenommen werden, daß die Änderung der Dichte des zu fördernden Oches sich der Widerstand der Kontaktsschicht im gleichen Maße und Sinne ändert wie der Förderdruck des Gefäßes.

tes Buten 28 · 1,4 = 16 cbm bei Zimmertemperatur bilden. Bei 550° etwa $45 \frac{cbm}{min}$ Gase umzu pumpen.

1) Es kann angenommen werden, daß die Änderung der Dichte des zu fördernden Gases sich der Widerstand der Kontaktsschicht im gleichen Maße und gleicher Art wie der Förderdruck des Gehäuses.

- 3 -

57

Bei einem Frischgasdurchsatz von (niedrig angenommen) 300 Ltr./Ltr. Katalysator, 40 % Umsatz und 90 % Selektivität leistet 1 Ltr. Kontakt bei 8 000 Betriebsstunden im Jahr 2 000 kg Butylen. Für 5 000 Jatos Butylen sind also 2,5 cbm Kontakt erforderlich. Das entspricht bei 750 cbm Butendurchsatz je Stunde 35 000 cbm/Stde Umwälzgas. Ordnet man 2,5 cbm Katalysator in 30 cm langer Schicht an, so entspricht dies einer Fläche Strömungsrichtung von $80\ 000\ cm^2$ (gleich einem Kreis von $3,2\ m\ Ø$) und einer Strömungsgeschwindigkeit der heißen Gase von $125\ cm/Bek.$ Bei Verwendung von 10/12 mm Kontaktkörnung ergibt sich extrapoliert ein Strömungswiderstand von 60 cm (-0,06 atm) Wassersäule.

Diese Leistung ist ohne weiteres mit einem Gehäuse, wie z.B. für die Heizgaszumisung in Spitzenvorheizern verwendet werden, hinsichtlich Temperatur und Gasmenge zu bewältigen. Die Druckdifferenz ist etwas höher als beim Vorheizer (~ 40 cm Wassersäule) dürfte sich aber, wie Besprechungen für den DHD-Vorheizer gezeigt haben, durch Verwendung von Achsen- gebüllsen auch bewältigen lassen. Schwieriger dürfte die gleichmäßige Verteilung der Gase auf den großen Querschnitt unter Vermeidung toter Räume durchführbar sein. Aus diesem Grunde dürfte die Anordnung von mehreren hintereinander angeordneten Kontaktrohren mit Zwischenauflösung und getrennter Uppumpung vorsuziehen sein.

Im folgenden wird die gleiche Apparatur mit 2,5 cbm Kontakt für 4 hintereinandergeschaltete Reaktionsgefäß durchgerechnet. Läßt man wieder in jedem Gefäß einen Temperatur-Abfall von 30° zu, so ist die Umwälzmengen $1/4$ der bei einem einzigen Reaktionsgefäß erforderlichen, also 9000 cbm/Stde je Teil-Kontakt-Gefäß von $2,5 = 0,63$ cbm Volum. Für verschiedene geformte Kontaktgefäß ergeben sich die in folgender Tabelle angegebenen Werte.

| Basisanwendung Kontaktvolumen | 9 000 cbm/Stde 630 Ltr. | | | |
|---|----------------------------|-------|-------|-------------|
| Höhe in der Kontaktsschicht | 40 | 50 | 75 | 15 |
| Querschnitt cm ² | 16000 | 20000 | 25000 | 40000 |
| Entsprechender Kreis- durchmesser cm | 140 | 160 | 180 | 225 |
| Fließungsgeschwindigkeit cm/Bek. | 170 | 125 | 105 | 65 |
| Widerstand (10/12 mm Kontakt) cm Wassersäule | 120 | 160 | 40 | 12 |
| (entsprechend bei 4/6 mm Körnung) | --- | --- | --- | (ca. 45 cm) |

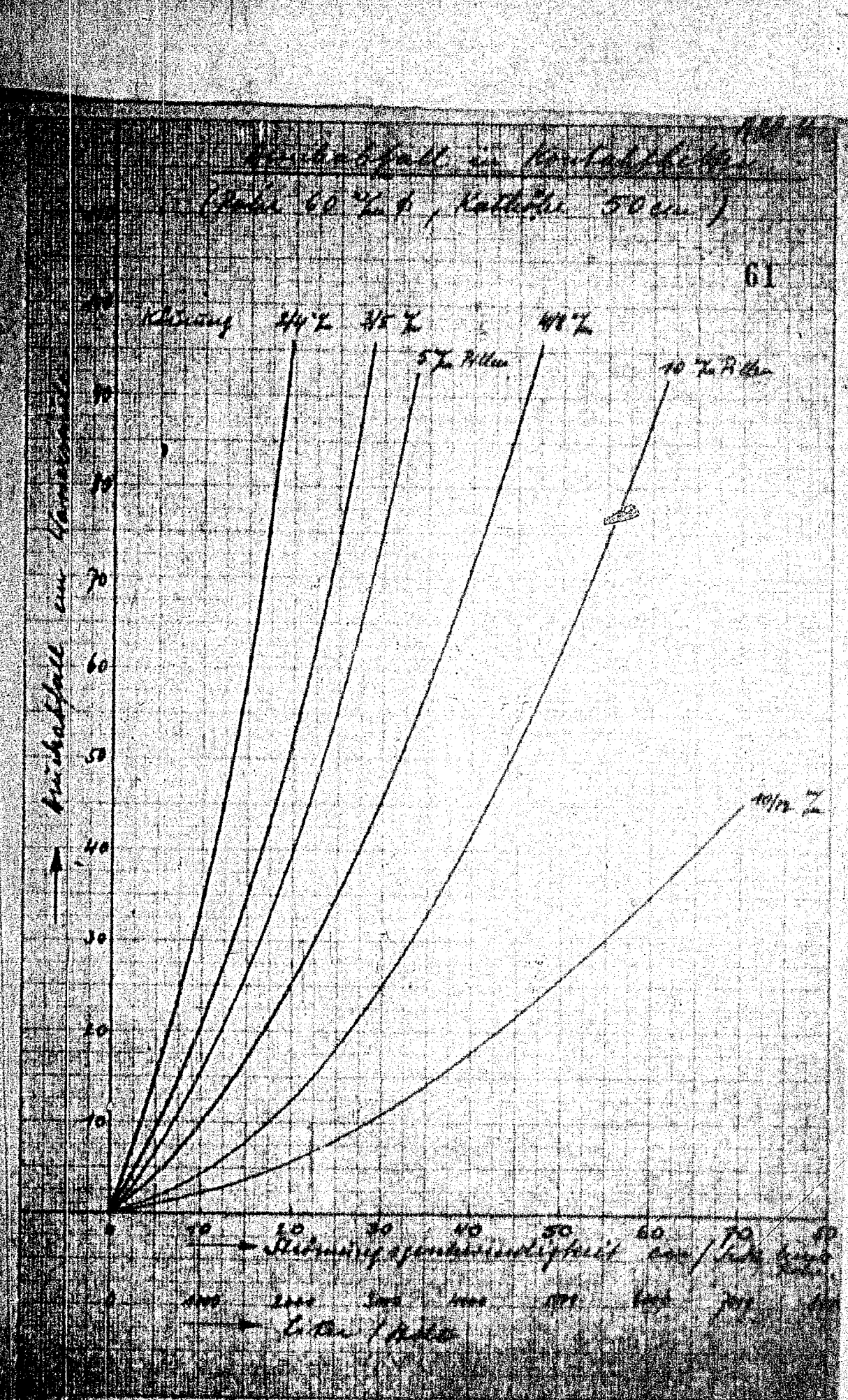
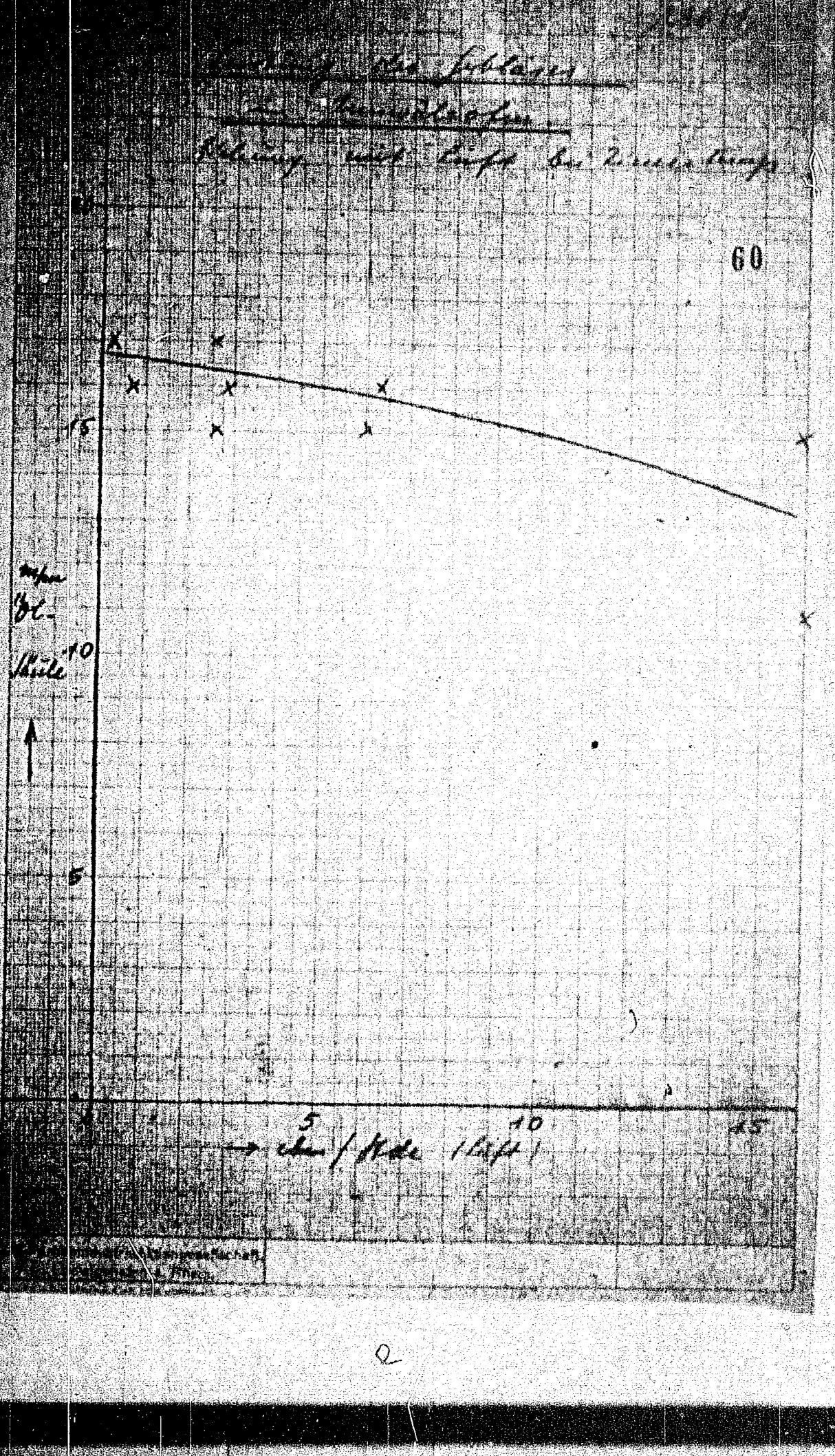
Die Ausführung einer derartigen Apparatur erscheint ohne besondere Schwierigkeiten mit den jetzigen technischen Mitteln möglich. Es müßten 4 mal jeweils ein Rohrbündelvorheizer, ein Kontakttrum und ein Umlageabluß hintereinander angeordnet werden. Die Anwendung von Febläden, die möglichst hohen Überdruck geben, wird aus Gründen der Gasverteilung günstig sein.

Es bleibt noch die Frage der Regeneration des Kontaktes und der Umstellung hierauf und auf Betrieb zu untersuchen. Voraus sei bemerkt, daß die Sauerstoffzufuhr unmittelbar vor dem Kontakt erfolgen kann (keine Versunderung von Vorheizer und Gebläse) und daß die sowieso vorhandenen Umlageabluße für die Regeneration ebenfalls mit Vorteil verwendet werden können.

Es wird ganz roh und überschlägig angenommen, daß 1 Gew.% Koks auf umgesetztes Butan entstehen, daß in 5 Stundencyklen gearbeitet wird und daß sich der Koks gleichmäßig über den ganzen Kontakt verteilt. Je Zyklus entstehen somit $750 \cdot 24 \cdot 0,01 \cdot 5 = 90$ kg und je Kontaktbett $90 = 22,5$ kg Koks. Je Bett und

Regeneration sind 22,5 % CO_2 der Luft erforderlich.
Um entstehen dabei $22,5 \cdot 6000 = 135\,000 \text{ m}^3$ zu haben, muss man die Regeneration und Umstellung in 1 Stunde bewältigen und nimmt für die Umstellung von Betrieb auf Regeneration und umgekehrt je 10 Minuten an, so bleiben 40 Minuten Breitzeit. In dieser Zeit werden $10 \cdot 9\,000 = 90\,000 \text{ cbm}$ umgewälzt, die bei einer spez. Wärme von $0,33 \text{ J/g}$ $^{\circ}\text{C}$ sich um $\frac{100\,000}{6000} \cdot 0,33 = 9000$ erwärmen.

Um 570°C die jetzige maximale DND-Regenerationstemperatur nicht zu überschreiten, müsste durch Kaltgas die Kontakt eingangstemperatur auf 480°C gesenkt werden. Diese Temperatur liegt weit über der Temperatur von 425°C , bei der DND-Koks schon mit großer Geschwindigkeit abbrannte. Die Brennzeit könnte also u.U. noch herabgesetzt werden. Die Gaskapazität reicht also in gleicher Weise für Betrieb und Regeneration aus. Zweckmäßig wäre noch die Anordnung eines besonderen Kaltgaskreislaufes zur endgültigen Aufnahme der Verbrennungswärme. Kühlte man mit Gas von 250°C (Abhitzekessel), so steht die Temperatur-Intervall von $480 - 250 = 230^{\circ}\text{C}$ entsprechend $230 \cdot 0,33 = 75 \text{ m}^3/\text{cbm}$ Kaltgas zur Verfügung. Zur Abfuhr der Verbrennungswärme von $90 - 80 = 10^{\circ}\text{C}$ wären dann nach $\frac{720\,000}{75} = 9\,600 \text{ cbm}$ Kaltgas für alle 4 Kontaktbetten erforderlich.



0 10 20 30 40 50 60 70 80
Höhe des Siedekopfes in /
mm Zoll / inches

TITLE PAGE

13. Zur Selektivität der Butandehydrierung.
Concerning the selectivity of butane
dehydrogenation. October 31, 1941.

Frame Nos. 62 - 64

Wetter: ~~Sehr~~ 31. 10. 1941. Ph/Pr

Butandehydrierung

Zur Selektivität der Butandehydrierung.

Bemerkungen zu dem Bericht der Hochdruck-Versuchs-Nr. 102601

-Selektivität der Butan-Dehydrierung" vom 12.10.41.

In dem im Titel erwähnten Bericht wird auf Grund von Literaturangaben über thermischen Zerfall von Paraffinen und Olefinen die Selektivität der Dehydrierung von Butan zu Buten für die nicht katalysierte thermische Reaktion für verschiedene Versuchsbedingungen (Variation der Temperatur und Verweilzeit) berechnet (vgl. letzte Kolonne der Tabelle 1'). Diese Werte wurden experimentelle Ergebnisse gegenübergestellt, die mit zwei verschiedenen Kontakttypen (fester und staubförmiger Kontakt) erhalten wurden (vorletzte Kolonne der Tabelle). Zur Verdeutlichung sei hier die Tabelle des oben genannten Berichtes wiedergegeben.

Aus dieser Gegenüberstellung wird im oben genannten Bericht folgender Schluß gezogen: „In einem liegen die berechneten Werte für die Selektivität bei festem Katalysator über den gefundenen, während sie bei staubförmigem Katalysator z. T. auch darunter liegen. Dies spricht (sofern es nicht Versuchsfehler sind) in dieser Richtung für eine Überlegenheit des feinverteilten Kontaktes, die weiter verfolgt wird.“

Wie eine Auswertung der Tabelle durch die übliche Mittelung von Maßwerten zeigt, ist diese Schlussweise jedoch unzulässig.

Summiert man nämlich für die beiden Versuchsreihen die Differenzen zwischen gefundenen und berechneten Werten und dividiert durch die Zahl der jeweiligen Einzelwerte, so erhält man bekanntlich die mittlere Abweichung der zwei Versuchsreihen von der berechneten Reihe (Ausmittelung der Fehlerstruktur). Diese mittlere Abweichung beträgt 1. für den Fall des festen Kontaktes

$$6,7 + 0,0 + 7,0 + 6,3 + 5,0 + 1,8 = 32,0 \approx 6 \approx + 5,3 \text{ (berechnet geändert)}$$

2. für den Fall des Staub-Kontaktes

a) Differenz der 1. Versuchswerte = rund 5 gesetzt

$$8 - 1 + 17 + 19 + 0,5 + 4,5 - 4 = 44 - 7 = 6,3 \text{ (berechnet gefunden)}$$

b) unter Weglassung des ersten nur unzicher auswertenden Versuchs

$$- 1 + 17 + 19 + 0,5 + 4,5 - 4 = 36,0 : 6 = 6,0 \text{ (berechnet gefunden).}$$

Diese Auswertung zeigt, daß die mittlere Abweichung der experimentellen von den berechneten (thermischen) Werten für die beiden Katalysatoren praktisch gleich ist. (Will man den Unterschied zwischen 5,6 und 6 als reell betrachten, so liegt dieser sogar in der entgegengesetzten Richtung, wie im vorliegenden Bericht gefolgt wird.)

Demnach kann aus diesen Versuchen eine unterschiedliche selektive Wirkung der beiden Katalysatoren nicht eines besseren selektiven Verhaltens des Staubkontaktees nicht gefolgt werden.

Der einzige Unterschied zwischen den beiden Versuchsserien liegt darin, daß bei der Versuchskette mit staubförmigem Kontakt die Streuungen offensichtlich erheblich größer sind als bei der Versuchskette mit festem Kontakt; hierdurch liegen einzelne Streuwerte sogar über den berechneten Werten, was aber durch ebenso große Streuungen nach der anderen Richtung im Mittel ausgeglichen wird. Es ist sehr irreführend, hieran auf einen besonderen Effekt bei Anwendung des staubförmigen Kontaktes zu schließen.

Tabelle I

64

| | Temp. °C | Versuch zeit sek. | Umsatz | Reaktivität | gefundene Werte |
|----------------------------------|----------|----------------------|--------|-------------|-----------------|
| Staubförmiger Kontakt | 600 | 1,0 | 1,7 | | |
| | 550 | 3 | 3,8 | 7,6 | 8,2 |
| | 550 | 3,6 | 14 | 7,1 | 8,3 |
| | 575 | 2,5 | 11,6 | 6,3 | 8,3 |
| | 530 | 4,3 | 11 | 3,7 | 4,0 |
| | 530 | 11 | 28 | 6 | 7,1 |
| | 550 | 11 | 41 | 10 | 11 |
| Fester Kontakt | 510 | 1,2 | 31,4 | 27 | 27 |
| | 550 | 2,5 | 45,2 | 42 | 45 |
| | 575 | 1,2 | 32,2 | 40 | 40 |
| | 575 | 1,2 | 25,9 | 30 | 30 |
| | 575 | 0,5 | 19,4 | 25 | 25 |
| | 550 | 1,2 | 28,0 | 32 | 32 |

TITLE PAGE

14. Selektivität der Butandehydrierung.
Selectivity of the butane dehydrogenation.

October 12, 1941.

Frame Nos. 66 - 70

14. Butandehydrierung

14. Butandehydrierung

14. Butandehydrierung

Selektivität der Butandehydrierung

65

Eine Arbeit in Oil and Gas Journal von E.O. Nelson (S. 132, 1939) „Reaktion Rates in Cracking“ enthält u.a. Angaben über die thermische Zerfallsgeschwindigkeit von Buten, Penten und Hexen. Nimmt man an, daß das Intervall Penten-Penten gleich dem Buten-Buten¹⁾ ist, so erhält man die in Abb. 1 aufgeführten Kurven für den Umsatz in Abhängigkeit von der Verweilzeit bei verschiedener Temperatur (500°, 550°, 593°)

Unter der weiteren Annahme, daß bei der katalytischen Dehydrierung von Buten die Butenspaltung rein thermisch ist (also vom Katalysator nicht beschleunigt und auch vom entstehenden Wasserstoff nicht gehemmt wird) erhält man die in Tab. 1 berechneten Werte für die Selektivität in Abhängigkeit von Temperatur, Druck und Verweilzeit. Diese Werte sind in Abb. 2 und 3 graphisch aufgetragen. Es ist ohne weiteres zu entnehmen, welche Temperaturen und Verweilzeiten eingeschlagen sind, um hohe Selektivität zu erreichen.

Die folgende Tabelle enthält experimentelle Zahlen und im Vergleich dazu die aus den Kurven berechneten Werte für die Selektivität.

1) Nach Egloff, Reactions of pure Hydrocarbons bei Buten stetiger, so daß etwas höhere Selektivität erreichter sein sollte als hier berechnet.

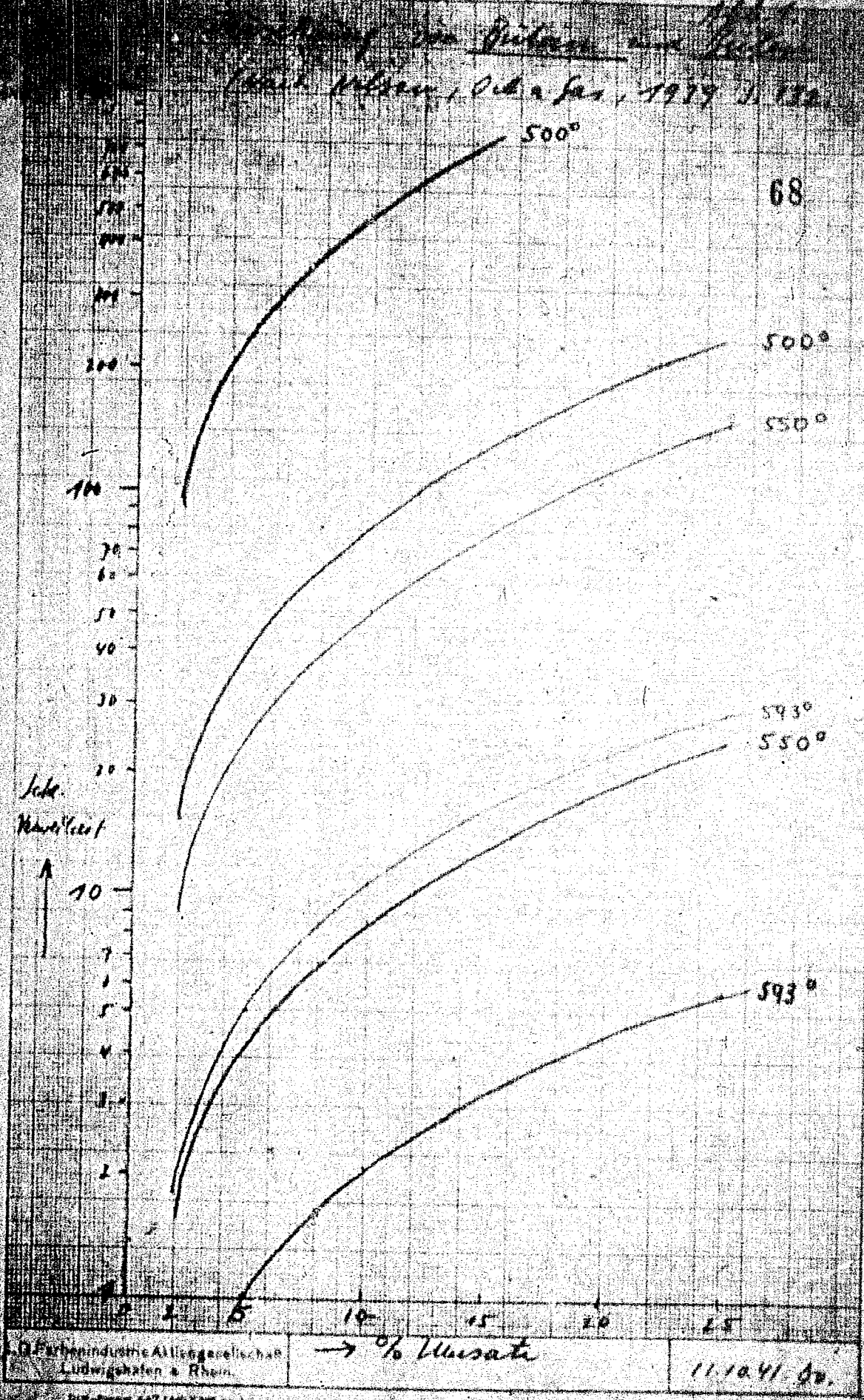
| Versuch: | Temp. °C | Verteil. heit sek. | % Umsatz | % Selektivität gefunden | % Selektivität berechnet |
|--|----------|--------------------------|-------------|----------------------------|-----------------------------|
| Braub. Kat. (610) | | | | | |
| 14.9.41 2130-2230 | 600° | 10 | 15,7 | 40 % | 30 % |
| 20 - 21 | 550° | 3 | 3,5 | 83 % | 82 % |
| 5-10.9.41 630-930 | 550° | 3,8 | 14 | 71 % | 63 % |
| 6.10. 1630-1730 | 575° | 2,5 | 10,6 | 64 % | 63 % |
| 8.10. 14-15 ^h | 530° | 4,2 | 11 | 91,5 % | 92 % |
| 16-17 ^h | 530° | 11 | 28 | 89,5 % | 90 % |
| 19-20 ^h | 550° | 11 | 41 | 87 % | 86 % |
| Zentner Kat. (303 I) (Ber. 13.9.41) | | | | | |
| 23.8. 13-15 ^h | 550° | 1,2 | 31,4 | 90,3 % | 97 % |
| 24.8. 10-12 ^h | 550° | 2,5 | 45,8 | 80,0 % | 95 % |
| 26.8. 5-7 ^h | 575° | 1,2 | 39,1 | 89 % | 95 % |
| 9-11 ^h | 575° | 1,2 | 29,9 | 86,5 % | 93 % |
| 26.8. 19-21 ^h | 575° | 0,5 | 19,5 | 91 % | 96 % |
| 2.9. 17-19 ^h | 550° | 1,2 | 18,0 | 91,2 % | 94 % |

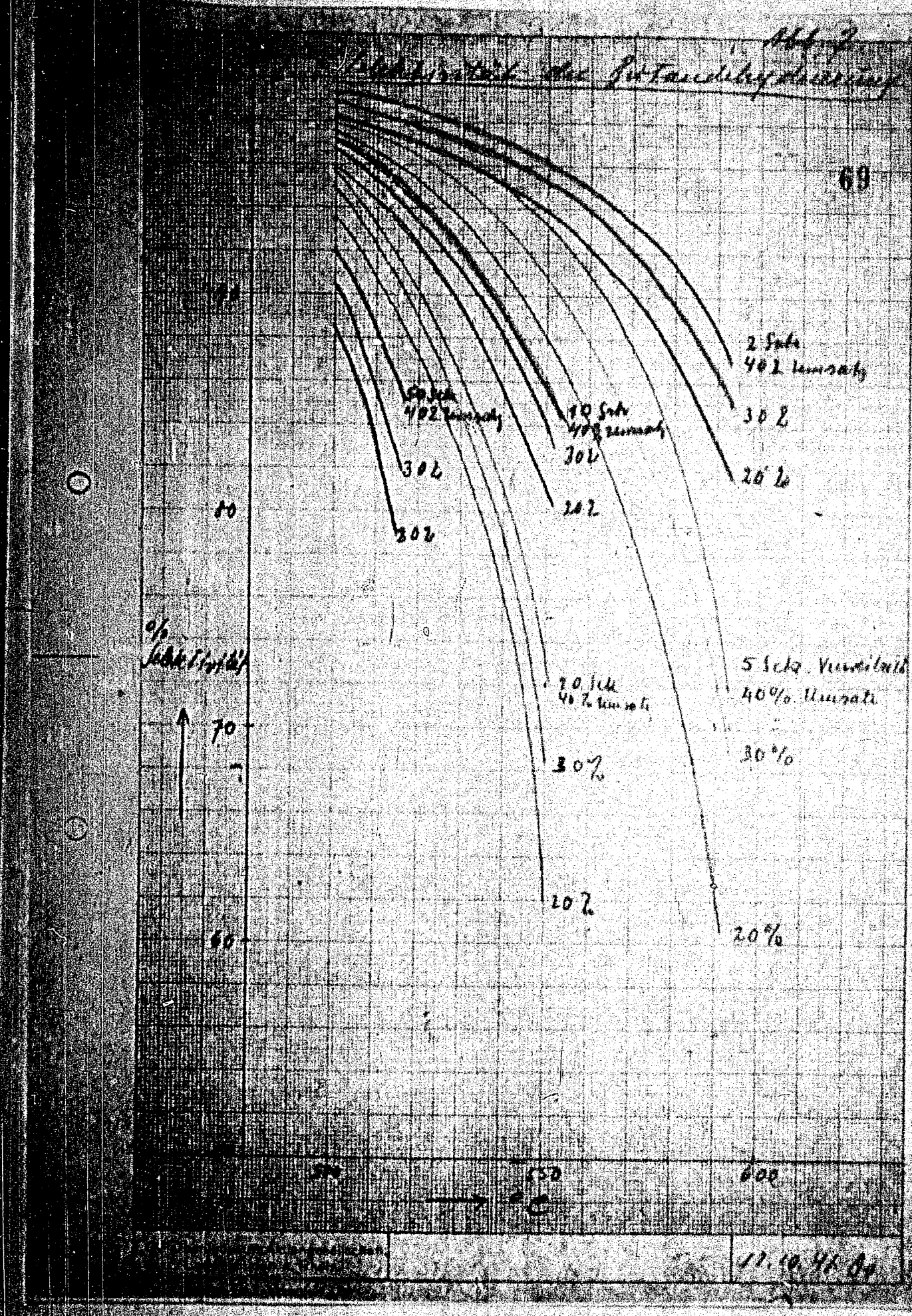
Die Übereinstimmung zwischen experimentell gefundener und berechneter Selektivität ist in großen Zügen in Anbetracht der unsicheren Rechnungsgrundlage überraschend gut. Im einzelnen liegen die berechneten Werte für die Selektivität bei feinen Katalysatoren über den gefundenen, während sie bei staubförmigen Katalysator unter den gefundenen liegen. Dies spricht (sofern es nicht Verlechtfehler sind) in dieser Richtung für eine innere Überlegenheit des feinverteilten Kontaktes, die weiter verfolgt wird.

Tabelle 1

Selektivität bei der Butandehydrierung.

| Verweilzeit Sek. | 2 | 5 | 10 | 20 | 50 |
|--------------------------|------|------|----|------|------|
| Selektivität in % | | | | | |
| bei 500°C und | | | | | |
| 20 % Umsatz | 98,5 | 97,5 | 96 | 93,5 | 88 |
| 30 % " | 99 | 98 | 97 | 93 | 90,5 |
| 40 % " | 99 | 98 | 97 | 96 | 92 |
| bei 550°C und | | | | | |
| 10 % Umsatz | 89 | 80 | 71 | 42 | |
| 20 % " | 94 | 88 | 81 | 62 | 10 |
| 30 % " | 96 | 90,5 | 84 | 68,5 | 27 |
| 40 % " | 96 | 92 | 86 | 72 | 35 |
| bei 593°C und | | | | | |
| 20 % Umsatz | 82 | 47 | 13 | | |
| 30 % " | 85 | 69 | 30 | | |
| 40 % " | 87 | 70 | 38 | | |





100% 90% 80% 70% 60% 50% 40% 30% 20% 10%

Photo Enlargement
Photo Reduction

TITLE PAGE

18. Dehydrierung von n-Butan.
Dehydrogenation of n-butane. Oct. 3, 1941.

Frame Nos. 71 - 72

17
Hochdruckversuche
Lu 6/8

3. Oktober 1941 71

A III 3

Butandehydrierung

Dehydrierung von n-Butan

Folgende Tabelle enthält Werte die in Kleinversuchen Lu 495 mit Staub-Katalysator erzielt wurden neben Werten mit festem Katalysator (Ammonolabor und Tippversuche Lu 495) stehen überein, Werte von Me bei etwas anderen Bedingungen) und Werten vom

| Kontakt | Staubförmiger Kontakt | Fester Kat. Kleinversuche Lu-Op. | Me Labor fester Kat. | Me-Schleier Kontakt (1 Rohr d. techn. Ofene) |
|---|-----------------------|----------------------------------|----------------------|--|
| Temperatur °C | 600° | 650° Tanzender Kontakt | 550° | 530° |
| Butan Umsatz je Durchgang | 11-16% | 3,5 | 36-40 | 26-33 |
| Gew. % C ₃ H ₆ auf umgesetztes C ₄ H ₁₀ | 40-46 | 81 | 90 | 91 |
| Gew. % Olefine auf umgesetztes C ₄ H ₁₀ | 69-76 | 83 | - | - |

Schlensenofen Me Angaben aus Besprechung Me 29./30.1.1941)

Die Werte mit Staubkontakt liegen noch weit unter denen mit Stückkontakt, da die Kontaktkonzentration bei den bisherigen Versuchen zu klein war (Größenordnung 1 g je 1 Ofenvolum gegen 700 g je ltr. Ofenvolum). Die Anwendung von tanzenden Katalysatoren und von Kontaktumpumpen wird versucht, um eine Erhöhung des Umsatzes zu erzielen. Eine weitere Verbesserung dürfte eintreten, wenn bei weiteren mechanischen Verbesserungen "eine wirksamere Ausschaltung des kontaktabschädigenden Dampfes möglich sein wird.

Die Werte im Schlensenofen (1 Rohr des technischen Ofene Me) liegen wegen des weniger aktiven Katalysators im Um-

7.9.308

- 2 -

rate um ca. 50% in der Selektivität um ca. 15% unter den im Labor erzielten Werten.

Für die Versuche in Lu wurde Oppauer Kontakt verwandt. Bemerkte sei, daß die angegebenen Werte für n-Butan gelten und bei i-Butan höhere Umsätze erzielbar sind.

ges. Donath

TITLE PAGE

16. Drucklose n-Butandehydrierung mit Oppauer
Kontakt.
Dehydrogenation of n-butane with Oppau
catalyst at normal pressure.
September 13, 1941.

Frame Nos. 73 - 77

(16) Hochdruckversuche
Lu 550

15 Sept. 1941 Rts/KI

73

Drucklose n-Butandehydrierung mit Oppauer Kontakt

Butandehydrierung Zusammenfassung

In drucklosen Versuchen zur Dehydrierung von Normalbutan über fest angeordnetem Kontakt (von Dr. Conrad, Oppau) im 100-cm-Ofen in 6-stündigen Zyklen werden folgende Zahlen erhalten: Bei 550 - 570° und Durchsätzen von 500 bis 2500 Lt/Li Kontakt und Stunde Umsätze zwischen 18 und 45% bei einer Selektivität der Butylenbildung zwischen 80,5 und 91,2% und einer Koksbildung von etwa 1% bezogen auf durchgesetztes Butan. Zur Erzielung eines hohen prozentualen Umsatzes bei gleichzeitiger guter Selektivität ist niedrigere Temperatur und kleinerer Durchsatz günstiger. Die Selektivität steigt mit dem Durchsatz, wobei aber der prozentuale Umsatz stark zurückgeht, sodass die Butylenbildung pro Zeiteinheit etwa konstant bleibt.

Durchführung der Versuche

Als Vergleichsversuche für die drucklose n-Butandehydrierung mit staubförmigen Kontakt, die zur Zeit in einer kleinen Versuchseinheit in Angriff genommen wird, wurden einige Versuche zur Butandehydrierung über fest angeordneten Kontakt ebenfalls drucklos im 100-cm-Ofen durchgeführt. Als Kontakt wurde der Oppauer Tonerde-Sichromatkontakt verwendet. Die Gasmengen wurden zwischen 50 und 250 Lt (500 - 2500 Vol. Gas pro Vol.-Kontakt und Stunde) variiert, die Temperaturen zwischen 550 und 570°. Nach 6-stündiger Fahrperiode wurde der Kontakt

- 8 -

19215

im Ofen regeneriert. Aus einer Druckflasche entnommene 100%ige Normalbutan wurde vor dem Ofen in einem Dallp-Turm vortrocknet. Die angehängte Tabelle enthält die Ergebnisse der Gasanalysen, die meist über 2 Stunden angeholt wurden. Zu jeder Analyse ist die mittlere Laufzeit des Versuches seit der Regeneration angegeben. Aus den Analysen wurden der Umsatz und die Selektivität in Gewichts-% berechnet in Abhängigkeit einmal von der Temperatur und einmal vom Gaudurchmesser graphisch aufgetragen. Unter Umsatz ist dabei verstanden: Summe der anfallenden gasförmigen Produkte ohne Butan (C_1 bis C_4 -KW-Stoffe, Butylen, Wasserstoff) durch Summe einschließlich nicht umgesetztes Butan; unter Selektivität: anfallende Butylenmenge durch Butylen + $H_2 + C_1$ bis C_4 -KW-Stoffe. Die auf dem Kontakt gebildete Koksmenge wurde während der Regeneration bestimmt und in Gewichts-% den durchgesetzten Butan angegeben.

Ergebnis der Versuche.

Es wurden Umsätze zwischen 18 und 40% bei Selektivitäten zwischen 86,5 und 91,3 % gefunden. (Bei einem einmal gefundenen Wert der Selektivität von nur 76,7 % schaftet es sich um eine analytische Fehlbestimmung zu handeln.) Von dem Versuch vor der ersten Regeneration abgesehen, bewegten sich die gefundenen Koks mengen zwischen 0,6 und 1,3 % mit einer herabfallenden Bestimmung von 3,9%. Der frische Kontakt gibt vor der ersten Regeneration einen etwas geringeren Umsatz, etwas schlechtere Selektivität und außerordentlich viel Koks (7,9%). Nach der ersten Regeneration soll der Kontakt besonders aktiv zu sein, während die Aktivität nach der zweiten und noch späteren Regeneration sehr gut reproduzierbar war. Um die mögliche Schädigung des Kontaktes durch Eisen festzustellen, wurde zu Beginn des vorletzten Versuches ein Teilstrom des Butans 1 Stunde lang über einen bei 0° gehaltenen Rüttiger mit Eisencarbonat geschickt. Während des anschließenden Versuches keine Schädigung des Kontaktes festzustellen, wohl aber in einem weiteren Versuch nach Regeneration. Metallisches Eisen scheint danach nicht so giftig zu sein, wohl aber Eisenoxyd. Der Kontaktausbauleiste eines gleichmäßigen Überzug von Eisenoxyd auf den Kontaktkörnern.

Kontakteinklassen. Während der 6-stündigen Versuche war ein Absinken des Umsatzes bei gleichzeitiger Zerlangung der Selektivität zu beobachten, z.B. sank der Umsatz von der 1. bis zur 6. Stunde von 32 auf 30%, die Selektivität von 88 auf 86,5% und in einem Versuch mit geringerer Umsatz dieser von 19,5 auf 17,5%, die Selektivität dabei von 90,7 auf 90,0%.

Abhängigkeit von der Temperatur: Der Umsatz steigt mit der Temperatur an und zwar bei einem Durchsatz von 1000 l/tStd. und Std. von im Mittel einer 6-stündigen Fahrperiode für bei 580° auf etwa 35% bei 670°. Gleichzeitig sinkt die Selektivität von etwa 90,0 auf etwa 88%.

Abhängigkeit vom Durchsatz: Der prozentuale Umsatz geht bei einer Steigerung des Durchsatzes in dem Maße zurück, daß die anfallende Butylenmenge nur sehr wenig ansteigt. Gleichzeitig steigt aber die Selektivität mit dem Durchsatz d.h. mit abnehmender Verweilzeit des Gases im Reaktor an Butylen und eine möglichst rasch aus der heißen Zone entfernt werden, damit es nicht in Sekundärreaktionen weiter zerfällt.

Über die Abhängigkeit der Röhrleistung von Temperatur und Durchsatz lassen sich auf den streuenden Daten keine eindeutigen Schlüsse ziehen.

Aus obigen folgt, daß man zur Erzielung eines hohen Umsatzes bei guter Selektivität eine möglichst niedrige Temperatur bei kleinem Durchsatz wählen, also eine geringe Leistung der Kontaktseinheit in Kauf nehmen soll. Ist dagegen eine niedrige Butylenkonzentration im anfallenden Gasgemisch zulässig, so kann man bei höherer Temperatur und höherem Durchsatz bei ebenfalls guter Selektivität eine hohe Leistung erzielen.

Die hier gefundenen Zahlen sind etwas günstiger als früher von Leuna angegebene (vgl. Bericht Dr. Frey v. Leuna), wobei die Selektivitäten etwa gleich, die Umsätze aber etwas niedriger waren.

Ver. Reitz

Gemeinsam mit

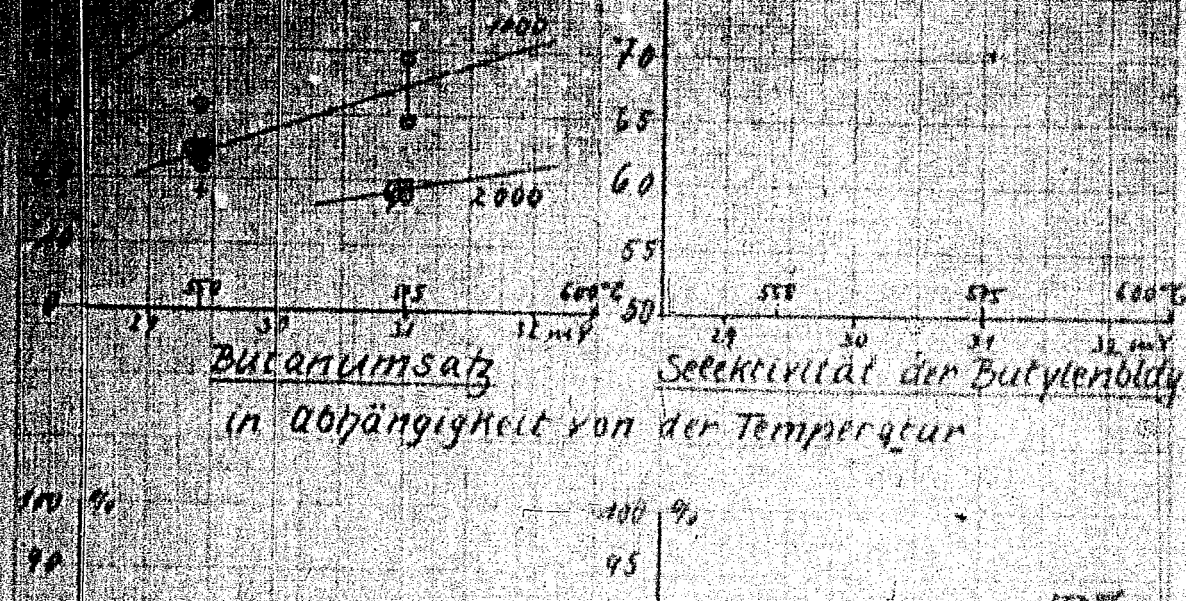
Dr. Donath
Dr. Nonnenmacher
Dr. Meier

Tabelle 1
Breakloss-Betriebshydratierung mit Kontaktzeit 8417 (200cc - T22)

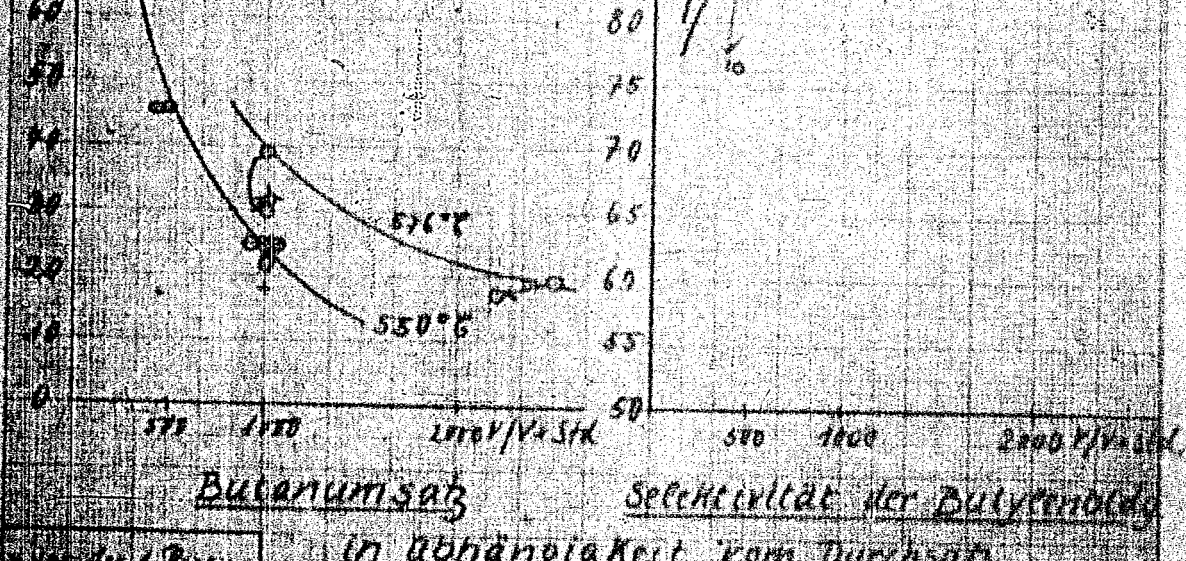
| Datum 1941 (Orem 2031) | 22.8. | - | 23.8. | 24.8. | - | 26.8. | 26.8. | 28.8. | 30.8. | 1.9. | 2.9. |
|--|-------|-------|-------|-------|------|-------|-------|-------|-------|-------|-------|
| Z | 14,- | 15,- | 13,- | 10,- | 14,- | 5,- | 9,- | 2,- | 2,- | 1,- | 1,- |
| Temperatur °C | 15,- | 16,- | 15,- | 12,- | 16,- | 15,- | 15,- | 21,- | 21,- | 21,- | 21,- |
| Borobearm Ltr.Gas/Ltr. | - | - | - | - | - | 32 | - | - | - | 29,4 | - |
| Kontaktpériode (Zahl d. Regenerationen) | 550 | - | - | - | - | 576 | - | - | - | 550 | - |
| Mittlere Laufzeit Regeneration Stdn. | 2000 | - | - | 500 | 450 | 1000 | - | 2500 | 2200 | 2000 | - |
| Voll.-% C1-C11-äther | 0 | - | 1 | 2 | - | 3 | - | 4 | 5 | 6 | 7 |
| C1 | 42 | 112 | 3 | 2 | 5 | 1 | 5 | 3 | 3 | 4 | 3 |
| C2 | 2,8 | 2,8 | 1,25 | 2,45 | 2,3 | 2,1 | 2,0 | 0,2 | 0,3 | 0,3 | 0,3 |
| C3 | 2,0 | 2,0 | 1,9 | 1,9 | 1,25 | 1,45 | 1,25 | 2,3 | 1,5 | 1,4 | 1,7 |
| Butan | 58,5 | 56,6 | 51,5 | 57,2 | 36,9 | 42,5 | 52,5 | 57,9 | 69,5 | 59,8 | 58,5 |
| Äthylén | 26,0 | 18,0 | 22,0 | 27,9 | 24,4 | 24,9 | 20,0 | 25,4 | 23,8 | 18,6 | 18,25 |
| E2 | 17,9% | 17,9% | 22,1 | 28,5 | 27,3 | 26,1 | 22,8% | 24,4% | 24,5 | 17,8% | 17,7 |
| Ges.-% Butanäthyläts | 23,0 | 32,4 | 45,2 | 45,4 | 39,2 | 29,9 | 19,4% | 17,6 | 24,8 | 21,8 | 12,0 |
| n-Butyläls | 20,3 | 22,4 | 28,3 | 39,7 | 34,9 | 34,4 | 25,9 | 27,6% | 22,6 | 19,7 | 16,4 |
| Butylestern | 88,5 | 89,5 | 90,3 | 88,0 | 86,5 | 86,5 | 86,5 | 86,7 | 90,0 | 92,0 | 91,0 |
| Total | 7,9 | 1,0 | 1,8 | 1,8 | 0,58 | 1,0 | 1,0 | 3,2 | 0,75 | - | 0,5 |
| Summe | 100 | 100 | 100 | 100 | 100 | 100 | 100 | 100 | 100 | 100 | 100 |
| Sinn | | | | | | | | | | | |
| 1.747- | | | | | | | | | | | |
| 40 | | | | | | | | | | | |
| Regen- | | | | | | | | | | | |
| zahlen | | | | | | | | | | | |

Durchfluss 60

zu Br-
Sinn
1.747-
40
Regen-
zahlen



Butanumsatz Selektivität der Butylenglycidyl
in Abhängigkeit von der Temperatur



Butanumsatz Selektivität der Butylenglycidyl

| | |
|---------------------------------------|--|
| <u>Butan umsetzen</u> | <u>in Abhängigkeit vom Durchsatz</u> |
| <u>zu 100% ausgetrieben</u> | |
| <u>ausgetrieben durch je</u> | <u>→ Anmerkungen von den S. 5 benachbarten</u> |
| <u>5 Prozessumwandlungen gesetzte</u> | |
| <u>Ludwigshafen a. Rhein.</u> | <u>Butandehydrierung Rtg</u> |

17. Derzeitiger Stand der Dehydrierung von Propen, n-Butan und 1-Butan.

Present status of the dehydrogenation of

propane n-butane and 1-butane.

July 28, 1939.

TITLE PAGE

17. Derzeitiger Stand der Dehydrierung von Propen, n-Butan und 1-Butan.

Present status of the dehydrogenation of

propane n-butane and 1-butane.

July 28, 1939.

Frame Nos. 78 - 84.

29. Juli 1939 Fr/Po

HOCHDRUCKVERSUCHE
Lu 558

110
141
KTF

Butylen.

Derzeitiger Stand der Dehydrierung von Propan,
n-Butan und i-Butan

In beiliegender Tabelle sind die aus dem I.G. Erfahrungsaustausch und die aus einer Arbeit von Burgen, Gross und Roberts bekannten Zahlen über katalytische Dehydrierung den Angaben über ein Kellogg- und ein U.O.P.-Angebot für die I.G.I (Aktennotiz Dr. Ringer vom 8. 6. 39) gegenübergestellt. In den Abbildungen 1 bis 3 ist für diese Ergebnisse die Auswirkung der Selektivität von Durchsatz, Umsatz und Leistung graphisch dargestellt.

Das U.O.P.-Angebot übertrifft sämtliche bisher bekannten Angaben hinsichtlich der Leistung (kg Olefine/Ltr. Katalysator/Stunde) ganz beträchtlich, was auf den sehr hohen Durchsatz von Butan je Ltr. Katalysator und Stunde und die für den hohen Durchsatz angegebene außerordentlich hohe Selektivität zurückzuführen ist. Das Kellogg-Angebot liegt diesbezüglich innerhalb der Grenzen, die durch die besten bisher bekannt gewordenen Versuchsergebnisse der Standard Oil Company bzw. Phillips gezogen sind.

Die Selektivität der Dehydrierreaktion lässt zu Abhängigkeit sowohl vom Umsatz, als vom Durchsatz ab. Die Entwicklung noch selektiver wirkender Katalysatoren erlaubt nach den vorliegenden Berichten durchaus möglich.

148791

In Besonderen deutet die in verhältnismäßig kurzer Zeit erzielte Verbesserung der Katalysatoren, die aus dem Erfahrungsaustausch zu entnehmen ist, darauf hin, daß die Entwicklung auf diesem Gebiet weiterhin unverhinderbar ist. Die Möglichkeit, daß die UOP den von Ihnen angeboten erreichlichen Vorsprung tatsächlich hat, kann ausser vom Herd zu wissen.

Die höheren Zahlen der UOP gegenüber Kellner beruhen im Übrigen zu 5% auf höheren Dickezahl, zu 35% auf höherem Umsatz und zu nur 6% auf geringerer Selektivität.

Auch hinsichtlich des Abklingens wirken sich die Katalysatoren noch wesentlich verdeckter aus. Da die Selektivität bei abgekühlten Katalysatoren durchaus wohlhabend genauer ist, als bei frischen oder frisch regenerierten wird auch bei der Butandehydrierung das Produkt mit einem beladen oder besser mit bewegten Katalysator bei gestaffelter Temperatur die technisch richtige Lösung sein.

Das vorliegende Verkaufsmaterial ist noch lückenhaft. Insbesondere fehlen systematische Versuchsberichte zu Stahl und relativ hoher Umsatz.

Der Deutrierer ist derjenige, der bei einer gegebenenfalls unter Druck einer Verdunstung über dem Bereich des Katalysator-Aktivierungslagers keine Verluste von Wasser hat das Material über Katalysatoren, die von Tonerde-Chemie-Typus abweichen, sehr gutt. Die Auswirkung katalysatorischer Effekte ist hierbei

auch für die Dehydrierung von Butanit durch Cr, V usw. wegfällig zu verbessern sein.

Für deutsche Verhältnisse sind die geschätzten
so Apparaturen handelt. Vermischung und Erhitzung mit
Ofenleistungen nicht so ausreichend wie in Amerika.
Man wird bei uns versuchen müssen mit Selektivitätsreaktoren
Umsetz. gegebenenfalls auf Anfangsleistung 10 Minuten
Katalysator und Stunde, möglichst mit der trocken. Es ist eine
Reaktionstemperatur zu drücken. Durch Zirkulationsreaktoren.
Endgas bei geringen Verlusten durch Rauchabzug und C_3H_8
Vergasung zu erhalten.

Auch wenn man das Alkylierungsverfahren mit Schwefelsäure für die C_3H_8 -Verarbeitung in Betracht stellt, verliert man die Dehydrierung nicht an Bedeutung. Besonders bei der Verarbeitung von Hy-Abgasen auf Riegelalbenzine wird die Isobutylens-Dehydrierung nach dem augenblicklichen Stand der Technik nicht zu umgehen sein. Bei der kombinierten Dehydrierung des Isobutans + Alkylierung des Isobutylen mit Normalkunststoffe hätte man gegenüber der Kombination Dehydrierung des C_4H_{10} , Polymerisation zu Iso-Octen und Hydrierung zu Isopentan den Vorteil, nur halb so viel Butan dehydriert zu bilden.

Ges. Peters